## مجلة جامعة حمص

سلسلة العلوم الأساسية



## مجلة علمية محكمة دورية

المجلد 47. العدد 12

1447 هـ - 2025 م

# الأستاذ الدكتور طارق حسام الدين رئيس جامعة حمص المدير المسؤول عن المجلة

رئيس تحرير مجلة جامعة حمص	أ. د. وليد حمادة
للعلوم الإنسانية	
رئيس تحرير مجلة جامعة حمص	د نعيمة عجيب
للعلوم الطبية والهندسية	
والأساسية والتطبيقية	

عضو هيئة التحرير	د.محمد فراس رمضان
عضو هيئة التحرير	د. مضر سعود
عضو هيئة التحرير	د. ممدوح عبارة
عضو هيئة التحرير	د. موفق تلاو <i>ي</i>
عضو هيئة التحرير	د. طلال رزوق
عضو هيئة التحرير	د. أحمد الجاعور
عضو هيئة التحرير	د. الياس خلف
عضو هيئة التحرير	د. روعة الفقس
عضو هيئة التحرير	د. محمد الجاسم
عضو هيئة التحرير	د. خليل الحسن
عضو هيئة التحرير	د. هيثم حسن
عضو هيئة التحرير	د. أحمد حاج موسى

تهدف المجلة إلى نشر البحوث العلمية الأصيلة، ويمكن للراغبين في طلبها الاتصال بالعنوان التالي:

رئيس تحرير مجلة جامعة حمص

سورية . حمص . جامعة حمص . الإدارة المركزية . ص . ب (77)

++ 963 31 2138071 : هاتف / هاتف .

. موقع الإنترنت: www.homs-univ.edu.sy

journal.homs-univ.edu.sy : البريد الالكتروني

ISSN: 1022-467X

### شروط النشر في مجلة جامعة حمص

#### الأوراق المطلوية:

- 2 نسخة ورقية من البحث بدون اسم الباحث / الكلية / الجامعة) + CD / word من البحث منسق حسب شروط المجلة.
  - طابع بحث علمي + طابع نقابة معلمين.
  - اذا كان الباحث طالب دراسات عليا:

يجب إرفاق قرار تسجيل الدكتوراه / ماجستير + كتاب من الدكتور المشرف بموافقته على النشر في المجلة.

• اذا كان الباحث عضو هيئة تدريسية:

يجب إرفاق قرار المجلس المختص بإنجاز البحث أو قرار قسم بالموافقة على اعتماده حسب الحال.

• اذا كان الباحث عضو هيئة تدريسية من خارج جامعة البعث:

يجب إحضار كتاب من عمادة كليته تثبت أنه عضو بالهيئة التدريسية و على رأس عمله حتى تاريخه.

• اذا كان الباحث عضواً في الهيئة الفنية:

يجب إرفاق كتاب يحدد فيه مكان و زمان إجراء البحث ، وما يثبت صفته وأنه على رأس عمله.

- يتم ترتيب البحث على النحو الآتي بالنسبة لكليات (العلوم الطبية والهندسية والأساسية والتطبيقية):

عنوان البحث .. ملخص عربي و إنكليزي (كلمات مفتاحية في نهاية الملخصين).

- 1- مقدمة
- 2- هدف البحث
- 3- مواد وطرق البحث
- 4- النتائج ومناقشتها .
- 5- الاستتاجات والتوصيات.
  - 6- المراجع.

- يتم ترتيب البحث على النحو الآتي بالنسبة لكليات (الآداب الاقتصاد- التربية الحقوق السياحة التربية الموسيقية وجميع العلوم الإنسانية):
  - عنوان البحث .. ملخص عربي و إنكليزي (كلمات مفتاحية في نهاية الملخصين).
    - 1. مقدمة.
    - 2. مشكلة البحث وأهميته والجديد فيه.
      - 3. أهداف البحث و أسئلته.
      - 4. فرضيات البحث و حدوده.
    - 5. مصطلحات البحث و تعريفاته الإجرائية.
      - 6. الإطار النظري و الدراسات السابقة.
        - 7. منهج البحث و إجراءاته.
        - 8. عرض البحث و المناقشة والتحليل
          - 9. نتائج البحث.
          - 10. مقترحات البحث إن وجدت.
            - 11. قائمة المصادر والمراجع.
    - 7- يجب اعتماد الإعدادات الآتية أثناء طباعة البحث على الكمبيوتر:
      - أ- قياس الورق 17.5×25 B5.
  - ب- هوامش الصفحة: أعلى 2.54- أسفل 2.54 يمين 2.5- يسار 2.5 سم
    - ت- رأس الصفحة 1.6 / تذييل الصفحة 1.8
    - ث- نوع الخط وقياسه: العنوان . Monotype Koufi قياس 20
- ـ كتابة النص Simplified Arabic قياس 13 عادي ـ العناوين الفرعية Simplified Arabic قياس 13 عربض.
  - ج. يجب مراعاة أن يكون قياس الصور والجداول المدرجة في البحث لا يتعدى 12سم.
- 8- في حال عدم إجراء البحث وفقاً لما ورد أعلاه من إشارات فإن البحث سيهمل ولا يرد البحث البحث البحث البحث البحث إلى صاحبه.
- 9- تقديم أي بحث للنشر في المجلة يدل ضمناً على عدم نشره في أي مكان آخر، وفي حال قبول البحث للنشر في مجلة جامعة البعث يجب عدم نشره في أي مجلة أخرى.

10- الناشر غير مسؤول عن محتوى ما ينشر من مادة الموضوعات التي تنشر في المجلة 11- تكتب المراجع ضمن النص على الشكل التالي: [1] ثم رقم الصفحة ويفضل استخدام التهميش الإلكتروني المعمول به في نظام وورد WORD حيث يشير الرقم إلى رقم المرجع الوارد في قائمة المراجع.

#### تكتب جميع المراجع باللغة الانكليزية (الأحرف الرومانية) وفق التالى:

#### آ . إذا كان المرجع أجنبياً:

الكنية بالأحرف الكبيرة ـ الحرف الأول من الاسم تتبعه فاصلة ـ سنة النشر ـ وتتبعها معترضة ( - ) عنوان الكتاب ويوضع تحته خط وتتبعه نقطة ـ دار النشر وتتبعها فاصلة ـ الطبعة ( ثانية . ثالثة ) . بلد النشر وتتبعها فاصلة . عدد صفحات الكتاب وتتبعها نقطة .

#### وفيما يلى مثال على ذلك:

-MAVRODEANUS, R1986- Flame Spectroscopy. Willy, New York, 373p.

#### ب. إذا كان المرجع بحثاً منشوراً في مجلة باللغة الأجنبية:

\_\_ بعد الكنية والاسم وسنة النشر يضاف عنوان البحث وتتبعه فاصلة، اسم المجلد ويوضع تحته خط وتتبعه فاصلة \_\_ أرقام الصفحات الخاصة بالبحث ضمن المجلة.

#### مثال على ذلك:

BUSSE,E 1980 Organic Brain Diseases <u>Clinical Psychiatry News</u>, Vol.  $4.\ 20-60$ 

ج. إذا كان المرجع أو البحث منشوراً باللغة العربية فيجب تحويله إلى اللغة الإنكليزية و التقيد بالبنود (أ و ب) ويكتب في نهاية المراجع العربية: ( المراجع المراجع العربية)

## رسوم النشر في مجلة جامعة حمص

- 1. دفع رسم نشر (50000) ل.س أربعون ألف ليرة سورية عن كل بحث لكل باحث يريد نشره في مجلة جامعة البعث.
- 2. دفع رسم نشر (200000) ل.س مئة الف ليرة سورية عن كل بحث للباحثين من الجامعة الخاصة والافتراضية .
  - دفع رسم نشر (200) مئتا دولار أمريكي فقط للباحثين من خارج
     القطر العربي السوري .
- دفع مبلغ (15000) ل.س ستة آلاف ليرة سورية رسم موافقة على
   النشر من كافة الباحثين.

## المحتوي

الصفحة	اسم الباحث	اسم البحث
32-11	ايمان احمد حسين د. سامح العرجه	استقرار حل جملة معادلات تكاملية تفاضلية من مرتبة كسرية باستخدام تابع ليبانوف التربيعي
48-33	د. باسل حمدو العرنوس	أنصاف الزّمر على مجموعة الخماسيّات الفيتاغوريّة
90-49	أ.د. عدنان كودلأ	دراسة كيفية تحديد الخصائص الضوئية للمركبات الكيميائية كوانتياً: بعض مكونات مواد التجميل كأمثلة
112-91	د. فاطمة شلاف	تحسين النمذجة الخطية للبيانات الترتيبية والاسمية باستخدام خوارزمية مبتكرة
136-113	براءة حسان الخالد أ.د. برلنت مطيط	الحل العددي لمعادلة Fokker-Planck باستخدام طريقة العناصر الحدية (BEM)

166-137	نسرين الأسعد أ.د.محمد العلي أ.د.عبد الباسط الخطيب	دراسة استقرار المنظومات الديناميكية غير الخطية المتزاوجة ذات الطبولوجيا الثابتة
189-167	يارا الرمضان د. نهلة ابراهيم د.تغريد قدار	التوصيف الظاهري والوظيفي لمجموعات الخلايا اللمفاوية الرئيسة في طحال الخفاش آكل الفاكهة Rousettus واستجابتها للقاح داء الكلب الخامل

## استقرار حل جملة معادلات تكاملية تفاضلية من مرتبة كسرية باستخدام تابع ليبانوف التربيعي

د. سامح العرجه<sup>2</sup>

 $^{1}$ ايمان احمد حسين

#### ملخص

قدمنا من خلال هذا البحث طريقة فعالة لدراسة استقرار حل جملة معادلات تفاضلية من مرتبة كسرية وهي طريقة ليبانوف، حيث أنه في البداية ذكرنا مبرهنات و تعاريف أساسية في الاستقرار بالإضافة إلى تعاريف و مفاهيم أساسية في الاشتقاق الكسري، ثمّ تطرقنا إلى عرض متراجحات أساسية لدراسة استقرار حل جملة معادلات تفاضلية من مرتبة كسرية وهي تعتبر أداة مهمة في الدراسة، وانطلقنا في هذا البحث من دراسة استقرار جمل المعادلات التفاضلية الكسرية الخطية ثمّ انتقانا إلى دراسة استقرار جمل المعادلات التفاضلية وبعد ذلك قمنا بدراسة استقرار جمل المعادلات التفاضلية الكسرية موضحين المعايير اللازمة لكل دراسة على حدا، ومن ثمّ دعمنا هذه الدراسات بأمثلة توضيحية.

كلمات مفتاحية: التفاضل والتكامل الكسري، تابع ليبانوف التربيعي، الاستقرار، القيم الذاتية.

# Stability of A Class of Fractional-Order Systems Using Quadratic Lyapunov Functions

#### **Abstrat**

Through this research, we presented an effective method for studying the stability of solution of fractional differential systems, which is Lyapunov method.

Whereas at the beginning we mentioned theorems and basic definitions of stability in addition to definitions and basic concepts of fractional derivation, then we dealt with presenting basic inequalities to study the stability of solution of fractional differential systems, which is an important tool in the study. We started from studying the stability of linear fractional differential systems, then we moved on the studying the stability of nonlinear fractional differential systems. After that, we studied the stability of the fractional integro differential systems, explaining the necessary criteria for each study separately. Then we supported these studies with illustrative examples.

**Keywords:** fractional calculus, quadratic Lyapunov functions, stability, eigenvalues values

#### 1 -مقدمة:

إنّ حساب التفاضل والتكامل الكسري موضوع رياضي قديم يرجع تاريخه إلى القرن السابع عشر، وعلى الرغم من أنّ له تاريخاً طويلاً إلا أنه لم يتم استخدامه في الفيزياء والهندسة لسنوات عديدة، حيث أنه لمدة تزيد عن ثلاثة قرون تطورت نظرية حساب التفاضل والتكامل الكسري بشكل أساسي كمجال نظري للرياضيات فقط. وفي العقود القليلة الماضية أشار الكثير من الباحثين إلى أنّ العديد من مجالات الفيزياء[15] وهندسة التحكم [6] ومعالجة الإشارات [12] يمكن وصفها بدقة بالاعتماد على حساب التفاضل والتكامل الكسري.

المعادلات التفاضلية الكسرية والمعادلات التكاملية –التفاضلية الكسرية يتم استخدامها لنمذجة الكثير من المسائل العملية مثل الموجات الكهرومغناطيسية، اللزوجة، معادلات الانتشار وغير ذلك، تم إيلاء اهتمام كبير لدراسة حلول هذا النوع من المعادلات التفاضلية ومن ثمّ تمّ التطرق إلى دراسة كون هذه الحلول مستقرة أم غير مستقرة.

من خلال عدد كبير من الدراسات المخصصة للأنظمة الديناميكية الكسرية تمّ التوصل إلى أنّ كون هذه الأنظمة مستقرة على نطاق واسع يعد مؤشراً مهماً لأنظمة التحكم، وهناك عدة طرائق يتم اتباعها لدراسة استقرار الجمل التفاضلية الكسرية نذكر منها طريقة ليبانوف الثانية. في نظرية المعادلات التفاضلية الكسرية تعتبر توابع ليبانوف توابع عددية يمكن من استخدامها لإثبات استقرار حل معادلة تفاضلية.

تمّ تمديد طريقة ليبانوف المباشرة لدراسة استقرار الجمل التفاضلية الكسرية من قبل العالم Li [5]. إنّ طريقة ليبانوف الكسرية تعميم لفكرة أنّ شرط الاستقرار يوضع بالاعتماد على تابع ليبانوف

والمشتق الكسري لهذا التابع. إنّ قاعدة ليبنز غير صحيحة من أجل المشتقات من مراتب كسرية والمشتق الكسرية لتابع ليبانوف. مؤخراً تمّ إجراء بعض التعديلات على طريقة ليبانوف المباشرة من أجل الجمل التفاضلية الكسرية [1] حيثُ تمّ وضع صيغة تربيعية لتابع ليبانوف من أجل مسألة دراسة استقرار حل جملة معادلات كسرية وتمّ التوصل إلى نتائج لدراسة استقرار حل جمل المعادلات التفاضلية الكسرية مشابهة لنتائج دراسة استقرار حل جملة معادلات تفاضلية من مرتبة n = 10.

#### 2-أهمية البحث:

نظراً للدراسات المتزايدة في مجال استقرار حل جملة معادلات تفاضلية كسرية وجملة معادلات تكاملية -تفاضلية كسرية وللصعوبات البالغة التي تعترض الباحثين في تقدير كون حل الجمل المدروسة مستقراً أم لا نقدم من خلال هذا البحث طريقة عملية وفعالة للحصول على الاستقرار، كون تابع ليبانوف يوقر قالباً عملياً لمثل هذه الدراسات.

#### 3-مشكلة البحث:

تأتي مشكلة البحث لتوضح الاستخدام الواسع لتابع ليبانوف في دراسة الاستقرار ضمن المجالات التطبيقية (فيزيائية-هندسية) نظم التحكم وغير ذلك.

#### 4-موإد البحث:

#### تعاريف أساسية:

تعریف (1): تابع لیبانوف عبارة عن تابع مستمر:  $^+$   $_ ^ _ ^+$  یمتلك مشتقات مستمرة من المرتبة الأولى.

تعریف (2): یکون التابع V(x,t) موجب تحدیداً إذا کان:

x=0 من أجل  $V\left(x,t\right)=0$  و  $x\neq0$  من أجل  $V\left(x,t\right)>0$ 

تعریف (3): یکون التابع V(x,t) شبه موجب تحدیداً اِذا کان:

x = 0 من أجل V(x,t) = 0 و  $x \neq 0$  من أجل  $V(x,t) \geq 0$ 

#### طرائق ليبانوف في الاستقرار: [14]

الطريقة الأولى: لدراسة استقرار حل الجملة المدروسة ندرس استقرار حل الجملة الخطية الممثلة لثوابت الجملة المدروسة (أي الدراسة هنا تتم كما في حالة الجمل الخطية).

الطريقة الثانية: تعتمد هذه الطريقة على إيجاد تابع محدد موجب مشتقه أصغر من الصفر يدعى تابع ليبانوف إن وجود مثل هذا التابع يعني تماماً استقرار حل الجملة المدروسة. هذه الطريقة تصلح لدراسة استقرار حل الجملة التفاضلية الخطية وغير الخطية.

سوف نعتمد في دراستنا على الطريقة الثانية كونها أكثر فاعلية.

#### مبرهنة (1) (مبرهنة ليبانوف الأساسية في الاستقرار): [1]

اليكن لدينا تابع ليبانوف  $V\left(x,t
ight)$  ومشتقه  $V\left(x,t
ight)$  فإذا تحقق

. تابع موجب تحديداً و  $V^{\,\,\square}(x\,,t\,) \leq 0$  فالحل الصفري للجملة المدروسة مستقر  $V^{\,\,\square}(x\,,t\,) \leq 0$ 

نابع موجب تحديداً و  $V\left(x,t\right)<0$ فالحل الصفري للجملة المدروسة مستقر  $V\left(x,t\right)$  تابع موجب تحديداً و استقراراً تقاربياً.

والسؤال الذي يطرح نفسه الآن: كيف يمكننا إيجاد تابع ليبانوف؟

 $V\left(t,x\left(t
ight)
ight)=x^{T}\left(t
ight)px\left(t
ight)$  يمكن إيجاد تابع ليبانوف بالاعتماد على الصيغة التربيعية التالية:  $t\in [0,\infty),x\left(t
ight)\in \mathbb{D}^{n}$  حيث  $t\in [0,\infty),x\left(t
ight)\in \mathbb{D}^{n}$  أما بالنسبة للمصفوفة  $t\in [0,\infty)$  مصفوفة موجبة متناظرة وأنّ  $t\in [0,\infty)$ 

نتيجة (1): يكون التابع  $V\left(t,x\left(t\right)\right)$  موجب تحديداً إذا وفقط إذا كان كانت المصفوفة p موجبة تحديداً.

نتيجة (2): يكون التابع V(t,x(t)) شبه موجب تحديداً إذا وفقط إذا كانت المصفوفة p شبه موجبة تحديداً.

 $\lambda_i(p)$  حيث  $\lambda_i(p)>0$  تكون موجبة تحديداً إذا وفقط إذا كانت  $\lambda_i(p)>0$  حيث p القيم الذاتية للمصفوفة p .

 $\lambda_{r}(p) \ge 0$  تكون شبه موجبة تحديداً إذا وفقط إذا كانت p تكون شبه موجبة تحديداً إذا وفقط إذا كانت

p المبرهنة القادمة توضح لنا طريقة إيجاد المصفوفة

مبرهنة (2): لتكن  $A \in \square^{n \times n}$  عندئذ القضايا الآتية متكافئة:

النية المصفوفة A جزئها الحقيقي سالب. A

يوجد حل وحيد  $p=p^{T}>0$  يوجد حل وحيد  $Q=Q^{T}>0$  لمعادلة ليبانوف الآتية: (2)

$$A^T p + pA + Q = 0$$

 $p = \int\limits_0^\infty e^{A^Tt}Qe^{At}dt$ : الإثبات: لنفرض أنّ الشرط الأول محقق ولنعرّف:

عندئذ:

$$A^{T} p + p A = \int_{0}^{\infty} \left[ A^{T} e^{A^{T} t} Q e^{A t} + e^{A^{T} t} Q e^{A t} A \right] dt = \left[ e^{A^{T} t} Q e^{A t} \right]_{0}^{\infty} = -Q$$

 $\lim_{t\to\infty} e^{A^T t} Q e^{At} = 0$  حيث:

وهذا الحل وحيد أيضاً ولنثبت ذلك: نفرض جدلاً أنه يوجد حلين لمعادلة ليبانوف  $p_1, p_2$  بحيث:

$$\mathbf{A}^T \, p_1 + p_1 \mathbf{A} + Q = 0$$

$$\mathbf{A}^T p_2 + p_2 \mathbf{A} + Q = 0$$

بطرح المعادلة الثانية من المعادلة الأولى نحصل على

$$A^{T}(p_{1}-p_{2})+(p_{1}-p_{2})A=0$$

وبالتالي:

$$0 = e^{A^{T}t} \left[ A^{T} (p_{1} - p_{2}) + (p_{1} - p_{2}) A \right] e^{At}$$

$$= e^{A^{T}t} A^{T} (p_{1} - p_{2}) e^{At} + e^{A^{T}t} (p_{1} - p_{2}) A e^{At}$$

$$= \frac{d}{dt} \left( e^{A^{T}t} (p_{1} - p_{2}) e^{At} \right)$$

هذا يعني بأنّ المقدار t=0 نحصل على هذا يعني بأنّ المقدار  $e^{A^Tt}(p_1-p_2)e^{At}$  نحصل على

$$e^{A^T t} (p_1 - p_2) e^{At} = p_1 - p_2$$

 $p_1 = p_2 \Longleftarrow p_1 - p_2 = 0$  بأخذ نهاية الطرفين عندما  $t o \infty$  عندما

تعریف (4): [5] نقول عن التابع المستمر  $[0,\infty] \to [0,t]$  أنه ينتمي إلى الصف K إذا كان متزايد تماماً ويحقق  $\gamma:[0,t] \to [0,\infty]$  .

 $n\in\square$  تعرفنا في الدراسات السابقة على علاقات تمكننا من حساب التفاضل والتكامل من المرتبة  $lpha\in\square$  . lpha

تعريف (5): [4] يعرّف التكامل الكسرى بالعلاقة:

$$I^{\alpha} f(t) = \frac{1}{\Gamma(\alpha)} \int_{t_0}^{t} f(\tau) (t - \tau)^{\alpha - 1} d\tau \quad ; n - 1 < \alpha < n$$

حيث f(t) ، دالة اختيارية قابلة للمكاملة، الكسري، حيث f(t) دالة اختيارية قابلة للمكاملة،

دالة عاما و 
$$\exp(.)$$
 دالة عاما  $\Gamma(\alpha) = \int_{0}^{\infty} t^{\alpha-1} \exp(-t) dt$ 

تعريف (6): [11] مشتق ريمان-ليوفيل الكسري يعرف بالعلاقة:

$$^{RL}D^{\alpha}f(t) = \frac{1}{\Gamma(n-\alpha)} \frac{d^{n}}{dt^{n}} \int_{t_{0}}^{t} f(\tau)(t-\tau)^{n-\alpha-1} d\tau ; n-1 < \alpha < n$$

تعریف  $f:[t_0\,\,,T\,]
ightarrow\Box$  ، T>0 ،  $t\in[t_0,T\,]$  التكن  $f:[t_0\,\,,T\,]
ightarrow\Box$ 

مشتق كابتو الكسرى للتابع f يعرف كما يلى

$$D^{\alpha} f(t) = \frac{1}{\Gamma(n-\alpha)} \int_{t_0}^{t} f(\tau)^{(n)} (t-\tau)^{n-\alpha-1} d\tau ; n-1 < \alpha < n$$

تمهيدية (1): [3,5] لتكن لدينا جملة المعادلات التفاضلية الكسرية غير الخطية من الشكل:

$$D^{\alpha}x(t) = Ax(t) + g(t,x); \alpha \in (0,1)$$

K وليكن V(t,x) تابع ليبانوف الموافق والتوابع  $\gamma_i$  حيث  $\gamma_i$  حيث الصف V(t,x) عندئذ إذا كان:

1) 
$$\gamma_1(\Vert x \Vert) \le V(t, x) \le \gamma_2(\Vert x \Vert)$$
  
2)  $D^{\alpha}V(t, x) \le -\gamma_3(\Vert x \Vert)$ 

فإنّ الحل الصفري x=0 للجملة المدوسة يكون مستقر تقاربيا.

تمهيدية (2): [8] من أجل الصيغة التربيعية لتابع ليبانوف  $V = x^T p x$  تتحقق المتراجحة:

$$\lambda_{\min}(p) \|x\|^2 \le x^T p x \le \lambda_{\max}(p) \|x\|^2$$

p القيمة الذاتية الصغرى للمصفوفة الذاتية الصغرى المصفوفة الذاتية القيمة الذاتية الصغرى المصفوفة القيمة الذاتية الصغرى المصفوفة القيمة المناء القيمة القيمة القيمة القيمة القيمة القيمة القيمة القيمة القي

p القيمة الذاتية العظمى للمصفوفة  $\lambda_{\max}(p)$ 

ونذكر في هذا السياق مبرهنة تعتبر الركيزة الأساسية للدراسة.

مبرهنة (3): [2,8] من أجل المتجه  $x(t) \in \mathbb{D}^n$  والقابل للاشتقاق بمساقطه التابعية تتحقق المتراجحة التالية:

$$D^{\alpha}(x(t)px(t)) \leq 2x(t)pD^{\alpha}x(t)$$
 (1)

عبارة عن مصفوفة ثابتة موجبة بكل عناصرها.  $p\in\Box^{n\times n}$  ;  $\alpha\in(0,1), \forall t\geq t_0$ 

(1) عندئذ تصبح العلاقة p = I عندئذ تصبح العلاقة الإثبات: دون المساس بعمومية المسألة سوف نعتبر هنا بأنّ: p = I عندئذ تصبح العلاقة الأثبات:

$$D^{\alpha}(x(t)Ix(t)) \le 2x(t)ID^{\alpha}x(t) \implies$$

$$D^{\alpha}x^{2}(t) \le 2x(t)D^{\alpha}x(t) \tag{2}$$

إن إثبات (2) مكافئ لإثبات

$$x(t)D^{\alpha}x(t) - \frac{1}{2}D^{\alpha}x^{2}(t) \ge 0 ; \alpha \in (0,1)$$
 (3)

باستخدام التعريف (7) نضع:

$$D^{\alpha}x(t) = \frac{1}{\Gamma(1-\alpha)} \int_{t_0}^{t} \frac{\dot{x}(\tau)}{(t-\tau)^{\alpha}} d\tau ; n = 1$$

كما أنّ:

$$\frac{1}{2}D^{\alpha}x^{2}(t) = \frac{1}{\Gamma(1-\alpha)}\int_{t_{0}}^{t} \frac{x(\tau)\dot{x}(\tau)}{(t-\tau)^{\alpha}}d\tau$$

إذاً العلاقة (3) تصبح بالشكل:

$$\frac{1}{\Gamma(1-\alpha)} \int_{t_0}^{t} \frac{\left| x(t) - x(\tau) \right|}{\left(t - \tau\right)^{\alpha}} \dot{x}(\tau) d\tau \ge 0 \tag{4}$$

$$y'(\tau) = \frac{dy(\tau)}{d\tau} = -\frac{dx(\tau)}{d\tau}$$
 : ويفرض أنّ :  $y(\tau) = x(t) - x(\tau)$  والذي يقتضي بأنّ

إذاً العلاقة (4) تكتب بالشكل:

$$\frac{1}{\Gamma(1-\alpha)} \int_{t_0}^{t} \frac{y(\tau)y'(\tau)}{(t-\tau)^{\alpha}} d\tau \le 0$$
 (5)

بمكاملة العلاقة (5) بالتجزئة حيث تفرض أنّ:

$$du = y(\tau)y'(\tau)d\tau, u = \frac{1}{2}y^{2}$$

$$v = \frac{1}{\Gamma(1-\alpha)}(t-\tau)^{-\alpha}, dv = \frac{\alpha}{\Gamma(1-\alpha)}(t-\tau)^{-\alpha-1}$$

إذاً العلاقة (5) يمكن كتابتها بالشكل

$$-\left[\frac{y^{2}(\tau)}{2\Gamma(1-\alpha)(t-\tau)^{\alpha}}\right]_{\tau=t} + \left[\frac{y_{0}^{2}}{2\Gamma(1-\alpha)(t-t_{0})^{2}}\right] + \frac{\alpha}{2\Gamma(1-\alpha)}\int_{t_{0}}^{t} \frac{y^{2}(\tau)}{(t-\tau)^{\alpha+1}}d\tau \ge 0 \quad (6)$$

t 
ightarrow au عندما بأخذ نهاية طرفي العلاقة (6) عندما

$$\lim_{t \to \tau} \frac{y^{2}(\tau)}{2\Gamma(1-\alpha)(t-\tau)^{\alpha}} = \frac{1}{2\Gamma(1-\alpha)} \lim_{t \to \tau} \frac{\left|x(t) - x(\tau)\right|^{2}}{\left(t-\tau\right)} = \frac{1}{2\Gamma(1-\alpha)} \lim_{t \to \tau} \frac{\left[x^{2} - 2x(t)x(t) + x^{2}\right]}{\left(t-\tau\right)^{\alpha}}$$

باستخدام قاعدة أوبيتال

$$\frac{1}{2\Gamma(1-\alpha)}\lim_{t\to\tau} \frac{\left[x^{2}-2x(t)x(t)+x^{2}\right]}{(t-\tau)^{\alpha}} = \frac{1}{2\Gamma(1-\alpha)}\lim_{t\to\tau} \frac{\left[-2x(t)\dot{x}(\tau)+2x(\tau)\dot{x}(t)\right]}{-\alpha(t-\tau)^{\alpha-1}} = 0$$

إذاً العلاقة (6) تكتب بالشكل:

$$\frac{y_0^2}{2\Gamma(1-\alpha)(t-t_0)^{\alpha}} + \frac{\alpha}{2\Gamma(1-\alpha)} \int_{t_0}^{t} \frac{y^2(\tau)}{(t-\tau)^{\alpha+1}} d\tau \ge 0$$
(7)

إذاً العلاقة صحيحة (7) وبهذا يتم المطلوب.

وكنتيجة على هذه المبرهنة نذكر

نتيجة (3): [11] من أجل المتجه " $= x(t) \in \mathbb{R}$  والقابل للاشتقاق بمساقطه التابعية عندها تتحقق المتراجحة التالية:

$$D^{\alpha}(x^{T}(t)px(t)) \leq 2x^{T}(t)pD^{\alpha}x(t) \quad ; \alpha \in (0,1)$$

عبارة عن مصفوفة ثابتة موجبة بكل عناصرها.  $p \in \square^{n \times n}$  حيث  $\forall t \geq t_0$ 

المبرهنة القادمة توضح لنا الشروط الواجب تحققها لكي يكون حل الجملة المدروسة مستقراً مبرهنة (4): [11] بفرض أنه لدينا الجملة الخطية التالية:

$$D^{\alpha}x(t) = Ax(t) \tag{8}$$

 $x = (x_1, x_2, ...., x_n)^T \in \square^n$ , غناصرها ثابتة  $A \in \square^{n \times n}$ ,  $\alpha \in (0,1)$  حيث  $A \in \square^{n \times n}$ ,  $\alpha \in (0,1)$  عبارة عن مصفوفة  $A \in \square^{n \times n}$ ,  $\alpha \in (0,1)$  إذا كانت المصفوفة A جميع عناصرها تحقق  $A \in \square^n$  والمصفوفة  $A \in \square^n$  هي حل للمعادلة إذا كانت المصفوفة  $A \in \square^n$  حيث  $A \in \square^n$  المصفوفة الواحدية عندها الحل الصفري للجملة  $A \in \square^n$  مستقر تقاريباً.  $A \in \square^n$  مستقر تقاريباً.

الآن لدينا بحسب المبرهنة (3) والنتيجة (3) نكتب:

$$D^{\alpha}V(t,x(t)) \leq 2x^{T}(t)pD^{\alpha}x(t) = 2x^{T}(t)p \cdot Ax(t)$$

$$D^{\alpha}V(t,x(t)) \leq x^{T}(t)pAx(t) + x^{T}(t)(pA)^{T}x(t) =$$

$$\Rightarrow D^{\alpha}V(t,x(t)) \leq x^{T}(t)(pA + (pA)^{T})x(t) = -x^{T}x = -\|x\|^{2}$$

ىأخذ:

$$\lambda_{\min}(p) \|x\|^2 = \gamma_1(\|x\|) \quad , \lambda_{\max}(p) \|x\|^2 = \gamma_2(\|x\|) \quad , \|x\|^2 = \gamma_3(\|x\|)$$

بالاعتماد على التمهيدية (2) والتمهيدية (1) نحصل على الاستقرار التقاربي لحل الجملة (8).

وإذا ما أردنا تعميم النتيجة التي تمّ التوصل إليها في المبرهنة (4) من أجل الجمل الغير خطية من الشكل:

$$D^{\alpha}x(t) = Ax(t) + f(t,x(t))$$
(9)

 $fig(t,x\,(t)ig)$  حيث  $x=ig(x_1,x_2,....,x_nig)^T\in\Box^n, \alpha\inig(0,1ig), A\in\Box^{n imes n}$  حيث حيث

يحقق f(t,x(t)) يحقق f(t,x(t)) يحقق f(t,x(t)) يحقق f(t,x(t)) يحقق f(t,x(t))=0

 $\|f(t,x(t))\| \le \varepsilon \|x\|$ ;  $x \in \square^n$ ,  $t \in [t_0,\infty[$  بحيث  $\varepsilon > 0$  بحيث عدد عدد عدد الأن بأنه يوجد عدد

فإننا سنذكر شروط جديدة يجب تحققها للحصول على استقرار الحل للجملة المدروسة وذلك من خلال المبرهنة التالية.

مبرهنة (5): [8] لنأخذ الجملة (9) بحيث المصفوفة A الثابتة تحقق أن  $Re \lambda(A) < 0$  وإذا كانت المصفوفة p التي تمثل حل المعادلة p = -1 عندها  $p = 1 - 2 \epsilon \lambda_{max}(p) > 0$  تحقق  $p = 1 - 2 \epsilon \lambda_{max}(p) > 0$  تحقق المصفوفة الواحدية.

 $V(t,x(t)) = x^T px \; ; \; p > 0, p \in \square^{n \times n}$  الإثبات: لنفرض تابع ليبانوف بالصيغة التربيعية التربيعية بيبانوف بالصيغة (3) والنتبجة (3) نكتب:

$$D^{\alpha}V\left(t,x\left(t\right)\right) \leq 2x^{T}\left(t\right)pD^{\alpha}x\left(t\right) = x^{T}\left[pA + \left(pA\right)^{T}\right]x + 2x^{T}pf\left(t,x\left(t\right)\right)$$

الآن وباستخدام متراجحة كوشى شفارتز

$$x^{T} p f(t, x(t)) \leq ||x|| ||p|| ||f(t, x(t))|| \leq ||x|| \lambda_{\max}(p) ||f(t, x(t))||$$

$$x^{T} p f(t, x(t)) \leq ||x|| \lambda_{\max}(p) \varepsilon ||x|| = \lambda_{\max}(p) \varepsilon ||x||^{2} = \varepsilon \lambda_{\max}(p) x^{T} x$$

$$D^{\alpha}V(t, x(t)) \leq x^{T} \left[ p A + (p A)^{T} \right] x + 2\varepsilon \lambda_{\max}(p) x^{T} x$$

$$D^{\alpha}V(t, x(t)) \leq -x^{T} x + 2\varepsilon \lambda_{\max}(p) x^{T} x = -(1 - 2\varepsilon \lambda_{\max}(p)) ||x||^{2}$$

بأخذ (p) الفرض و:

$$\gamma_{1}(\|x\|) = \lambda_{\min}(p)\|x\|^{2} , \gamma_{2}(\|x\|) = \lambda_{\max}(p)\|x\|^{2} , \gamma_{3}(\|x\|) = (1 - 2\varepsilon\lambda_{\max}(p))\|x\|^{2}$$

نجد أنه من أجل تابع ليبانوف المفروض نحصل على الاستقرار التقاربي للحل الصفري للجملة المدروسة.

الآن لو كانت لدينا الجملة:

$$D^{\alpha}x(t) = Ax(t) + I^{\alpha}f(t,x(t))$$
(10)

حيث  $f\left(t,x\left(t\right)\right)$  حيث  $f\left(t,x\left(t\right)\right)$  حيث  $f\left(t,x\left(t\right)\right)$  حيث  $f\left(t,x\left(t\right)\right)$  عيد خطي بالمتجه  $f\left(t,x\left(t\right)\right)$  عيد خطي بالمتجه  $f\left(t,x\left(t\right)\right)$  عيد  $f\left(t,x\left(t\right)\right)$  عيد  $f\left(t,x\left(t\right)\right)$  عيد  $f\left(t,x\left(t\right)\right)$  عيد خطي بالمتجه  $f\left(t,x\left(t\right)\right)$ 

 $\|f(t,x(t))\| \le \varepsilon \|x\|$ ;  $x \in \square$  ",  $t \in [t_0,\infty[$  بحیث  $\varepsilon > 0$  عدد عدد عدد وباستخدام التمهیدیة (1) والتمهیدیة (2) یمکن وضع المبرهنة التالیة:

مبرهنة (6): لنأخذ الجملة (10) بحيث المصفوفة A الثابتة تحقق أنّ  $Re\,\lambda(A)<0$  وإذا كانت  $pA+A^T\,p=-I$  المصفوفة  $pA+A^T\,p=-I$  تحقق  $pA+A^T\,p=-I$  عندها الحل الصفري للجملة (10) يكون مستقر تقاربياً .  $\left(1-2\frac{\varepsilon}{\alpha\Gamma(\alpha)}\lambda_{\max}(p)\right)\!\!\!\!/\, t^{\alpha} \right) > 0$ 

 $V(t,x(t)) = x^T px$  ;  $p > 0, p \in \mathbb{D}^{n \times n}$  الإثبات: لنفرض تابع ليبانوف بالصيغة التريعية بناميرهنة (3) والنتيجة (3) نكتب:

$$D^{\alpha}V\left(t,x\left(t\right)\leq2x^{T}pD^{\alpha}x=x^{T}\left[p\mathbf{A}+\left(p\mathbf{A}\right)^{T}\right]x+2x^{T}p\mathbf{I}^{\alpha}f\left(t,x\left(t\right)\right)$$
وباستخدام متراجحة كوشى شفارنز

$$x^{T} p I^{\alpha} f(t, x(t)) \leq ||x^{T}|| ||p|| ||I^{\alpha} f(t, x(t))||$$

لكن

$$\left\| \mathbf{I}^{\alpha} f(t, x(t)) \right\| \leq \left\| \frac{1}{\Gamma(\alpha)} \int_{0}^{t} (t - \tau)^{\alpha - 1} f(\tau, x(\tau)) d\tau \right\| \leq \frac{1}{\Gamma(\alpha)} \int_{0}^{t} \left\| (t - \tau)^{\alpha - 1} \right\| \left\| f(\tau, x(\tau)) \right\| d\tau$$

$$\leq \frac{1}{\Gamma(\alpha)} \varepsilon \int_{0}^{t} \left\| (t - \tau)^{\alpha - 1} \right\| \left\| x \right\| d\tau = \frac{1}{\Gamma(\alpha)} \varepsilon \left\| x \right\| \left\{ -\frac{1}{\alpha} (t - \tau)^{\alpha} \right|_{0}^{t} \right\} = \frac{1}{\alpha \Gamma(\alpha)} \varepsilon \left\| x \right\| \left\| t^{\alpha} \right\|$$

$$\Rightarrow x^{T} p I^{\alpha} f(t, x(t)) \leq \|x\| \|p\| \frac{1}{\Gamma(\alpha + 1)} \varepsilon \|x\| \|t^{\alpha}\|$$

$$x^{T} p I^{\alpha} f(t, x(t)) \leq \|x\|^{2} \lambda_{\max}(p) \frac{\varepsilon}{\Gamma(\alpha + 1)} \|t^{\alpha}\|$$

$$\Rightarrow x^{T} p I^{\alpha} f(t, x(t)) \leq x^{T} x \lambda_{\max}(p) \frac{\varepsilon}{\Gamma(\alpha + 1)} \|t^{\alpha}\|$$

$$\Rightarrow D^{\alpha} V(t, x(t)) \leq -x^{T} x + 2x^{T} x \lambda_{\max}(p) \frac{\varepsilon}{\Gamma(\alpha + 1)} \|t^{\alpha}\|$$

$$D^{\alpha} V(t, x(t)) \leq -\left(1 - \frac{2\varepsilon}{\Gamma(\alpha + 1)} \lambda_{\max}(p) \|t^{\alpha}\|\right) \|x\|^{2}$$

$$\text{Light } \int_{0}^{\infty} \left(1 - 2\frac{\varepsilon}{\alpha \Gamma(\alpha)} \lambda_{\max}(p) \|t^{\alpha}\|\right) \|x\|^{2}$$

$$\text{Light } \int_{0}^{\infty} \left(1 - 2\frac{\varepsilon}{\alpha \Gamma(\alpha)} \lambda_{\max}(p) \|t^{\alpha}\|\right) \|x\|^{2}$$

$$\gamma_{1}(\|x\|) = \lambda_{\min}(p) \|x\|^{2}, \ \gamma_{2}(\|x\|) = \lambda_{\max}(p) \|x\|^{2}, \ \gamma_{3}(\|x\|) = \left(1 - \frac{2\varepsilon}{\Gamma(\alpha + 1)} \lambda_{\max}(p) \|t^{\alpha}\|\right) \|x\|^{2}$$

نجد أنه من أجل تابع ليبانوف المفروض أنّ الحل الصفري للجملة المدروسة مستقر تقاربياً.

وفيما يلى نقدم أمثلة توضيحية حول ما تم ذكره.

مثال (1): بفرض أنه لدينا جملة المعادلات التفاضلية الكسرية:

$$D^{\alpha}x(t) = Ax(t) + f(t,x(t)); 0 < \alpha \le 1$$

حيث أنّ:

$$x(t) = (x_1(t), x_2(t))^T, f(t, x(t)) = (\frac{1}{2}\sin x_1(t), \frac{1}{2}\sin x_2(t))^T, A = \begin{bmatrix} -1 & 4\\ 0 & -3 \end{bmatrix}$$

هنا لدبنا:

$$\left\| f \left( t \,, x \,(t) \right) \right\| = \sqrt{\frac{1}{4} \sin^2 x_{\,1}(t) + \frac{1}{4} \sin^2 x_{\,2}(t)} \leq \frac{1}{2} \sqrt{x_{\,1}^{\,2}(t) + x_{\,2}^{\,2}(t)} \leq \frac{1}{2} \left\| x \,(t) \right\|$$
 إذاً ثابت ليبشتر  $\varepsilon = \frac{1}{2}$ 

 $A^T p + pA = -Q$  ; Q = I تحقق p تحقق المصفوفة الموجبة p

$$\begin{bmatrix} -1 & 0 \\ 4 & -3 \end{bmatrix} \begin{bmatrix} p_1 & p_2 \\ p_3 & p_4 \end{bmatrix} + \begin{bmatrix} p_1 & p_2 \\ p_3 & p_4 \end{bmatrix} \begin{bmatrix} -1 & 4 \\ 0 & -3 \end{bmatrix} = -\mathbf{I}$$

$$\begin{bmatrix} -p_1 & -p_2 \\ 4p_1 - 3p_3 & 4p_3 - 3p_4 \end{bmatrix} + \begin{bmatrix} -p_1 & 4p_1 - 3p_2 \\ -p_3 & 4p_3 - 3p_4 \end{bmatrix} = -I$$

$$\begin{bmatrix} -2p_1 & 4p_1 - 4p_2 \\ 4p_1 - 4p_3 & 8p_3 - 6p_4 \end{bmatrix} = \begin{bmatrix} -1 & 0 \\ 0 & -1 \end{bmatrix}$$

$$-2p_1 = -1$$

$$+4p_1 - 4p_3 = 0$$

$$+8p_3 - 6p_4 = 0$$

$$\Rightarrow p = \begin{bmatrix} p_1 & p_2 \\ p_3 & p_4 \end{bmatrix} = \begin{bmatrix} \frac{1}{2} & \frac{1}{2} \\ \frac{1}{2} & \frac{5}{6} \end{bmatrix} \Rightarrow \lambda_{\text{max}}(p) = \frac{5}{6}$$

$$1-2\varepsilon\lambda_{\max}(p) = 1-2\cdot\frac{1}{2}\left(\frac{5}{6}\right) = \frac{1}{6} > 0$$
 لدينا

إذاً حل الجملة المدروسة مستقر تقاربياً حسب المبرهنة (5)

مثال (2): بفرض أنه لدينا جملة المعادلات التكاملية التفاضلية الكسرية:

$$D^{\alpha}x(t) = Ax(t) + I^{\alpha}f(t,x(t)); 0 < \alpha \le 1$$

باعتبار أنّ

$$x(t) = (x_1(t), x_2(t))^T, f(t, x(t)) = (\sin x_1(t), \sin x_2(t))^T, A = \begin{bmatrix} -3 & 1\\ 1 & -2 \end{bmatrix}$$

هنا لدبنا

$$||f(t,x(t))|| = \sqrt{\sin^2 x_1(t) + \sin^2 x_2(t)} \le \sqrt{x_1^2(t) + x_2^2(t)} = ||x(t)||$$

 $[\varepsilon=1]$  إذاً ثابت ليبشتر

 $\mathbf{A}^T \, p + p \, \mathbf{A} = -Q \; ; Q = \mathbf{I}$  نوجد الآن مصفوفة موجبة p تحقق

$$\begin{bmatrix} -3 & 1 \\ 1 & -2 \end{bmatrix} \begin{bmatrix} p_1 & p_2 \\ p_3 & p_4 \end{bmatrix} + \begin{bmatrix} p_1 & p_2 \\ p_3 & p_4 \end{bmatrix} \begin{bmatrix} -3 & 1 \\ 1 & -2 \end{bmatrix} = \begin{bmatrix} -1 & 0 \\ 0 & -1 \end{bmatrix}$$

$$\begin{bmatrix} -3p_1 + p_3 & -3p_2 + p_4 \\ p_1 - 2p_2 & p_2 - 2p_4 \end{bmatrix} + \begin{bmatrix} -3p_1 + p_2 & p_1 - 2p_2 \\ -3p_3 + p_4 & p_3 - 2p_4 \end{bmatrix} = \begin{bmatrix} -1 & 0 \\ 0 & -1 \end{bmatrix}$$

 $p_1 = p_4 = 1 & p_2 = p_3 = 0$  أنّ على أنت

$$\Rightarrow p = \begin{bmatrix} 1 & 0 \\ 0 & 1 \end{bmatrix}$$

وبالتالي

$$V(t,x(t)) = x^T x = ||x||^2 > 0$$

كما أنّ

$$D^{\alpha}V(t,x(t)) \leq 2x^{T}(t)D^{\alpha} = \left[Ax + f(t,x(t))\right]^{T}x + x^{T}\left[Ax + f(t,x(t))\right]$$

$$D^{\alpha}V(t,x(t)) \leq -6x_{1}^{2} + 4x_{1}x_{2} - 4x_{2}^{2} + 2x_{1}\sin x_{1} + 2x_{2}\sin x_{2}$$

$$D^{\alpha}V(t,x(t)) \leq -6x_{1}^{2} + 4x_{1}x_{2} - 4x_{2}^{2} + 2x_{1}^{2} + 2x_{2}^{2}$$

$$D^{\alpha}V(t,x(t)) \leq -4x_{1}^{2} + 4x_{1}x_{2} - 2x_{2}^{2} \leq -4\left(x_{1} - \frac{1}{2}x_{2}\right)^{2} - x_{2}^{2}$$

إذاً الحل الصفري للجملة المدروسة مستقر حسب المبرهنة الأساسية في الاستقرار كون أننا استطعنا  $D_*^{\alpha}V\left(t,x\left(t\right)
ight)<0$  ومشتقه السالب  $V\left(t,x\left(t\right)
ight)$ 

يمكن التوصل إلى نفس النتيجة بالاعتماد على المبرهنة (6)

$$t \in \left[0, \frac{1}{16}\right], \alpha = \frac{1}{2}, \varepsilon = 1, \lambda_{\max}(p) = 1$$
 حيث أنّ

وبالتالي

$$1 - 2\frac{\varepsilon}{\alpha\Gamma(\alpha)} \lambda_{\max}(p) \|t^{\alpha}\| = 1 - 2\frac{1}{\frac{1}{2}\Gamma(\frac{1}{2})} (1) (\frac{1}{4}) = 1 - \frac{1}{\sqrt{\pi}} > 0$$

إذاً الحل الصفري للجملة المدروسة مستقر.

#### التوصيات والاستنتاجات: من خلال البحث المقدم حصلنا على النتائج التالية:

- إمكانية جعل جملة معادلات تكاملية—تفاضلية من مرتبة كسرية مستقرة وذلك باستخدام الصيغة التربيعية لتابع ليبانوف.
- إنّ الشروط اللازمة للحصول على استقرار الجملة المدروسة تكون أسهل فيما لو استخدمنا
   تابع ليبانوف في الإثبات.
- في دراساتنا القادمة سوف نتعمق في توضيح وشرح الأهمية النظرية والتطبيقية لتابع ليبانوف ودوره في استقرار الجمل الديناميكية.
  - في الأبحاث القادمة سنوضّح أهمية الاشتقاق الكسري في التطبيقات الفيزيائية.

#### المراجع:

- 1-Benzaouia, A., Hmamed, A., Mesquiene, F., Benhayoun, M. and Tadeo, F., 2014-Stabilization of Continous- Time Fractional Positive Systems by Using a Lyapunov Function, IEEE Trans Autom. Cntrol, 59 (8): 2203-2208.
- 2-Camacho, N.A., Mermoud, M. A. D. and Gallegos, J. A., 2014\_ <u>Lyapunov</u> <u>Functions for Fractional Order Systems</u>, Commun Nonlinear Sci Numer Simulat, 19(9): 2951-2957.
- 3-Chen, Y. and Dadras, S., 2017- A Note On the Lyapunov Stability of Fractional- Order Nonlinear Systems.
- 4-Chen, L., He, Y., Wu, R. and Chai, Y., 2014 New Results On Stability and Stabilization of a Class of Non Linear Fractional Order Systems, Non Linear Dynamics, 75(4): 633-641.
- 5-Chen, Y. Q., Li, Y. and Podlubny, I., 2010- Stability of Fractional- Order Non Linear Dynamic Systemes: <u>Lyapunov Direct Method and Generalized Mittag- Leffler Stability</u>, Computers and Mathematics with Applications, 59(5): 1810-1821.
- 6-Chen, Y. Q. and Luo, Y., 2009- <u>Fractional Order [ Proportional Derivative] Controller for A Class of Fractional Order Systems</u>, Automatica, 45(10): 2446-2450.

- 7-Chen, Y.Q. and Moore, K. L., 2002 Analytical Stability Bound for A Class of Delayed Fractional Order Dynamic Systems, Non Linear Dynamics, 29(1): 191-200.
- 8- Che, C., Xu, Q., Zhuang, S., Xu, X. and Xia, Y., 2018-Stabilization of A Class of Fractional- Order No Autonomous Systems Using Quadratic Lyapunov Functions, Advances in Difference Equations, (1): 1-14.
- 9-Ckreece, P. C. J., 2018- Finite Time Stability Criteria for Non Linear Foorder Dynamical Systems, Mathematical Theory and Modeling, 8(4): 145-155.
- 10-Hu, J. B., Lu, G.P., Zhang, S.B. and Zhao, L. D., 2015-Lyapunov Stability Theorem About Fractional System Without and with Delay, Communications in Non Linear Science and Numerical Simulation, 20(3): 905-913.
- 11-Jiang, W., Liu, S., Li, X. and Zhou, X. F., 2016- Lyapunov Stability Analysis of Fractional Non Linear Systems, Applied Mathematics, 51(87): 13-19.
- 12-Magin, R., Ortigueira, M. D., Podlubny, I. and Trujillo, J., 2011-On The Fractional Signals and Systems, Signals Processing, 91(3): 350-371.
- 13-Tarasov, V. E., 2013- No Violation of the Leibns Rule. No Fractional Derivative, Commun Nonlinear Sci Numer Simulat, 18 (11): 2945- 2948.

14-Trinh, M. H. and Tuan, H. T., 2018- Stability of Fractioal Order Non Linear Systems by Lyapunov Direct Method, ET Control Theory and Applications, 12(7): 1-14.

15-Valdes- Parad, F. J. and Ocha- Tapia, J. A., 2007- Effective Medium Equations for Fractional Fick's Law In Porous Media, Physica A, 373(): 339-353.

### أنصاف الزّمر على مجموعة الخماسيّات الفيثاغوريّة

الباحث: الدكتور باسل حمدو العرنوس

أستاذ مساعد في قسم الرياضيات - كليّة العلوم - جامعة حمص

#### ملخّص البحث

قمنا في هذا البحث بتعريف عمليّة ثنائيّة مغلقة \* على مجموعة الخماسيّات الفيثاغوريّة  $PP_5$ ، على النحو الآتي:

:العمليّة الثّنائيّة الآتية  $PP_5$  نعرّف على  $(a_1,a_2,a_3,a_4,a_5),(b_1,b_2,b_3,b_4,b_5)$  العمليّة الأتية الآتية الآتي

$$(a_1,a_2,a_3,a_4,a_5)*(b_1,b_2,b_3,b_4,b_5)=(c_1,c_2,c_3,c_4,c_5)$$

حيث:

$$\begin{split} c_1 &= a_1b_1 - a_2b_2 - a_3b_3 - a_4b_4 \\ c_2 &= a_1b_2 + a_2b_1 + a_3b_4 - a_4b_3 \\ c_3 &= a_1b_3 + a_3b_1 + a_4b_2 - a_2b_4 \\ c_4 &= a_1b_4 + a_4b_1 + a_2b_3 - a_3b_2 \end{split} \quad , \quad c_5 = a_5b_5$$

 $(PP_5,*)$  ومن ثمّ حصلنا على البنية الجبريّة

قمنا بعد ذلك بإثبات أنّ هذه البنية هي نصف زمرة واحديّة.

الكلمات المفتاحية: خماسيّة فيثاغوريّة، رباعيّة فيثاغوريّة، ثلاثيّة فيثاغوريّة، بنية، نصف زمرة، محابد.

## Semigroups on the Set of Pythagorean Pentads

Researcher: Dr. Basel Hamdo Al-Arnous

Assistant Professor, Department of Mathematics – Faculty of Science – Homs University.

#### **Abstract**

In this study, we define a closed operation \* on the set of Pythagorean pentads, denoted by  $PP_5$ , as follows:

Let  $(a_1,a_2,a_3,a_4,a_5),(b_1,b_2,b_3,b_4,b_5) \in PP_5$ . We define the following binary operation on  $PP_5$ :

$$(a_1,a_2,a_3,a_4,a_5)*(b_1,b_2,b_3,b_4,b_5)=(c_1,c_2,c_3,c_4,c_5)$$

Given that:

$$\begin{aligned} c_1 &= a_1b_1 - a_2b_2 - a_3b_3 - a_4b_4 \\ c_2 &= a_1b_2 + a_2b_1 + a_3b_4 - a_4b_3 \\ c_3 &= a_1b_3 + a_3b_1 + a_4b_2 - a_2b_4 \end{aligned} \quad , \quad c_5 = a_5b_5$$

$$c_4 &= a_1b_4 + a_4b_1 + a_2b_3 - a_3b_2$$

Accordingly,  $(PP_5,*)$  forms an algebraic structure.

Then, We prove that this structure constitutes a semigroup.

#### Keywords:

Pythagorean pentad, Pythagorean quadruple, Pythagorean triple, structure, semigroup, identit.

#### 1.مقدّمة

(a,b,c) لتكن R حلقة صحيحة معرّفة فوق الحقل العددي R نقول عن الثلاثيّة R لتكن  $a,b,c\in R$  حبث  $a,b,c\in R$  ثلاثيّة فبثاغوربّة إذا كانت

في العام 1984 عرّف إيكيرت Eckert عمليّة جمع بين الثلاثيّات الفيثاغوريّة عندما  $R=\mathbf{Z}$ 

$$(a_1,b_1,c_1)+(a_2,b_2,c_2)=(a_1a_2-b_1b_2,a_1b_2+b_1a_2,c_1c_2)$$

بحيث تشكّل مجموعة كلّ الثّلاثيّات الفيثاغوريّة الصحيحة بالإضافة إلى (1,0,1) مع العمليّة + زمرة تبديلية [1].

بعد ذلك وتحديداً في العام 1991 قام زناردو Zanardo و زانبير Zannier بتعميم المجال من  $\mathbf{Z}$  إلى أي حلقة من الأعداد الصحيحة  $\mathbf{Z}$  .

في العام 1996 قام بيوريجارد Beauregard و سوريانريان Suryanarayan بتعريف عمليّة مغلقة \* على مجموعة كل الثلاثيّات الفيثاغوريّة الصحيحة، على النحو الآتي [3]:

$$(a_1,b_1,c_1)*(a_2,b_2,c_2)=(a_1a_2,b_1c_2,c_1b_2+b_1b_2+c_1c_2)$$

في هذا البحث، قمنا بتعريف الخماسيّات الفيثاغوريّة، ومن ثمّ تعريف عمليّة مغلقة \* على مجموعة كل الخماسيّات الفيثاغوريّة  $PP_5$ ، وأثبتنا أنّ البنية  $(PP_5, *)$  هي نصف زمرة، وأوجدنا العنصر المحابد بالنسبة للعمليّة \*.

استخدمنا في ذلك الأعداد فوق العقديّة (الكواترنيون)

#### 2. هدف البحث

يهدف البحث إلى إيجاد عمليّة ثنائيّة على مجموعة كل الخماسيّات الفيثاغوريّة الصحيحة، وبالتالي توليد خماسيّة فيثاغوريّة من خماسيتين فيثاغوريّتين.

#### 3. المناقشة و النتائج

أوّلاً: مجموعة الأعداد فوق العقدية [4]:

#### تعریف1:

تعرّف مجموعة الأعداد فوق العقدية (الكواتيرنيون) H، بأنها مجموعة كلّ الأعداد التي لها الشّكل:

$$q = q_0 + q^* = q_0 + q_1 i + q_2 j + q_3 k$$

حيث:  $\square q_0,q_1,q_2,q_3 \in \square$  وحدات تحقق الشروط الآتية:

$$i^{2} = j^{2} = k^{2} = ijk = -1$$

$$ij = k = -ji$$

$$jk = i = -kj$$

$$ki = j = -ik$$

مثال 1: الأعداد الآتية فوق عقدية:

$$4+2i-2j+3k$$
 ,  $-5$  ,  $2i-3j+3k$  ,  $5-4i$ 

لكل عدد فوق عقدي قسمين: قسم حقيقي (سلّمي) وجزء متّجهي، فمن أجل العدد فوق العقدي:

$$q = q_0 + q^* = q_0 + q_1 i + q_2 j + q_3 k$$

 $q^*=q_1i+q_2j+q_3k$  : قَإِنَ الجزء الحقيقي ،  $q_0$  أمّا الجزء المتّجهي ، أمّا الجزء الحقيقي ، أمّا الجزء الحقيقي ،

ثانياً: جبر الأعداد فوق العقديّة [5]:

اليكن لدينا  $p,q \in H$  حيث

$$p = p_0 + p^* = p_0 + p_1 i + p_2 j + p_3 k$$
$$q = q_0 + q^* = q_0 + q_1 i + q_2 j + q_3 k$$

#### تعریف2:

تُعرّف عمليّة جمع الأعداد فوق العقديّة (+) على النّحو الآتي:

$$p + q = (p_0 + q_0) + (p^* + q^*)$$
$$= (p_0 + q_0) + (p_1 + q_1)i + (p_2 + q_2)j + (p_3 + q_3)k$$

واضح أنّ الصّفر هو محايد بالنّسبة لعمليّة الجمع، وكذلك فإنّ لكل عدد p من H نظير جمعي، هو:

$$-p = -p_0 - p^* = -p_0 - p_1 i - p_2 j - p_3 k$$

#### تعریف3:

تُعرّف عمليّة ضرب الأعداد فوق العقديّة (٠) على النّحو الآتى:

$$\begin{aligned} p.q &= (p_0.q_0) - (p_1.q_1 + p_2.q_2 + p_3.q_3) + \\ &+ p_0 (q_1 i + q_2 j + q_3 k) + q_0 (p_1 i + p_2 j + p_3 k) + \\ &+ (p_2.q_3 - p_3.q_2) i + (p_3.q_1 - p_1.q_3) j + (p_1.q_2 - p_2.q_1) k \end{aligned}$$

وهي تكتب بالشّكل الآتي:

$$p.q = (p_0.q_0) - p^*q^* + p_0q^* + q_0p^* + p^* \times q^*$$

حبث:

$$p^* \cdot q^* = p_1 \cdot q_1 + p_2 \cdot q_2 + p_3 \cdot q_3$$
$$p^* \times q^* = \begin{vmatrix} i & j & k \\ p_1 & p_2 & p_3 \\ q_1 & q_2 & q_3 \end{vmatrix}$$

ولأنّ:  $p^* \times q^* \neq q^* \times p^*$  فإنّ الضّرب ليس عمليّة تبديليّة.

ثالثاً: المرافق، النّظيم، المقلوب [6]:

ليكن  $q=q_0+q^*=q_0+q_1i+q_2j+q_3k$  عدد فوق عقديّ.

#### تعریف4:

يُعرّف مرافق العدد q بانّه العدد  $\overline{q}$  من H المعطى بالعلاقة الآتية:

$$\overline{q} = q_0 - q^* = q_0 - q_1 i - q_2 j - q_3 k$$

من التّعريف ينتج أنّ:

$$\overline{(\overline{q})} = \overline{(q_0 - q^*)} = q_0 - (-q^*) = q_0 + q^* = q \quad \text{(i)} \quad \overline{(\overline{q})} = q \quad .1$$

$$\cdot q + \overline{q} = 2q_0 \cdot 2$$

وعلاوةً على ذلك فإنّ: 
$$q.\overline{q} = \overline{q}.q$$
 .3

$$q.\overline{q} = \overline{q}.q = q_0^2 + q_1^2 + q_2^2 + q_3^2$$

$$p \in H$$
 حيث:  $\overline{(q.p)} = \overline{p}.\overline{q}$  .4

# تعریف5:

يُعرّف نظيم العدد q بانّه العدد |q| من  $\square$  المعطى بالعلاقة الآتية:

$$|q| = \sqrt{q.\overline{q}} = \sqrt{q_0^2 + q_1^2 + q_2^2 + q_3^2}$$

نتائج: ينتج من التّعريف أنّ:

$$|q| = |\overline{q}|$$
 .1

كن: 
$$p \in H$$
 حيث  $p : q = |p| \cdot |q|$  كنّ:

$$|p.q|^2 = p.q.(\overline{p.q}) = p.q.\overline{q}.\overline{p} = p.|q|^2.\overline{p} = p.\overline{p}.|q|^2 = |p|^2.|q|^2$$

رابعاً: أعداد ليبشتز الصّحيحة [7]:

#### تعریف 6:

أعداد ليبشتز الصّحيحة هي مجموعة كلّ الأعداد فوق العقديّة التي مكوّناتها أعداد صحيحة، ونرمز لها بالرمز له أي أنّ:

$$\mathbf{L} = \left\{ a + bi + cj + dk \in \mathbf{H}; a, b, c, d \in \Box \right\}$$

# خامساً: الخماسيّات الفيتاغوريّة ":

 $\{x,y,z\}$  نعلم من نظريّة الأعداد، أنّ الثّلاثيّات الفيثاغوريّة في  $\square$  هي مجموعة كلّ الثّلاثيّات الثية:

$$x^{2} + y^{2} = z^{2}$$
;  $x, y, z \in \square$ 

وعليه فإنّ الخماسيّات الفيثاغوريّة، هي مجموعة كلّ الخماسيّات  $\{x,y,z,w,r\}$  والتي تحقّق معادلة ديوفانتس الآتية:

$$x^{2} + y^{2} + z^{2} + w^{2} = r^{2}$$
;  $x, y, z, w, r \in \Box^{+}$ 

# تعریف 7:

تسمّی خماسیّة فیثاغوریّة، کلّ خماسیّة (a,b,c,d,e)، حیث (a,b,c,d,e)، وتحقّق الشّرط الآتی:

$$a^2 + b^2 + c^2 + d^2 = e^2$$

سنرمز المجموعة كلّ الخماسيّات الفيثاغوريّة بالرّمز  $PP_5$  وبالتّالي يكون:

$$PP_5 = \{(a,b,c,d,e); a^2 + b^2 + c^2 + d^2 = e^2 : a,b,c,d,e \in \square\}$$

## مبرهنة 1 وتعريف 8:

نعرّف على  $PP_5$  العمليّة الثّنائيّة الأتية:  $(a_1,a_2,a_3,a_4,a_5),(b_1,b_2,b_3,b_4,b_5) \in PP_5$  ليكن

$$(a_1,a_2,a_3,a_4,a_5)*(b_1,b_2,b_3,b_4,b_5)=(c_1,c_2,c_3,c_4,c_5)$$

حىث:

$$\begin{split} c_1 &= a_1b_1 - a_2b_2 - a_3b_3 - a_4b_4 \\ c_2 &= a_1b_2 + a_2b_1 + a_3b_4 - a_4b_3 \\ c_3 &= a_1b_3 + a_3b_1 + a_4b_2 - a_2b_4 \\ c_4 &= a_1b_4 + a_4b_1 + a_2b_3 - a_3b_2 \end{split} \quad , \quad c_5 = a_5b_5$$

عندئذٍ  $(PP_5,*)$  بنية جبريّة.

#### الإثبات:

 $\cdot PP_5 \neq \{\ \}$  إنّ:  $PP_5 \neq \{\ \}$  وبالتّالي فإنّ:  $(0,0,0,0,0) \in PP_5$ 

ليكن  $p_1,p_2$  بالشّكل ،  $(a_1,a_2,a_3,a_4,a_5),(b_1,b_2,b_3,b_4,b_5)\in PP_5$  بالشّكل الآتى:

$$p_1 = \frac{a_1}{a_5} + \frac{a_2}{a_5}i + \frac{a_3}{a_5}j + \frac{a_4}{a_5}k$$
,  $p_2 = \frac{b_1}{b_5} + \frac{b_2}{b_5}i + \frac{b_3}{b_5}j + \frac{b_4}{b_5}k$ 

ويكون:

$$|p_1| = \sqrt{\frac{a_1^2 + a_2^2 + a_3^2 + a_4^2}{a_5^2}} = \sqrt{\frac{a_5^2}{a_5^2}} = 1,$$

$$|p_2| = \sqrt{\frac{b_1^2 + b_2^2 + b_3^2 + b_4^2}{b_5^2}} = \sqrt{\frac{b_5^2}{b_5^2}} = 1$$

 $|p_1.p_2| = |p_1|.|p_2| = 1$  وبالتّالي يكون: 1

في الحقيقة فإنّ:

$$p_{1} \cdot p_{2} = \frac{a_{1}b_{1}}{a_{5}b_{5}} - \left(\frac{a_{2}b_{2} + a_{3}b_{3} + a_{4}b_{4}}{a_{5}b_{5}}\right) + \frac{a_{1}}{a_{5}} \left(\frac{b_{2}}{b_{5}}i + \frac{b_{3}}{b_{5}}j + \frac{b_{4}}{b_{5}}k\right) + \frac{b_{1}}{b_{5}} \left(\frac{a_{2}}{a_{5}}i + \frac{a_{3}}{a_{5}}j + \frac{a_{4}}{a_{5}}k\right) + \begin{vmatrix} i & j & k \\ \frac{a_{2}}{a_{5}} & \frac{a_{3}}{a_{5}} & \frac{a_{4}}{a_{5}} \\ \frac{b_{2}}{b_{5}} & \frac{b_{3}}{b_{5}} & \frac{b_{4}}{b_{5}} \end{vmatrix}$$

بإصلاح العلاقة، يكون:

$$\begin{split} p_1.p_2 &= \left(\frac{a_1b_1 - a_2b_2 - a_3b_3 - a_4b_4}{a_5b_5}\right) + \left(\frac{a_1b_2 + a_2b_1 + a_3b_4 - a_4b_3}{a_5b_5}\right).i \\ &= + \left(\frac{a_1b_3 + a_3b_1 + a_4b_2 - a_2b_4}{a_5b_5}\right).j + \left(\frac{a_1b_4 + a_4b_1 + a_2b_3 - a_3b_2}{a_5b_5}\right).k \end{split}$$

وبحسب فرضيات المبرهنة يكون:

$$p_1.p_2 = \left(\frac{c_1}{c_5}\right) + \left(\frac{c_2}{c_5}\right).i + \left(\frac{c_3}{c_5}\right).j + \left(\frac{c_4}{c_5}\right).k$$

 $|p_1.p_2| = 1$  فإنّ ولأنّ الله فإنّ الله ولأنّ

$$\left(\frac{c_1}{c_5}\right)^2 + \left(\frac{c_2}{c_5}\right)^2 + \left(\frac{c_3}{c_5}\right)^2 + \left(\frac{c_4}{c_5}\right)^2 = 1$$

ومنه فإنّ:

$$c_1^2 + c_2^2 + c_3^2 + c_4^2 = c_5^2$$

وهذا يعني أنّ: PP₅: أنّ: (c₁,c₂,c₃,c₄,c₅) €

أي أنّ العمليّة \* هي قانون تشكيل داخلي على  $PP_5$ ، وبالتّالي  $(PP_5,*)$  تعرّف بنية جبريّة. مثال 2:

$$(1,2,4,10,11),(1,2,8,10,13) \in PP_5$$
 ليكن:

$$(1,2,4,10,11)*(1,2,8,10,13)=(-135,-36,12,28,143)$$

إنّ:

$$(-135)^2 + (-36)^2 + (12)^2 + (28)^2 = 20449$$
  
 $(143)^2 = 20449$ 

 $.(-135, -36, 12, 28, 143) \in PP_5$  وبالتّالي فإنّ:

# مبرهنة 2:

نقبل العمليّة \* في البنية الجبريّة  $(PP_5,*)$  عنصراً محايداً، هو (1,0,0,0,1). الأثبات:

نفرض وجود عنصر محايد يميني  $(e_1,e_2,e_3,e_4,e_5)$  للعمليّة \*، عندئذٍ يكون:

: فإنّ ،  $PP_{\scriptscriptstyle 5}\setminus \left\{ \left(0,0,0,0,0
ight)
ight\}$  من  $\left(a_{\scriptscriptstyle 1},a_{\scriptscriptstyle 2},a_{\scriptscriptstyle 3},a_{\scriptscriptstyle 4},a_{\scriptscriptstyle 5}
ight)$  فإنّ

$$(a_1,a_2,a_3,a_4,a_5)*(e_1,e_2,e_3,e_4,e_5)=(a_1,a_2,a_3,a_4,a_5)$$

وبالتّالي فإنّ:

$$a_{1}e_{1} - a_{2}e_{2} - a_{3}e_{3} - a_{4}e_{4} = a_{1}$$

$$a_{1}e_{2} + a_{2}e_{1} + a_{3}e_{4} - a_{4}e_{3} = a_{2}$$

$$a_{1}e_{3} + a_{3}e_{1} + a_{4}e_{2} - a_{2}e_{4} = a_{3}$$

$$a_{1}e_{4} + a_{4}e_{1} + a_{2}e_{3} - a_{3}e_{2} = a_{4}$$

$$a_{5}e_{5} = a_{5}$$
(1)

من العلاقة الأخيرة ينتج أنّ  $e_5=1$  ولأنّ  $(e_1,e_2,e_3,e_4,e_5)\in PP_5$  فإنّ إحدى الأعداد  $e_5=1$  الأربع المعادلات الأربع  $e_1,e_2,e_3,e_4$  يساوي 1 أو  $e_1$  والباقي أصفاراً. بالعودة إلى الجملة (1)، تُكتب المعادلات الأربع الأولى منها بالشّكل الآتى:

$$a_{1}e_{1} - a_{2}e_{2} - a_{3}e_{3} - a_{4}e_{4} = a_{1}$$

$$a_{2}e_{1} + a_{1}e_{2} - a_{4}e_{3} + a_{3}e_{4} = a_{2}$$

$$a_{3}e_{1} + a_{4}e_{2} + a_{1}e_{3} - a_{2}e_{4} = a_{3}$$

$$a_{4}e_{1} - a_{3}e_{2} + a_{2}e_{3} + a_{1}e_{4} = a_{4}$$

$$(2)$$

بنضريب الأولى ب $a_2$  والثالثة ب $a_3$  ونجمع المعادلتين الناتجتين، ثمّ نضريب الأولى ب $a_3$  والثالثة ب $a_4$  والثالثة ب $a_4$  ونجمع المعادلتين الناتجتين، وأخيراً نضريب الأولى ب $a_4$  والرابعة ب $a_4$  ونجمع المعادلتين الناتجتين، نحصل على:

$$-(a_1^2 + a_2^2)e_2 + (a_1a_4 - a_2a_3)e_3 - (a_1a_3 + a_2a_4)e_4 = 0$$

$$-(a_1a_4 + a_2a_3)e_2 - (a_1^2 + a_3^2)e_3 + (a_1a_2 - a_3a_4)e_4 = 0$$

$$(a_1a_3 - a_4a_2)e_2 - (a_1a_2 + a_3a_4)e_3 - (a_1^2 + a_4^2)e_4 = 0$$
(3)

الجملة (3) هي جملة متجانسة، وحيث أنّ اثنين من  $e_2, e_3, e_4$  على الأقل تساوي الصفر، فإنّ  $e_2 = e_3 = e_4 = 0$  بالتعويض في الجملة (2) نحصل على:

$$a_1e_1 = a_1$$
,  $a_2e_1 = a_2$ ,  $a_3e_1 = a_3$ ,  $a_4e_1 = a_4$ 

وهي تكافئ:  $e_1 = 1$ ، وعلى هذا يكون:

$$(e_1, e_2, e_3, e_4, e_5) = (1, 0, 0, 0, 1)$$

وبنفس الطريقة نستنتج أنّ: (1,0,0,0,1) محايد يساري للعمليّة \*.

# مبرهنة 3:

إِنَّ العمليَّة \* المعرّفة على البنية الجبريّة  $(PP_5,*)$  هي عمليّة تجميعيّة.

## الإثبات:

: نفرض أنّ نفرض  $(a_1,a_2,a_3,a_4,a_5),(b_1,b_2,b_3,b_4,b_5),(c_1,c_2,c_3,c_4,c_5) \in PP_5$  نيكن

$$(d_1, d_2, d_3, d_4, d_5) =$$

$$= (a_1, a_2, a_3, a_4, a_5) * [(b_1, b_2, b_3, b_4, b_5) * (c_1, c_2, c_3, c_4, c_5)]$$

عندئذِ يكون:

$$(d_1,d_2,d_3,d_4,d_5) = (a_1,a_2,a_3,a_4,a_5) *$$

$$(b_1c_1 - b_2c_2 - b_3c_3 - b_4c_4,b_1c_2 + b_2c_1 + b_3c_4 - b_4c_3,$$

$$b_1c_3 + b_3c_1 + b_4c_2 - b_2c_4,b_1c_4 + b_4c_1 + b_2c_3 - b_3c_2,b_5c_5)$$

وبالتالي:

$$d_1 = a_1 (b_1 c_1 - b_2 c_2 - b_3 c_3 - b_4 c_4) - a_2 (b_1 c_2 + b_2 c_1 + b_3 c_4 - b_4 c_3)$$
$$-a_3 (b_1 c_3 + b_3 c_1 + b_4 c_2 - b_2 c_4) - a_4 (b_1 c_4 + b_4 c_1 + b_2 c_3 - b_3 c_2)$$

و كذلك:

$$\begin{split} d_2 &= a_1 \left( b_1 c_2 + b_2 c_1 + b_3 c_4 - b_4 c_3 \right) + a_2 \left( b_1 c_1 - b_2 c_2 - b_3 c_3 - b_4 c_4 \right) + \\ &\quad + a_3 \left( b_1 c_4 + b_4 c_1 + b_2 c_3 - b_3 c_2 \right) - a_4 \left( b_1 c_3 + b_3 c_1 + b_4 c_2 - b_2 c_4 \right) \\ d_3 &= a_1 \left( b_1 c_3 + b_3 c_1 + b_4 c_2 - b_2 c_4 \right) + a_3 \left( b_1 c_1 - b_2 c_2 - b_3 c_3 - b_4 c_4 \right) + \\ &\quad + a_4 \left( b_1 c_2 + b_2 c_1 + b_3 c_4 - b_4 c_3 \right) - a_2 \left( b_1 c_4 + b_4 c_1 + b_2 c_3 - b_3 c_2 \right) \\ d_4 &= a_1 \left( b_1 c_4 + b_4 c_1 + b_2 c_3 - b_3 c_2 \right) + a_4 \left( b_1 c_1 - b_2 c_2 - b_3 c_3 - b_4 c_4 \right) + \\ &\quad + a_2 \left( b_1 c_3 + b_3 c_1 + b_4 c_2 - b_2 c_4 \right) - a_3 \left( b_1 c_2 + b_2 c_1 + b_3 c_4 - b_4 c_3 \right) \\ d_5 &= a_5 \left( b_5 c_5 \right) = a_5 b_5 c_5 \end{split}$$

الآن بفرض أنّ:

$$(f_1, f_2, f_3, f_4, f_5) =$$

$$= [(a_1, a_2, a_3, a_4, a_5) * (b_1, b_2, b_3, b_4, b_5)] * (c_1, c_2, c_3, c_4, c_5)$$

عندئذِ يكون:

$$(f_1, f_2, f_3, f_4, f_5) = (a_1b_1 - a_2b_2 - a_3b_3 - a_4b_4,$$

$$a_1b_2 + a_2b_1 + a_3b_4 - a_4b_3, a_1b_3 + a_3b_1 + a_4b_2 - a_2b_4,$$

$$a_1b_4 + a_4b_1 + a_2b_3 - a_3b_2, a_5b_5) * (c_1, c_2, c_3, c_4, c_5)$$

وبالتالي:

$$f_{1} = (a_{1}b_{1} - a_{2}b_{2} - a_{3}b_{3} - a_{4}b_{4})c_{1} - (a_{1}b_{2} + a_{2}b_{1} + a_{3}b_{4} - a_{4}b_{3})c_{2} - (a_{1}b_{3} + a_{3}b_{1} + a_{4}b_{2} - a_{2}b_{4})c_{3} - (a_{1}b_{4} + a_{4}b_{1} + a_{2}b_{3} - a_{3}b_{2})c_{4}$$

$$= a_{1}(b_{1}c_{1} - b_{2}c_{2} - b_{3}c_{3} - b_{4}c_{4}) - a_{2}(b_{2}c_{1} + b_{1}c_{2} - b_{4}c_{3} + b_{3}c_{4}) - (a_{1}b_{4} + a_{4}b_{1} + a_{2}b_{3} - a_{3}b_{2})c_{4}$$

$$= a_{1}(b_{1}c_{1} - b_{2}c_{2} - b_{3}c_{3} - b_{4}c_{4}) - a_{2}(b_{2}c_{1} + b_{1}c_{2} - b_{4}c_{3} + b_{3}c_{4}) - (a_{1}b_{2} + a_{2}b_{1} + a_{2}b_{3} - a_{3}b_{2})c_{4}$$

$$- a_{3}(b_{3}c_{1} + b_{1}c_{3} + b_{4}c_{2} - b_{2}c_{4}) - a_{4}(b_{4}c_{1} + b_{1}c_{4} - b_{3}c_{2} + b_{2}c_{3})$$

#### وبالمثل نجد:

$$f_{2} = a_{1}(b_{1}c_{2} + b_{2}c_{1} + b_{3}c_{4} - b_{4}c_{3}) + a_{2}(b_{1}c_{1} - b_{2}c_{2} - b_{3}c_{3} - b_{4}c_{4}) +$$

$$+ a_{3}(b_{1}c_{4} + b_{4}c_{1} + b_{2}c_{3} - b_{3}c_{2}) - a_{4}(b_{1}c_{3} + b_{3}c_{1} + b_{4}c_{2} - b_{2}c_{4})$$

$$f_{3} = a_{1}(b_{1}c_{3} + b_{3}c_{1} + b_{4}c_{2} - b_{2}c_{4}) + a_{3}(b_{1}c_{1} - b_{2}c_{2} - b_{3}c_{3} - b_{4}c_{4}) +$$

$$+ a_{4}(b_{1}c_{2} + b_{2}c_{1} + b_{3}c_{4} - b_{4}c_{3}) - a_{2}(b_{1}c_{4} + b_{4}c_{1} + b_{2}c_{3} - b_{3}c_{2})$$

$$f_{4} = a_{1}(b_{1}c_{4} + b_{4}c_{1} + b_{2}c_{3} - b_{3}c_{2}) + a_{4}(b_{1}c_{1} - b_{2}c_{2} - b_{3}c_{3} - b_{4}c_{4}) +$$

$$+ a_{2}(b_{1}c_{3} + b_{3}c_{1} + b_{4}c_{2} - b_{2}c_{4}) - a_{3}(b_{1}c_{2} + b_{2}c_{1} + b_{3}c_{4} - b_{4}c_{3})$$

$$f_{5} = (a_{5}b_{5})c_{5} = a_{5}b_{5}c_{5}$$

واضح أنّ:  $(d_1,d_2,d_3,d_4,d_5)=(f_1,f_2,f_3,f_4,f_5)$ ، وبالتّالي فإنّ العمليّة \* هي عمليّة تجميعيّة.

# مثال 3:

$$:(1,1,3,5,6),(1,1,1,1,2),(1,2,4,10,11) \in PP_5$$
 ليكن:

لدينا من جهة أولى:

$$[(1,1,3,5,6)*(1,1,1,1,2)]*(1,2,4,10,11) =$$

$$= (-8,0,8,4,12)*(1,2,4,10,11) =$$

$$= (-80,48,-16,-92,132)$$

# من جهة أخرى:

$$(1,1,3,5,6)*[(1,1,1,1,2)*(1,2,4,10,11)] =$$

$$= (1,1,3,5,6)*(-15,9,-3,13,22) =$$

$$= (-80,48,-16,-92,132)$$

# 4. المقترجات والتوصيات

قمنا في هذا البحث بتعريف عملية ثنائيّة \* على مجموعة الخماسيات الفيثاغوريّة  $PP_5$  وأوجدنا العنصر المحايد في البنية الجبرية  $(*, PP_5, *)$ ، وأثبتنا أنّ هذه البنية هي نصف زمرة.

لذلك يمكن متابعة العمل في هذه البنية كدراسة كونها زمرة أم لا، وإيجاد صيغة مقلوب خماسية فيثاغورية وفق العملية \*، وإيجاد الحالات الخاصة.

# 5. المراجع العلمية

- 1. Ernest J. Eckert, The Group of Primitive Pythagorean Triangles, Mathematics Magazine, 57 (Jan., 1984
- 2. P. Zanardo and U. Zannier, The group of pythagorean triples in number fields, Annali di Matematica pura ed applicata (IV), CLIX (1991)
- 3. Raymond A. Beauregard and E. R. Suryanarayan, Pythagorean Triples: The Hyperbolic View, The College Mathematics Journal, 27 (May, 1996)
- 4. Ant\_onio Machiavelo and Lu\_s Ro\_cadas, Some connections between the arithmetic and geometry of Lipschitz integers,( 2011)
- 5. John H. Conway and Derek Smith, On Quaternions and Octonions, AK Peters (2003)
- 6. J. B. Kuipers. Quaternions and Rotation Sequences. Princeton University Press, (1999).
- 7. S. L. Altmann. "Hamilton, Rodrigues, and the Quaternion Scandal," *Mathematics Magazine* 62(5), (December 1989).

# دراسة كيفية تحديد الفصائص الضوئية للمركبات الكيميائية كوانتياً: بعض مكونات مواد التجميل كأمثلة

أ.د. عدنان كودلا (\*)

#### ملخص البحث

تمّ في هذا العمل توضيح كيفية دراسة الخصائص الضوئية للمركبات الكيميائية كوانتياً عن طريق تطبيق ذلك على بعض مكونات التجميل. حيث تمّ اختيار مركبين من مكونات مواد التجميل أحدهما في أثناء تنفيذ الحسابات هو حمض الأكريليك (Acrylic acid) من أجل توضيح كيفية تنفيذ خطوات العمل والآخر في أثناء مناقشة الخصائص هو بروبيلين غليكول Propylene) من أجل توضيح كيفية مناقشة النتائج. أظهرت نتائج التطبيق:

- أن كلا المركبين يمتصان الأشعة فوق البنفسجية UVC ، حيث يبلغ طول موجة الامتصاص في حالة حمض الأكريليك (257.24 nm) وفي حالة بروبيلين غليكول (189.53 nm).
- يتأثر كلا المركبين بالضوء حيث يبلغ المردود الكوانتي بالنسبة لـ حمض الأكريليك (% 27) وبالنسبة لـ بروبيلين غليكول (% 49).
- يتمتع كلا المركبين بخاصية الفلورة، حيث يلاحظ تألق باللون البنفسجي في حالة حمض الأكريليك ويمتلك طيف الفلورة قمة وحيدة عند طول الموجة (404.54 nm)، كما يلاحظ تألق باللون البنفسجي في حالة بروبيلين غليكول وتظهر أيضاً قمة وحيدة في طيف الفلورة عند طول الموجة (437.37 nm).
- لا يتمتع أي من المركبين بخاصية الفسفرة لعدم إمكانية حدوث اقتران مدار -سبين المرتبط بحدوث تداخل بين السويات الاهتزازية في الحالتين الثلاثية والأحادية وهذا غير ممكن لكون

#### دراسة كيفية تحديد الخصائص الضوئية للمركبات الكيميانية كوانتياً: بعض مكونات مواد التجميل كأمثلة

طاقة العبور بين الأنظمة كبيرة جداً، حيث تبلغ (2.0203 eV) في حالة حمض الأكريليك بينما في حالة بروبيلين غليكول فتبلغ (2.5070 eV).

وللتأكد من مصداقية الخطوات المعتمدة ودقة الطريقة الكوانتية المستخدمة تمّ تحديد طيف الأشعة المرئية وفوق البنفسجية (UV-Vis Spectrum) وكذلك طيف الأشعة تحت الحمراء -Infra للمرئية وفوق البنفسجية حيث وجد توافق Red Spectrum لـ بروبيلين غليكول ومقارنتها مع الأطياف التجريبية المرجعية حيث وجد توافق جيد.

الكلمات المفتاحية: الكيمياء الكوانتية ، نظرية تابعية الكثافة ، خطوات العمل ، الخصائص الضوئية ، الفلورة ، الفسفرة ، مخطط جابلونسكى ، مواد التجميل ، حمض الأكريليك ، بروبيلين غليكول.

(\*) أستاذ في قسم الكيمياء-كلية العلوم-جامعة حمص-حمص، سورية

# A study on how to determine the optical properties of chemical compounds by quantum-chemistry: Some cosmetic ingredients as examples

Prof. Dr. Adnan Kodlaa (\*)

#### **Abstract**

In this work, it was demonstrated how to study the optical properties of chemical compounds quantitatively by applying this to some cosmetic ingredients. Two components of cosmetics were chosen, one of which was acrylic acid during the calculations, in order to clarify how to implement the working steps, and the other, during the discussion of properties, was propylene glycol, in order to clarify how to discuss the results. Application results showed:

- Both compounds are affected by light, as the quantum yield for acrylic acid is (27%) and for propylene glycol (49%).
- Both compounds have the property of florescence, as violet photoluminescence is observed in the case of acrylic acid at the wavelength (404.54 nm), too violet photoluminescence is observed in the case of propylene glycol at the wavelength (437.37 nm).
- Neither compound has the property of phosphorescence because it is not possible for spin-orbit coupling to occur associated with interference between the vibrational levels in the triple and single states. This is not possible because the crossing energy between the systems is very large, reaching (1.5556 eV) in the case of acrylic acid while in the case of propylene glycol it reaches (2.4070 eV).

To ensure the reliability of the steps adopted and the accuracy of the quantum method used, the visible-ultraviolet spectrum (UV-Vis spectrum) as well as the infra-red spectrum (IR-spectrum) of propylene glycol were

#### دراسة كيفية تحديد الخصائص الضوئية للمركبات الكيميانية كوانتياً: بعض مكونات مواد التجميل كأمثلة

determined and compared with the returned experimental spectra, where good agreement was found.

**Keywords:** Quantum chemistry, density functional theory, working steps, optical properties fluorescence, phosphorescence, Jablonsky diagram, cosmetics, acrylic acid, propylene glycol.

(\*) Department of chemistry-Faculty of sciences - Albaath university-Homs, Syria

#### I المقدمة (Introduction):

#### -1-I تمهيد (Preface)

لعبت الكيمياء الضوئية دوراً كبيراً ومهماً في الصناعات بمختلف أنواعها ومنها صناعة العقاقير والمستحضرات الصيدلانية وصناعة مستحضرات التجميل، إذ تُعد مستحضرات التجميل إحدى أهم تطبيقات الكيمياء التي تستخدم في الحياة اليومية، حيث تحتوي على مواد طبيعية ومواد كيميائية وتُعد المواد الكيميائية هي المواد الأكثر شيوعاً واستخداماً. فهناك الألاف من منتجات التجميل المختلفة في الأسواق وكلها تحتوي على مجموعات مختلفة من المكونات، يحتوي المكون الواحد مابقارب (15-10) مادة.

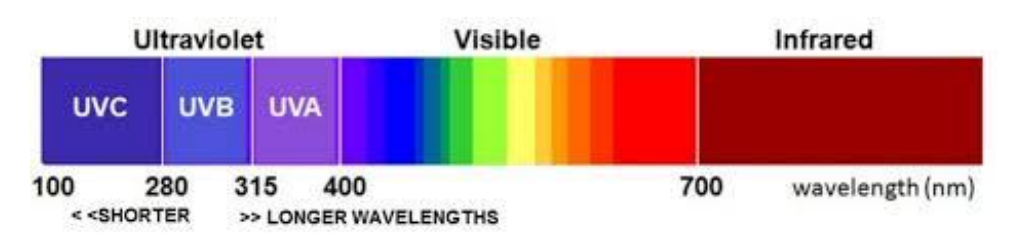
يُسمى التفاعل الناتج عن امتصاص الطاقة على شكل ضوء بالتفاعل الكيميائي الضوئي حيث أن نتيجة امتصاص الجزيئات للضوء تُخلق حالات مُثارة انتقالية تختلف خصائصها الفيزيائية والكيميائية بشكل كبير عن الجزيئات الأصلية. ولفهم آلية تأثير الضوء على خصائص المركبات الكيميائية كان لابد من تطوير طريقة تسمح بدراسة هذه التأثيرات على المستوى الجزيئي.

# 2−I مفاهيم أساسية (Basic concepts):

## -1-2-I تعاریف (Definitions):

• الضوع: عبارة عن أمواج كهرومغناطيسية (كهرطيسية) لأنها نتشأ عن تداخل الحقلين الكهربائي والمغناطيسي المتعامدين معاً [1]. يتم استخدام تعبير "الضوء" للإشارة إلى الإشعاع الكهرومغناطيسي القادر على التسبب في الإثارة الإلكترونية أو التخميد الإلكتروني للجزيئات، وهو يتضمن جزء من الطيف الكهرومغناطيسي ضمن المجال 1000-1000)

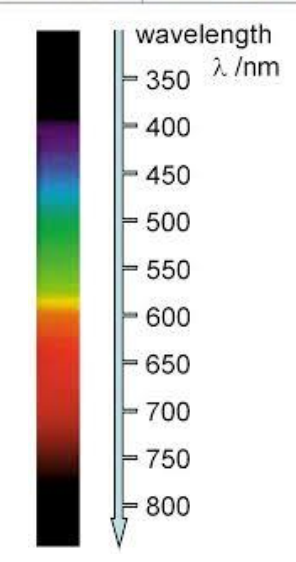
(nm الأشعة تحت الحمراء. كما هو موضح في الشكل (1). ويبين الجدول (1) أطوال أمواج الضوء المرئي.



الشكل (1): المجال المرئي وفوق البنفسجي في الطيف

الجدول (1): أطوال أمواج الضوء المرئي (Wavelengths of visible Light).

Color	Wavelength (nm)	Frequency (THz)	Photon energy (eV)
violet	380-450	670-790	2.75-3.26
blue	450-485	620-670	2.56-2.75
cyan	485-500	600-620	2.48-2.56
green	500-565	530-600	2.19-2.48
yellow	565-590	510-530	2.10-2.19
orange	590-625	480-510	1.98-2.10
red	625-750	400-480	1.65-1.98



• الكيمياء الضوئية: هي فرع من الكيمياء تهتم بالآثار الكيميائية للضوء (التفاعلات والتماكب والسلوك الفيزيائي التي تحدث تحت تأثير الضوء). عموماً يُستخدم هذا المصطلح لوصف التفاعلات الكيميائية الناتجة عن امتصاص الأشعة فوق البنفسجية التي تتراوح أطوال أمواجها (100-400 nm) والتي تقسم إلى ثلاثة مناطق (UVC [100-280] , UVB [280-315] و الضوء المرئي

# سلسلة العلوم الأساسية أد. عدنان كودلا

الذي تتراوح أطوال أمواجه (mm 750-400) أو الأشعة تحت الحمراء التي تتراوح أطوال أمواجها (750-2500 nm).

التفاعل الكيميائي الضوئي: هو تفاعل ناتج عن امتصاص الطاقة على شكل ضوء؛ حيث نتيجة امتصاص الجزيئات للضوء تُخلق حالات مثارة انتقالية تختلف خصائصها الفيزيائية والكيميائية بشكل كبير عن الجزيئات الأصلية. إن استخدام الضوء لتحفيز التفاعلات الكيميائية هي واحدة من أكثر الطرائق فعالية وانتقائية؛ حيث عندما تمتص جزيئة ما فوتوناً ضوئياً، تتغير بنيتها الالكترونية، وتتفاعل بشكل مختلف مع الجزيئات الأخرى. إن الطاقة التي تمتصها الجزيئة نتيجة تعرضها للضوء تسبب تغيرات ضوئية في الجزيئة، أو في جزيئة مجاورة (على سبيل المثال، حساسية ضوئية). إن الفائض من الطاقة يُمكن أن يُعطى في صورة حرارة، (مثال ذلك الاسترخاءات الاهتزازية) أو ضوء أخفض طاقياً (مثال ذلك الفلورة أو الفسفرة) من أجل عودة الجزيئة إلى الحالة الأساسية. إذ ترتبط الطاقة الزائدة للحالات المثارة إلكترونياً في معظم الأحيان ببنية إلكترونية مختلفة تماماً عن الحالة الأساسية. قد يؤدي هذا إلى تفاعل مختلف نوعياً. كما يمكن اعتبار الجزيئات المثارة إلكترونياً أنواع كيميائية جديدة تماماً ولها خصائص تفاعلية خاصة بها وتختلف عن الحالة الأساسية [13].

# • أنواع التفاعلات الكيميائية التي يسببها الضوء:

- التفكك الضوئي Photodissociation التفكك الضوئي
  - التحلق الضوئي Photocycloaddition
  - التماكب الضوئي Photoisomerization
  - البلمرة الضوئية Photopolymerization
    - إعادة الترتيب Photorearrangements
      - تفاعلات الاضافة Photo addition
      - تفاعلات التبادل Photosubstitution
        - الاكسدة الضوئية Photooxidation
        - الارجاع الضوئي Photoreduction

- التمثيل الضوئي في النبات.

# 2-2-I القوانين الأساسية في الكيمياء الضوئية

:(The basic Laws in Photochemistry)

هناك عدة مبادئ أساسية لفهم التحولات الكيمياضوئية والمتمثلة بالقوانين الآتية:

• قاتون ماكس بلانك (Max Plank Law) أيا: إن أية جملة (ذرة ، جزيئة، ...) لا يمكنها أن تمتص أو تصدر الطاقة (الضوء) بشكل عشوائي، وإنما فقط على شكل مقادير هي من مضاعفات طاقة أساسية (٤) تُسمى الكوانتوم أو الفوتون وتتناسب هذه الطاقة طرداً مع تواتر الاشعاع.

$$(n=1,2,...) E_n = n \varepsilon = n h \nu = n h c \overline{\nu} = n \frac{h c}{\lambda}$$

$$= \frac{h c}{\lambda}$$

.(  $h = 6.626 \times 10^{-34} \text{ J.s}$  ) وقيمته :  $\mathbf{h}$ 

. (c=  $3 \times 10^{10} \ cm.s^{-1}$ ) (سرعة الضوء (سرعة النشار الإشعاع (سرعة الضوء) . c

تواتر الإشعاع ،  $\overline{oldsymbol{
u}}$ : العدد الموجي ،  $\lambda$  : طول موجة الإشعاع.

- قانون غروتهاس دراير (Grotthuss-Draper): حتى يحدث التفاعل الكيمياضوئي يجب امتصاص الضوء. فإذا كان طول موجة الضوء مختلف عن طول الموجة التي تمتصها الجزيئة لا يحصل تفاعل كيميائي ولا يكون له تأثير بيولوجي مهما طال زمن إشعاع الضوء مختلف طول الموجة.
- قانون ستارك-آينشتاين (Stark-Einstein) المتفاعلة يتم تتشيط جزيئة واحدة فقط من أجل التفاعل اللاحق (ويُسمى بقانون التكافؤ الضوئي؛ حيث تمّ اشتقاقه من قبل ألبيرت آينشتاين (Albert Einstein) في أثناء تطويره للنظرية الكوانتية للضوء). هذا القانون صحيح بالنسبة لشدة الضوء العادي، أما بالنسبة لأشعة الليزر ذات الطاقة العالية يمكن لفوتونين أن يحدثا تفاعل، مثلا يتم إثارة الجزيئة

## سلسلة العلوم الأساسية أ.د. عدنان كودلأ

إلى حالة طاقية أعلى من التي يسببها امتصاص فوتون واحد. وفي مثل هذه الحالة يُمكن أن تكون طاقة الفوتون الصادر أكبر من طاقة الفوتون الممتص.

• قانون بيير – لامبيرت (Beer-Lambert) [7]: إذا سقطت حزمة من الأشعة فوق البنفسجية أو الضوء المرئي (UV-Vis) على محلول مادة كيميائية، فإن جزء منها [1] ( يُمتص والجزء الآخر ( It ) ينفذ وتكون شدة الأشعة النافذة دوماً أقل من شدة الأشعة الواردة ( Io ) . حيث وجد العالم بيير أن الامتصاصية ( A ) تتناسب طرداً مع التركيز ) ( C )، كما وجد لامبيرت أن الامتصاصية تتناسب طرداً مع طول المسار الضوئي داخل المحلول ( L ) . وترتبط الأشعة النافذة بالواردة بالعلاقة الآتية:

$$A = \log(\frac{I_0}{I_t}) = \varepsilon C L$$

حيث ٤ : معامل الامتصاص الجزيئي واحدته (Lit . mol-1. cm-1)

• المردود الكوانتي (Quantum-Yield) أن يُستخدم هذا المصطلح للتعبير عن فعالية التفاعل الكيمياضوئي، أي مدى استغلاله للطاقة الممتصة. حيث يُعرّف المردود الكوانتي لعملية كيمياضوئية أو فيزياضوئية بنسبة عدد الجزيئات المتفاعلة أو المتشكلة في زمن معين إلى عدد الفوتونات الممتصة خلال نفس الزمن ويُرمز له بـ (Ф) ويُعطى بالعلاقة الآتية :

$$\Phi = \frac{N_A \times n}{I_A \times t}$$

حيث

الثانية) عدد المولات ،  $I_a$  :  $I_a$ 

# • مراحل التفاعل الكيميائي الضوئي:

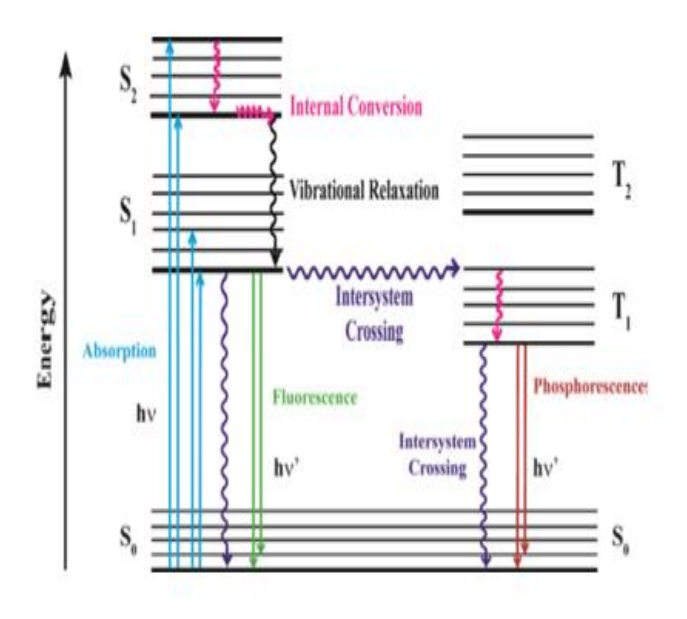
تحدث معظم التفاعلات الكيميائية الضوئية في ثلاث مراحل [8]:

- 1. امتصاص الضوء (الإشعاع الكهرومغناطيسي) لإنتاج الحالات الإلكترونية المثارة.
  - 2. التفاعلات الكيمياضوئية الأولية المتضمنة على الحالات الإلكترونية المثارة.

3. تحول نواتج التفاعل الكيمياضوئي لمنتجات مستقرة.

# 3-2-I مخطط جابلونسكي (Jablonski Diagram)

يُستخدم مخطط جابلونسكي لتصوّر العمليات الفيزياضوئية الممكنة لجزيئة مُثارة في المحلول: المتصاص الفوتون التحول الداخلي ، الفلورة ، العبور بين الأنظمة ، الفسفرة ، تخميد الفلورة والانتقالات بين الحالات الثلاثية. ويُشار إلى الحالات (المستويات) الإلكترونية الأحادية  $S_0$  (الحالة الإلكترونية الأساسية)  $S_1$  ،  $S_2$  ،  $S_3$  ، . . (الحالات المُثارة) وإلى الحالات الثلاثية المُثارة  $S_1$  ،  $S_2$  ، . . والسويات الاهتزازية ضمن كل حالة  $S_1$  ،  $S_2$  ، . . . . . . . . . .



الشكل (1): مخطط جابلونسكي

• الامتصاص أو الإثارة (Absorption or Excitation):

عندما تتعرض جزيئة ما لضوء مناسب تمتص الطاقة وتنتقل إلى الحالة المثارة نتيجة الانتقالات بين المستوي الإلكتروني الأساسي ( $S_0$ ) والمستويات الإلكترونية المثارة في المستويات الاهتزازية ضمن هذه المستويات الإلكترونية ( $S_0$ ,  $S_1$ ,  $S_2$ ,  $S_3$ ).

## • التحول الداخلي (Internal Conversion):

هو انتقال غير إشعاعي بين مستويين إلكترونيين من نفس التعددية (أي لهما نفس مضروب السبين) في المحلول، ويتبع هذه العملية استرخاء نحو السوية الاهتزازية الأخفض من الحالة الإلكترونية الأخيرة. تتتقل الطاقة الاهتزازية الزائدة إلى المذيب خلال اصطدام الجزيئة المثارة مع جزيئات المذيب المحيطة بها. إن التحول الداخلي من  $S_1$  إلى  $S_2$  ممكن ولكن أقل كفاءة من التحول  $S_1$  إلى  $S_2$  إلى أن فجوة الطاقة بين  $S_1$  و  $S_2$  أكبر بكثير. لذلك فالتحول الداخلي من  $S_1$  إلى  $S_2$  يُمكن أن يتنافس مع الفلّورة والعبور بين الأنظمة.

## • الفلورة (Fluorescence):

هي انبعاث الفوتونات المرافقة للاسترخاء  $(S_0 \to S_0)$ ، أي المرافقة للاسترخاء من المستوي الإلكتروني المثار الأول إلى المستوي الإلكتروني الأساسي أو إلى السويات الاهتزازية ضمن هذا المستوي. إن الانتقال 0-0 هو نفسه بالنسبة للامتصاص والفلورة. لكن يقع طيف الفلورة عند أطوال موجية أعلى (طاقة أخفض) من طيف الامتصاص بسبب فقدان الطاقة في الحالة المثارة العائد للاسترخاءات الاهتزازية. وينبغي التأكيد على أنه وبصرف النظر عن بعض الاستثناءات القليلة، يحدث انبعاث الفلورة من  $S_1$ ، وبالتالي خصائصه (باستثناء الاستقطاب) لا تعتمد على طول موجة الإثارة. وفقا لقاعدة ستوكس، يجب أن يكون طول موجة اصدار الفلورة دائما أكبر من طول موجة الامتصاص ومع ذلك في معظم الحالات يحصل تداخل جزئي بين طيف الامتصاص والفلورة.

# • العبور بين الأنظمة InterSystem Crossing) ISC!

هو انتقال غير اشعاعي بين سويتين اهتزازيتين تنتمي لحالات إلكترونية مختلفة التعددية. على سبيل المثال، جزيئة مثارة في السوية الاهتزازية 0 في الحالة المثارة  $S_1$  يُمكن أن تنتقل إلى

# دراسة كيفية تحديد الخصائص الضوئية للمركبات الكيميانية كوانتياً: بعض مكونات مواد التجميل كأمثلة

سوية اهتزازية في الحالة المثارة T الثلاثية وهنا يغير السبين اتجاهه ويكون للإلكترونين نفس السبين، ويكون العبور بين الأنظمة أسرع من عمليات المنافسة الأخرى (التحول الداخلي والفلّورة  $S_0 \rightarrow S_0$ ). إن العبور بين الأنظمة لتعدديات مختلفة من حيث المبدأ ممنوع، ولكن الاقتران مدار – سبين (مثلا: العزم المغناطيسي المداري والعزم المغناطيسي السبيني) يُمكن أن يكون كبير كفاية لجعل ذلك مُمكن. إن احتمال العبور بين الأنظمة يعتمد على الحالات الأحادية والثلاثية الممكنة. وإذا كان الانتقال  $S_0 \rightarrow S_0$ ) من النمط  $S_0 \rightarrow S_0$  فإن العبور يكون فعال غالباً. كما تجدر الإشارة إلى أن وجود الذرات الثقيلة (مثل: البروم، والرصاص) يزيد الاقتران سبين – مدار وهذا يزيد احتمال العبور بين الأنظمة.

## • الفسفرة (Phosphorescence):

هي انبعاث الفوتونات المرافقة للاسترخاء  $(T_1 \to S_0)$ ، أي الانتقال من أدنى حالة ثلاثية متوازنة حرارياً الى الحالة الأساسية  $S_0$ . تحدث الفسفرة عند أطوال موجية أطول من الفلورة. لأن الحالة  $T_1$  أخفض طاقياً من الحالة  $S_1$ .

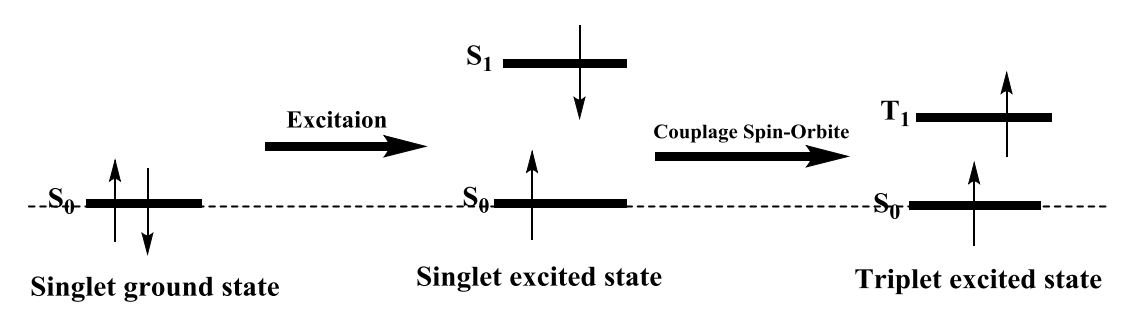
إن الانتقال ( $S_0 \to T_1$ ) ممنوع في المحلول عند درجة حرارة الغرفة (ولكن يمكن ملاحظته بسبب النزاوج مدار – سبين)، وثابت معدل الإشعاع منخفض جداً. وبالتالي هذه العملية بطيئة وبسبب التصادمات مع جزيئات المذيب تكون عملية العبور بين الأنظمة والاسترخاء الاهتزازي أفضل من الفسفرة. وعلى العكس من ذلك يُمكن ملاحظة عملية الفسفرة في درجات حرارة منخفضة و/أو في الاوساط الصلبة ومراقبتها على مقياس زمني حيث تصل إلى ثوان، دقائق أو أكثر، لأن عمر الحالة الثلاثية تكون طويلة بما فيه الكفاية في هذه الظروف. ويقع طيف الفسفرة عند أطوال موجية أعلى من طيف الفلورة لأن طاقة الحالة الثلاثية أخفض من طاقة الحالة المثارة الأحادية.

# • تخميد الفلُورة (Fluorescent Damping)

يُمكن تخفيض كثافة الفلورة عن طريق مجموعة متنوعة واسعة من العمليات. وتُسمى هذه الانخفاضات تخميد. يحدث التخميد الفعال عندما تتصادم الجزيئات المثارة مع جزيئات أخرى في المحلول التي تدعى مخمد. حيث يتم إرجاع الجزيئة المثارة الى الحالة الأساسية ولا تتغير

الجزيئات كيميائياً في هذه العملية (يوصف الانخفاض في الكثافة بمعادلة ستيرن – فولمر المعروفة). هناك مجموعة واسعة من الجزيئات التي يُمكن أن تكون بمثابة مخمد مثال ذلك: الأكسجين ، الهالوجينات ، الأمينات ، الجزيئات التي تعاني من نقص الإلكترون مثل مادة الأكريلاميد. إن آلية التخميد تختلف باختلاف الزوج (مخمد – جزيئة مثارة). ويحدث التخميد بوساطة الهالوجينات والذرات الثقيلة بسبب الاقتران مدار – سبين والعبور إلى الحالة الثلاثية.

# توضيح الاقتران مدار – سبين والعبور إلى الحالة الثلاثية:



يُعد العبور بين الأنظمة (ISC) عملية بدون إشعاعات تنطوي على انتقال بين حالتين الكترونيتين مختلفتين بمضروب السبين.

يُمكن للإلكترونات المُثارة أن تخضع لمرحلة العبور بين الأنظمة لخلق حالة متدنية ذات مضروب سبين مختلف. عندما يتم تحفيز إلكترون في جزيئة بحالته الأساسية (عن طريق امتصاص الإشعاع) إلى مستوى طاقة أعلى، ستشكل إما حالة مُثارة أحادية أو حالة مُثارة ثلاثية. إن الحالة الأحادية هي حالة إلكترونية جزيئية بحيث تكون سبينات جميع الإلكترونات متزاوجة. وهذا يعني أن سبين الإلكترون المُثار لا يزال متزاوجاً بإلكترون الحالة الأساسية (يجب على زوج من الإلكترونات في نفس مستوى الطاقة أن يكون لهما سبينات متعاكسة، وفقًا لمبدأ استبعاد باولي). في الحالة الثلاثية، لم يعد الإلكترون المُثار متزاوجاً مع إلكترون الحالة الأساسية؛ أي أنها متوازية (لهما نفس الاتجاه). بما أن الإثارة إلى الحالة الثلاثية تنطوي على انتقال إضافي "ممنوع"، فمن غير المحتمل أن تتشكل حالة ثلاثية عندما تمتص الجزيئة الإشعاع. عندما يتم العبور غير المشع من الحالة الأحادية إلى الحالة الثلاثية، أو من الحالة

#### دراسة كيفية تحديد الخصائص الضوئية للمركبات الكيميائية كوانتياً: بعض مكونات مواد التجميل كأمثلة

الثلاثية إلى الحالة الأساسية، تُعرف هذه العملية باسم العبور بين الأنظمة. في جوهرها، يتم عكس اتجاه سبين الإلكترون المُثار. إن احتمال حدوث هذه العملية يكون أكثر ملاءمة عندما تتداخل السويات الاهتزازية بين الحالتين المُثارتين، حيث يجب أن تكون كمية الطاقة المكتسبة أو الضائعة قليلة أو معدومة. بما أن التأثيرات السبينية – المدارية في مثل هذه الجزيئات تكون كبيرة، وبالتالي يكون التغيير في السبين أكثر تفضيلاً، يكون العبور بين الأنظمة الأكثر شيوعاً في جزيئات الذرات الثقيلة (على سبيل المثال تلك التي تحتوي على اليود أو البروم). تُسمى هذه العملية "اقتران مدار –سبين". ببساطة يحصل تزاوج السبين الإلكتروني مع العزم الزاوي المداري لمدارات غير دائرية. بالإضافة إلى ذلك، فإن وجود المواد البارامغناطيسية في المحلول يعزز العبور بين الأنظمة . ويعرف الانتقال الإشعاعي نتيجة عودة الإلكترون من الحالة الثلاثية المُثارة إلى الحالة الأحادية باسم الفسفرة. ونظراً لحدوث انتقال في مضروب السبين، فإن الفسفرة هو مظهر من مظاهر العبور بين الأنظمة. النطاق الزمني للعبور بين الأنظمة من

 $10^{-8}$  إلى  $10^{-3}$  ثوانِ، أحد أبطأ أشكال الاسترخاء.

# • نورد في الجدول الآتي الزمن التقريبي للتحولات في مخطط جابلونسكي:

الزمن بالثواني	الانتقال	اسم العملية
فور <i>ي</i> ) 10 <sup>-15</sup>	$S_0 \longrightarrow S_n$	امتصاص الضوء (الإثارة)
10 <sup>-14</sup> to 10 <sup>-11</sup>	$S_n \longrightarrow S_1$	التحوّل الداخلي
10 <sup>-12</sup> to 10 <sup>-10</sup>	$(S_n)^* \longrightarrow S_n$	الاسترخاء الاهتزازي
10 <sup>-11</sup> to 10 <sup>-6</sup>	$S_1 \longrightarrow T_1$	العبور بين الأنظمة
10 <sup>-9</sup> to 10 <sup>-6</sup>	$S_1 \longrightarrow S_0$	الفآورة
10 <sup>-3</sup> to 100	$T_1 \longrightarrow S_0$	الفسفرة
10 <sup>-7</sup> to 10 <sup>-5</sup>	$S_1 \longrightarrow S_0$	التلاشي غير الإشعاعي (**)
<b>10</b> -3 <b>to 10</b> 0	$T_1 \longrightarrow S_0$	اللكرسي غير الإسعاعي (١٠)

# سلسلة العلوم الأساسية أد. عدنان كودلأ

توضيح (\*\*): يُمكن أن يحدث التلاشي غير الإشعاعي عن طريق نقل الطاقة الداخلية للجزيئة المُثارة إلى جزيئة أخرى مختلفة. تُسمى هذه العملية بالتخامد فيما يخص الجزيئات المُثارة، أو الحساسية فيما يخص الحالات المُثارة التي تم إنشاؤها حديثًا. يحدث التحسس الكيميائي الضوئي عادة بوساطة تفاعل  $T1 + S0 \rightarrow S0 + T1$  ، حيث التحوّل الأحمر هو للمحسس الضوئي والأسود للمخمد الضوئي. قد تخضع الحالة المثارة الثلاثية الجديدة بعد ذلك لردود الفعل المميزة الخاصة بها.

يُمكن توضيح عملية امتصاص الإشعاع الكهرطيسي من قبل الجزيئة وإعادة إصداره بعمليتي الفلورة والفسفرة كما يأتي:

- نتيجة امتصاص الجزيئة للضوء تنتقل من الحالة الأساسية (Ground state) إلى إحدى الحالات المثارة الأحادية (Singlet excited states)، مثلاً الحالة المثارة الأحادية الأولى:

$${}^{1}T_{1u} \leftarrow {}^{1}A_{g} \quad (S_{0} \rightarrow S_{1})$$

- تتنقل الجزيئة المثارة إلى حالتها الأساسية مصدرة ضوء مرئي للعين ويُسمى بالفلّورة:

$$^{1}T_{2g} \rightarrow ^{1}A_{g}$$
  $(\mathbf{S_{1}} \rightarrow \mathbf{S_{0}})$ 

- أما الفسفرة فهي عملية إصدار الضوء المرئي ببطء شديد:

$$^3T_{2g} \rightarrow {}^1A_g$$
  $(\mathbf{T_1} \rightarrow \mathbf{S_0})$ 

# II- الطريقة الكوانتية وخطوات العمل (Quantum method and working steps):

## II-1- الطريقة الكوانتية (Quantum method):

تمّ في هذا العمل استخدام طريقة DFT/B3LYP ؛ حيث تمكّن كل من بيكي تمكّن كل من بيكي و يانغ و بار (C. Lee , W. Yang and R.G. Parr) و لي و يانغ و بار (A.D. <u>B</u>ecke)

# دراسة كيفية تحديد الخصائص الضوئية للمركبات الكيميائية كوانتياً: بعض مكونات مواد التجميل كأمثلة

على نظرية تابعية الكثافة المستقلة DFT الزمن تعديلات إدخال عن المتعلقة TD-DFT بالزمن و كذلك (Density Functional (Time-Dependent Density Functional Theory) التي سمحت بحل معادلات شرودينغر وتطبيقها على الذرات والجزيئات والمركبات المختلفة من خلال استخدام المجموعة القاعدية المناسبة، والمجموعة القاعدية هي مجموعة من التوابع الرياضية التي تُستخدم للمساعدة في حل معادلات شرودينغر من أجل الجمل التي تمتلك أكثر من إلكترون. إن المجموعة القاعدية المستخدمة هنا هي (6-311+g(d,p)) حيث تُمثل (6-311G) االمجموعة التكافؤية التي تعتمد على فصل المدارت التكافؤية عن المدارات الداخلية (split-valence)، وتُشير (d,p) إلى أنه تمّ الأخذ بعين الاعتبار استقطاب المدارات واشارة الزائد (+) تعنى توسيع المجموعة القاعدية لتشمل توابع الانتشار. وهنا لابد من التأكيد على أن دراسات عديدة قد أثبتت أن تطبيق طريقة DFT/B3LYP المستقلة عن الزمن وكذلك طريقة TD-DFT/B3LYP المتعلقة بالزمن [13-20] باستخدام مجموعات قاعدية مختلفة سواء في الطور الغازي (جزيئات معزولة) أو الطور المكثف (بوجود مذيب) مع نموذج **SMD** الضمني المذيبات (the Salvation Model based on Density)، على جملة ما (ذرة ، جزيئة ، أيون،... الخ) قد أعطى نتائج عالية الدقة، كما أنها تسمح بحساب الخصائص البنيوية والإلكترونية والترموديناميكية والطيفية والضوئية والبيولوجية والدوائية...الخ للجمل المدروسة، ويؤخذ عليها أنها مكلفة (لكون زمن

يتم هنا حل معادلات شرودينغر باستخدام طريق قصيات GaussianO3 وأجل الذرات الدرات الدرات الدرات الدرات الدرات المدروجين والكربون والنتروجين والأكسجين و ...الخ) وكذلك من أجل الجزيئات المدروسة المكونة من بعض أو كل الذرات السابقة. من أجل ذلك لابد من إدخال المعاملات الخاصة بالذرة والمركب المدروس عبر واجهات بيانية صنعمت لعمل برامج غاوصيان ( , Gaussian 09W ) وهي أو المركب المدروس عبر واجهات بيانية صنعمت لعمل برامج غاوصيان ( , Gaussian 09W ) وهي عبارة عن برامج مستقلة. الأمسر الذي يسهل العمل كثيراً ويجعله أكثر دقة ويقلل من الأخطاء المحتملة في أثناء إدخال المعاملات وخاصة تلك المتعلقة بمعاملات الهندسة الفراغية (إحداثيات

الحسابات طويل جداً) بالمقارنة مع غيرها من الطرائق وخاصة الطرائق نصف الاختبارية.

تموضع الذرات داخل المركب بتابعية المسافات والزوايا بالنسبة لجملة إحداثيات فراغية). فمثلاً في حالة الذرات يكفي أن نرسم الكرة التي تمثل الذرة في شاشة الواجهة وفي حالة المركبات أن نرسم المركب باستخدام هذه الواجهة أو أحد برامج الرسم الكيميائية (ChemSketch11) أو ChemBioDraw14

ChemBio3D Ultra 14 أو ...) ومن ثم ننسخه ونلصقه على شاشة الواجهة وبذلك نكون قد أدخلنا رموز الذرات المختلفة وعدد الإلكترونات في كل منها إضافةً إلى إحداثيات الذرات المختلفة داخل المركب وكذلك التعدد السبيني (مضروب السبين) داخل المركب وكذلك الذي يُحسب من العلاقة الآتية:

$$SM = 2S + 1 \tag{1}$$

حيث S يمثل العدد الكوانتي السبيني الكلي للجملة المدروسة (ذرة ، جزيئة ، أيون ، ... الخ) وبحسب من العلاقة:

$$S = k s \tag{2}$$

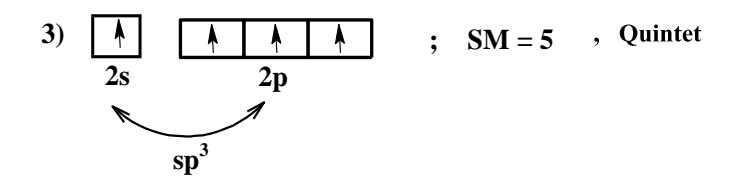
حيث يمثل s العدد الكوانتي السبيني للإلكترون وقيمته دائماً ( $s=\frac{1}{2}$ ) و k يمثل عدد الإلكترونات الفردية (العازبة) في الجملة المدروسة.

فمثلاً لذرة الكربون ذات التركيب الإلكتروني:

$$C(Z=6): 1s^2 2s^2 2p^2$$

ثلاث قيم لـ SM تبعاً لحالات الذرة وهي:

$$\begin{array}{c|c} \mathbf{2} & & & \\ & \mathbf{5} & & \\ & \mathbf{2} & & \\ & & &$$



#### دراسة كيفية تحديد الخصائص الضوئية للمركبات الكيميانية كوانتياً: بعض مكونات مواد التجميل كأمثلة

والحالة الأكثر استقراراً هي الحالة الثلاثية، أي الموافقة للقيمة (SM = 3).

#### :(Working steps) خطوات العمل -2-II

لتوضيح كيفية تطبيق خطوات العمل نأخذ كمثال أحد مكونات مواد التجميل: حمض الأكريليك (Acrylic acid)، يُسمى أيضاً (2-propenoic acid) وهو مركب عضوي صيغته الجزيئية (المجملة) (C<sub>3</sub>H<sub>4</sub>O<sub>2</sub>) يستخدم لتعليق الأصباغ في مستحضرات التجميل أو منتجات الشمس كما يقوم بتثبيت المستحلبات مثل الكريمات أو المستحضرات، صيغته البنائية:

1-2-II تحديد طاقتي الامتصاص والإصدار بالفلورة (إثارة الجزيئات من الحالة الأساسية إلى الحالات المُثارة الأحادية):

# أولاً- خطوات العمل:

ملاحظة عامة: منعاً للالتباس يتم رسم البنية الفراغية الافتراضية للمركب المدروس بوساطة إحدى الواجهات البيانية (Chembiooffice أو GausView أو ...الخ) وحفظه باسم ما (ويفضل أن يكون الملف باسم المركب وليكن (M) كملف من نوع (mol) ضمن مجلد ما (ويفضل أن يكون المجلد باسم المركب) على قرص ما وليكن القرص D.

الخطوة الأولى: إيجاد البنية الهندسية الفُضلى في الحالة الأساسية Ground State) GS) وكذلك طيف الأشعة تحت الحمراء Infra-Red Spectrum) IR) للجزيئة M:

- يجب أن يبدو ملف الإدخال كما يأتى:

%chk=D:\ 1-M.chk

# opt freq=noraman b3lyp/6-311+g(d,p) scrf=(smd,solvent=Solvent-name)

geom=connectivity

M: Opt + IR in Ground State

0 1

-----

يجب أن يظهر الإخراج كما يأتي:

SCF Done:  $E(RB3LYP) = \dots$  a.u. after .... cycles وهي الطاقة الكلية الإلكترونية للمركب في الحالة الأساسية (أي  $(E_1)$ ). يجب تسجيل هذه القيمة لأنها سوف تُستخدم في حساب طاقة الامتصاص.

- وفي الفراغ أو الحالة الغازية (أي بدون مذيب) يجب أن يكون سجل الكلمات المفتاحية كما يأتي:

# opt freq=noraman b3lyp/6-311+g(d,p) geom=connectivity

.TD-DFT الخطوة الثانية: إثارة الجزيئة من الحالة الأساسية إلى الحالة المثارة باستخدام

- ملاحظة: قبل الانتقال إلى الخطوة الثانية يتم نسخ الملف (1-M.chk) باسم جديد (2- M.chk) من طريق واجهة Gauss View يُعدّل ثمّ يُحفظ باسم (2-M)، ثمّ يُفتح الملف من النوع (mol) عن طريق واجهة Saving Gaussian Input File) عليها خيارين يتم تفعيل الخيار الثاني.

- يجب أن يبدو ملف الإدخال كما يأتى:

%chk=D:\ 2-M.chk

# td=(nstates=6) rb3lyp/6-311+g(d,p) scrf=check guess=read geom=check

M: Vertical excitation with linear response solvation

0 1

- يجب أن يظهر الإخراج كما يأتي:

Excited State 1: Singlet-A" ... eV ... nm f=...  $< S^{**}2>=....$ 

- وفي الفراغ أو الحالة الغازية (أي بدون مذيب) يجب أن يكون سجل الكلمات المفتاحية كما يأتى:

# td=(nstates=6) rb3lyp/6-311+g(d,p) guess=read geom=check ltd=(nstates=6) rb3lyp/6-311+g(d,p) rb3lyp/6-g(d,p) rb3lyp/6-g(d,p) rb3lyp/6-g(d,p) r

#### دراسة كيفية تحديد الخصائص الضوئية للمركبات الكيميائية كوانتياً: بعض مكونات مواد التجميل كأمثلة

- ملاحظة: قبل الانتقال إلى الخطوة الثالثة يتم نسخ الملف (1-M.chk) باسم جديد (3-M.chk) ثمّ يُعدل ثمّ يُحفظ (3-M.chk) عن طريق واجهة GaussView يُعدل ثمّ يُحفظ باسم (3-M) كملف إدخال فتظهر نافذة بعنوان (Saving Gaussian Input File) عليها خيارين يتم تفعيل الخيار الثاني.

- يجب أن يبدو ملف الإدخال كما يأتى:

```
%chk=D:\ 3-M.chk
# rb3lyp/6-311+g(d,p) scrf=(smd,solvent=Solvent-name,read)
geom=check
guess=read
```

M: prepare for state-specific non-eq solvation by saving the solvent reaction field from the ground state

0 1

NonEq=write

-- link1 --

 $%chk=D:\ 3-M.chk$ 

# td=(nstates=6, root=1) rb3lyp/6-311+g(d,p) geom=check guess=read scrf=(smd,solvent= Solvent-name,ExternalIteration,read)

M : read non-eq solvation from ground state and compute energy of the first excited with the state-specific method

0 1

NonEq=read

# - يجب أن يظهر الإخراج كما يأتى:

After PCM corrections, the energy is ..... a.u.

وهي الطاقة الكلية الإلكترونية للمركب في الحالة المُثارة (أي  $\mathbf{E}_3$ ). يجب تسجيل هذه القيمة  $\mathbf{E}_3$  لأنها سوف تُستخدم في حساب طاقة الامتصاص.

- وفي الفراغ أو الحالة الغازية (أي بدون مذيب) يجب أن يكون سجل الكلمات المفتاحية كما يأتى:

# rb3lyp/6-311+g(d,p) geom=check guess=read

-- link1 --

# td=(nstates=6, root=1) rb3lyp/6-311+g(d,p) geom=check guess=read

\_\_\_\_\_

الخطوة الرابعة: تهذيب هندسة الحالة المثارة الأولى باستخدام TD-DFT في حالة التوازن.

- ملاحظة: قبل الانتقال إلى الخطوة الرابعة يتم نسخ الملف (2- M.chk) باسم جديد (4- M.chk) ثمّ يُعدل ثمّ يُحفظ (4- M.chk) ثمّ يُعدل ثمّ يُعدل ثمّ يُحفظ باسم (4- M.chk) كملف إدخال فتظهر نافذة بعنوان (Saving Gaussian Input File) عليها خيارين يتم تفعيل الخيار الثاني.

- يجب أن يبدو ملف الإدخال كما يأتى:

%chk=D:\ 4- M.chk

# opt=readfc td=(read,nstates=6,root=1) rb3lyp/6-311+g(d,p) scrf=(smd,solvent=Solvent-name) guess=read geom=modify

M: excited state opt

Modify geometry to break Cs symmetry since first excited state is A"

0 1

- يجب أن يظهر الإخراج كما يأتى:

Excited State 1: Singlet-A" .... eV .... nm f=...  $< S^{**}2>=....$ 

Total Energy,  $E(TD-HF/TD-KS) = \dots a.u.$ 

سوف تتم مقارنة طاقة الحالة المثارة الأولى (eV) ...) مع نتيجة الخطوتين السادسة والسابعة وسيُلاحظ الفرق (حيث يجب أن يكون أكبر قليلاً بما لايتجاوز (0.5 eV)).

#### دراسة كيفية تحديد الخصائص الضوئية للمركبات الكيميائية كوانتياً: بعض مكونات مواد التجميل كأمثلة

- وفي الفراغ أو الحالة الغازية (أي بدون مذيب) يجب أن يكون سجل الكلمات المفتاحية كما يأتى:

# opt=readfc td=(read,nstates=6,root=1) rb3lyp/6-311+g(d,p) guess=read geom=modify

الخطوة الخامسة: إنجاز حسابات تواتر الاهتزاز للتأكد من أننا في الحالة المثارة المهذبة (الفُضلى) ولسنا في إحدى الحالات الانتقالية. ومن أجل ذلك يجب تفحص التواترات الاهتزازية فيما إذا كان هناك بعض التواترات السالبة حيث يكون المركب في إحدى الحالات الانتقالية وهكذا نحتاج لتفحص ملف الإدخال للحصول على نتائج صحيحة.

- ملاحظة: قبل الانتقال إلى الخطوة الخامسة يتم نسخ الملف (4-M.chk) باسم جديد (5- M.chk) من النوع (mol)عن طريق واجهة GaussView يُعدل ثمّ يُحفظ باسم (M-5)، ثمّ يُفتح الملف من النوع (saving Gaussian Input File) عليها باسم (M-5) كملف إدخال فتظهر نافذة بعنوان (Saving Gaussian Input File) عليها خيارين يتم تفعيل الخيار الثاني.

- يجب أن يبدو ملف الإدخال كما يأتى:

%chk=D:\ 5- M.chk

# freq=noraman td=(read, nstates=6, root=1) b3lyp/6-311+g(d,p) scrf=(smd,solvent= Solvent-name) guess=read geom=check

M: excited state Vibrational fq

0 1

- يجب التأكد أن جميع قيم الاهتزازات موجبة. وفي حال كانت إحداها أو أكثر سالبة، علينا مراجعة ملف الإدخال وإعادة الحسابات من جديد. وإلا علينا حساب طاقة الحالة المُثارة بطريقة أخرى كما سنرى لاحقاً.

- وفي الحالة الغازية (أي بدون مذيب) يجب أن تكون سجل الكلمات المفتاحية كما يأتي: # freq=noraman td=(read, nstates=6, root=1) b3lyp/6-311+g(d,p) guess=read geom=check

الخطوة السادسة: توصيف حالة الإصدار (المذيب المثار).

- ملاحظة: قبل الانتقال إلى الخطوة السادسة يتم نسخ الملف (5- M.chk) باسم جديد -6) M.chk فإن الحسابات ستأخذ الإدخال من الملف (5- M.chk) في الخطوة الخامسة، ثمّ يُفتح

# سلسلة العلوم الأساسية أد. عدنان كودلأ

الملف من النوع (mol.) عن طريق واجهة GaussView يُعدل ثمّ يُحفظ باسم (M-6) كملف إدخال فتظهر نافذة بعنوان (Saving Gaussian Input File) عليها خيارين يُفعل الخيار الثاني. – يجب أن يبدو ملف الإدخال كما يأتي:

%chk=D:\ 6- M.chk

# td=(read,nstates=6,root=1) b3lyp/6-311+g(d,p) scrf=(smd,solvent=Solvent-name,ExternalIteration,read) guess=read geom=check

M : emission state-specific solvation at first excited state optimized geometry

0 1

NonEq=write

# - يجب أن يظهر الإخراج كما يأتى:

.After PCM corrections, the energy is ..... a.u

وهي الطاقة الإلكترونية الكلية للمركب (أي  $\mathbf{E}_6$ ). يجب تسجيل هذه القيمة لأنها سوف تُستخدم في حساب طاقة الإصدار بالفلورة.

- وفي الفراغ أو الحالة الغازية (أي بدون مذيب) يجب أن تكون سجل الكلمات المفتاحية كما يأتي:

# td=(read,nstates=6,root=1) b3lyp/6-311+g(d,p) guess=read geom=check

نُلاحظ أن نتيجة هذه الخطوة هي نفسها نتيجة الخطوة الرابعة.

# الخطوة السابعة: الإصدار إلى الحالة الأساسية النهائية (حالة اللاتوازن).

- ملاحظة: قبل الانتقال إلى الخطوة السابعة يتم نسخ الملف (6- M.chk) باسم جديد (7- M.chk) في الخطوة السادسة، ثمّ يُخط السادسة، ثمّ يُخط باسم في الملف من النوع (mol) عن طريق واجهة GaussView يُعدل ثمّ يُخط باسم (7-M) كملف إدخال فتظهر نافذة بعنوان (Saving Gaussian Input File) عليها خيارين يتم تفعيل الخيار الثاني.

- يجب أن يبدو ملف الإدخال كما يأتى:

#### دراسة كيفية تحديد الخصائص الضوئية للمركبات الكيميانية كوانتياً: بعض مكونات مواد التجميل كأمثلة

%chk=D:\ 7- M.chk

# b3lyp/6-311+g(d,p) scrf=(smd,solvent=Solvent-name,read) guess=read geom=check

M: emission state-specific solvation at first excited state optimized geometry

0 1

NonEq=read

- يجب أن يظهر الإخراج كما يأتي:

SCF Done: E(RB3LYP) = .... a.u. after ... cycles وهي الطاقة الكلية الإلكترونية للمركب (أي  $(E_7)$ ). يجب تسجيل هذه القيمة لأنها سوف تُستخدم في حساب طاقة الإصدار بالفلورة.

- وفي الفراغ أو الحالة الغازية (أي بدون مذيب) يجب أن تكون سجل الكلمات المفتاحية كما يأتي:

#b3lyp/6-311+g(d,p) guess=read geom=check

# ثانياً - الحسابات:

لتوضيح كيفية إجراء الحسابات تمّ تطبيق خطوات العمل السابقة على حمض الإكريليك (Solvent-name=Acetonitrile) باستخدام المجموعة القاعدية (M=Acrylic acid):
المجموعة القاعدية (6-311++g(2d,p)):

1- يتم تحويل قيم الطاقات الكلية الإلكترونية إلى (eV) أو إلى جملة الوحدات الدولية (أي إلى -1 kJ/mol )، كما يأتي :

1 a.u. = 1 Hartree =  $27.2 \text{ eV} = 27.2 \times 23.0702 \text{ kcal/mol}$ =  $27.2 \times 23.0702 \times 4.18 \text{ kJ/mol} = 2622.989 \text{ kJ/mol}$ 

2- حساب طاقة الامتصاص في الحالة الأُحادية (من الخطوة الأولى ومن الخطوة الثالثة):

$$\varepsilon_{absorption} = h v_{absorption} = |E_1 - E_3| = |-4.8199| \text{ eV} = 4.8199 \text{ eV}$$

3- حساب طول موجة الضوء الممتص (أي الضوء اللازم لإثارة الجزيئة):

$$\begin{array}{ll} \epsilon_{\text{absorpion}} = h \nu_{\text{absorpion}} = h \frac{c}{\lambda_{\text{absorpion}}} \\ \\ \Rightarrow \lambda_{\text{absorpion}} = \frac{h c}{\epsilon_{\text{absorpion}}} = 257.24 \text{ nm} \end{array}$$

4- تسجيل طاقة الحالة المثارة الأولى الأحادية أو الطاقة الأدياباتية (من الخطوة الرابعة و الخامسة):

$$\epsilon_{\text{adiabatic}} = \epsilon_{\text{first excited singlet state}} = 3.6007 \text{ eV}$$

Excited State 1: Singlet-A" 3.6007 eV 344.34 nm f=0.0001 <S\*\*2>=0.000

5- حساب طاقة الإصدار بالفلورة (من الخطوة السادسة و الخطوة السابعة):

$$\mathbf{E}_{\text{emission}}^{\text{F}} = \mathbf{h} \mathbf{v}_{\text{emission}}^{\text{F}} = |\mathbf{E}_{6} - \mathbf{E}_{7}| = |+3.0649| \text{ eV} = 3.0649 \text{ eV}$$

في حال تعثر إيجاد طاقة الحالة المثارة الأولى سواء الأحادية أو الثلاثية، يُمكن إيجاد طاقة الحالة المثارة الأولى من خلال (مثلاً في الحالة الأحادية):

$$\epsilon_{adiabatic} = \epsilon_{(S_1)} = \epsilon_{emission}^F + \epsilon_{freq}(S_0) = 3.0649 + 0.4647 = 3.5296 \text{ eV}$$

6- حساب طول موجة الضوء الصادر بالفلورة:

$$\lambda_{\text{emission}}^{F} = \frac{h c}{\epsilon_{\text{emission}}^{F}} = 404.54 \text{ nm}$$

7- حساب مردود الفلورة:

$$Q^{F} = \frac{\epsilon^{F}_{emission}}{\epsilon^{S}_{absorption}} = \frac{3.0649}{4.8199} = 0.64$$

#### دراسة كيفية تحديد الخصائص الضوئية للمركبات الكيميانية كوانتياً: بعض مكونات مواد التجميل كأمثلة

8- حساب الطاقة التي امتصتها الجزيئة واستخدمت في التنشيط (تغيير البنية الإلكترونية وبالتالي الهندسية للجزيئة) في الحالة الأحادية:

$$\mathbf{\epsilon}^{S}$$
 =  $\mathbf{\epsilon}^{S}$  -  $\mathbf{\epsilon}^{F}$  = 1.2903 eV

9- حساب المردود الكوانتي:

$$Q^{s} = \frac{\epsilon^{s}}{\underset{absorption}{\epsilon^{s}}} = \frac{1.2903}{4.8199} = 0.268$$

10- مقارنة عرض المجال المحظور في الحالة المنشطة (من الخطوة الرابعة) مع عرض المجال المحظور في الحالة الأساسية (من الخطوة الأولى):

- عرض المجال المحظور في الحالة الأساسية (من الخطوة الأولى):

$$\mathbf{E}_{\text{gap}} = \left| \mathbf{E}_{\text{LUMO}} - \mathbf{E}_{\text{HOMO}} \right| = 6.3036 \text{ eV}$$

- عرض المجال المحظور في الحالة المنشطة (من الخطوة الرابعة):

$$\mathbf{E}_{\text{gap}} = \left| \mathbf{E}_{\text{LUMO}} - \mathbf{E}_{\text{HOMO}} \right| = 5.0132 \text{ eV}$$

- نجد أن الفرق بينهما (1.2904 eV). أي أن الضوء قد أدى إلى تقليص عرض المجال المحظور بمقدار ( % 20.5). أي أنه أدى إلى زيادة تفاعلية المركب المدروس بنسبة ( % 20.5 ).

11- مقارنة عزم ثنائي الأقطاب في الحالة المنشطة (من الخطوة الرابعة) مع عزم ثنائي الأقطاب في الحالة الأساسية (من الخطوة الأولى):

- عزم ثنائي الأقطاب في الحالة الأساسية (من الخطوة الأولى):

$$\mu_{\rm p} = 2.927 \; {\rm Debye}$$

- عزم ثنائي الأقطاب في الحالة المنشطة (من الخطوة الرابعة):

$$\mu_{\rm p} = 4.352$$
 Debye

- نجد أن الفرق بينهما (1.425 Debye). أي أن الضوء قد أدى إلى زيادة عزم ثنائي الأقطاب بمقدار (% 48.7). أي أدى إلى زيادة استقطابية المركب المدروس بنسبة (% 48.7).

II-2-2- تحديد طاقتي الامتصاص و الإصدار بالفسفرة (إثارة الجزيئات من الحالة الأساسية إلى الحالات المثارة الثلاثية):

أولاً - طريقة العمل:

لمعرفة طاقة الإصدار بالفسفرة، تتم إعادة خطوات العمل (الثانية ، الرابعة – السابعة)، كما في الفقرة السابقة مع إجراء بعض التعديلات على ملفات الإدخال:

حيث يبدو ملف الإدخال في الخطوة الثانية كما يأتي:

%chk=D:\ 2-M.chk

# td=(nstates=6) ub3lyp/6-311+g(d,p) scrf=check guess=read geom=check

M: Vertical excitation triplet states 0 3

والخطوة الرابعة كما يأتى:

%chk=D:\ 4-M.chk

# td=(nstates=6,root=1,read) ub3lyp/6-311+g(d,p) scrf=(smd,solvent=Solvent-name) guess=read geom=modify opt=readfc

M: exited triplet state optimization

0 3

والخطوة الخامسة كما يأتى:

%chk=D:\ 5-M.chk

# freq=noraman td=(nstates=6,root=1,read) b3lyp/6-311+g(d,p) scrf=(smd,solvent= Solvent-name) guess=read geom=check

M: excited triplet-state Vibrational Fq

0 3

#### دراسة كيفية تحديد الخصائص الضوئية للمركبات الكيميائية كوانتياً: بعض مكونات مواد التجميل كأمثلة

والخطوة السادسة كما يأتى:

%chk=D:\ 6- M.chk

# td=(nstates=6,root=1,read) b3lyp/6-311+g(d,p)
scrf=(smd,solvent=Solvent-name,ExternalIteration,read) guess=read
geom=check

M: emission state-specific solvation at first excited state optimized geometry

0 3

NonEq=write

والخطوة السابعة كما يأتى:

%chk=D:\ 7- M.chk

 $\label{eq:continuous} \begin{tabular}{ll} \# b3lyp/6-311+g(d,p) & scrf=(smd,solvent=Solvent-name,read) \\ guess=read \end{tabular}$ 

geom=check

M: emission state-specific solvation at first excited state optimized geometry

0 3

NonEq=read

#### ثانياً - الحسابات:

لتوضيح كيفية إجراء الحسابات تمّ تطبيق خطوات العمل السابقة على حمض الإكريليك (Solvent-name=Acetonitrile) بوجود أسيتو نتريل كمذيب (M=Acrylic acid) باستخدام المجموعة القاعدية (6-311++g(2d,p)):

او إلى جملة الوحدات الدولية (أي إلى الكلية الإلكترونية إلى (eV) أو إلى جملة الوحدات الدولية (أي إلى  $^{-1}$ 

1 a.u. = 1 Hartree =  $27.2 \text{ eV} = 27.2 \times 23.0702 \text{ kcal/mol}$ =  $27.2 \times 23.0702 \times 4.18 \text{ kJ/mol} = 2622.989 \text{ kJ/mol}$  2- حساب طاقة الإصدار بالفسفرة (من الخطوة السادسة و الخطوة السابعة):

$$\epsilon_{\text{emission}}^{Ph} = h v_{\text{emission}}^{Ph} = \left| E_6 - E_7 \right| = \left| + 0.5744 \right| \text{eV} = 0.5744 \text{ eV}$$

3- حساب طول موجة الضوء الصادر بالفسفرة:

$$\lambda_{\text{emission}}^{Ph} = \frac{-h \ c}{\epsilon_{\text{emission}}^{Ph}} = 2158.51 \ nm$$

4- حساب مردود الفسفرة:

$$Q^{Ph} = \frac{\varepsilon^{Ph}}{\varepsilon^{S}}_{absorption} = \frac{0.5744}{4.8199} = 0.12$$

5- حساب طاقة الحالة المثارة الأولى الثلاثية أو الطاقة الأدياباتية (من الخطوة الرابعة): لم بتم هنا إيجاد الحالة المثارة الأولى الثلاثية:

Excited State 1: 3.010-A" -0.9897 eV -1252.75 nm f=-0.0000 <S\*\*2>=2.016

ملحظة: في حال تعثر إيجاد طاقة الحالة المثارة الأولى سواء الأحادية أو الثلاثية، يُمكن إيجاد طاقة الحالة المثارة الأولى من خلال (مثلاً في الحالة الثلاثية):

$$\epsilon_{adiabatic} = \epsilon_{(T_1)} = \epsilon_{emission}^{Ph} + \epsilon_{freq}(s_0) = 0.5744 + 0.4674 = 1.0418 \text{ eV}$$

6- حساب طاقة العبور بين الأنظمة (أي الطاقة اللازمة لاقتران مدار - سبين):

$$\varepsilon_{\text{intersystem crossing}} = \varepsilon(s_1) - \left[\varepsilon(T_1) + \varepsilon_{\text{freq}}(T_1)\right]$$
$$= 3.5296 - \left[1.0418 + 0.4675\right] = 2.0203 \text{ eV}$$

# 3-2-II مخطط جابلونسكى:

- طاقة الحالة الأساسية (S<sub>0</sub>) تُعادل الصفر:

$$\left(\begin{array}{cc} \epsilon & \equiv & 0.0 \text{ eV} \end{array}\right)$$

#### دراسة كيفية تحديد الخصائص الضوئية للمركبات الكيميائية كوانتياً: بعض مكونات مواد التجميل كأمثلة

```
- السويات الاهتزازية في الحالة الأساسية:
  Frequencies -- 99.6616
                                                                    482.2406
                                             283.2471
  Frequencies -- 534.1493
                                             565.8305
                                                                   586.6724
 Frequencies -- 837.1164
                                             838.0763
                                                                   1015.6377
 Frequencies -- 1026.1913
                                             1032.9170
                                                                    1196.440
 Frequencies -- 1316.5075
                                            1364.9944
                                                                    1444.6422
 Frequencies -- 1671.0551
                                                                    3153.1550
                                            1733.5243
 Frequencies -- 3185.8232
                                                                    3748.4659
                                            3242.4496
              3748.4659 \text{ cm}^{-1} = 2667.76 \text{ nm} = 0.4647 \text{ eV}
               1733.5243 \text{ cm}^{-1} = 1233.74 \text{ nm} = 0.2149 \text{ eV}
                                             - طاقة الحالة المُثارة الأولى الأحادية (S1):
                   \left(\begin{array}{c} \boldsymbol{\epsilon}(\boldsymbol{S}_1) \\ \text{first excited singlet state} \end{array}\right)
                                             \equiv 3.5296 \text{ eV}
Excited State 1: Singlet-?Sym 3.6007 eV 344.34 nm f=0.0001
                               <S**2>=0.000
                              وتُعادل الصفر بالنسبة للسويات الاهتزازية في هذه الحالة.
                                  - السويات الاهتزازية في الحالة المُثارة الأولى الأحادية:
                                                                  239.7439
     Frequencies -- -45.9798
                                             223.1984
     Frequencies -- 414.7571
                                             419.2538
                                                                  568.3987
     Frequencies -- 572.0217
                                             678.5184
                                                                  852.3595
    Frequencies -- 886.3429
                                           1019.7641
                                                                  1157.2669
    Frequencies -- 1231.5076
                                          1278.0153
                                                                  1367.1411
    Frequencies -- 1488.6216
                                          1622,4559
                                                                  3165.4976
    Frequencies -- 3182.0061
                                            3261.6579
                                                                  3740.7663
               3740.766 \text{ cm}^{-1} = 2673.25 \text{ nm} = 0.4638 \text{ eV}
              1622.4559 \text{ cm}^{-1} = 1154.69 \text{ nm} = 0.2011 \text{ eV}
                                              - طاقة الحالة المُثارة الأولى الثلاثية (T1):
                     \left(\begin{array}{cc} \epsilon(T_{_{1}}) & \equiv & 1.0418 \ eV \end{array}\right) first excited triplet state
```

Excited State 1: 3.010-?Sym -0.9897 eV -1252.76 nm f=-0.0000

<S\*\*2>=2.016

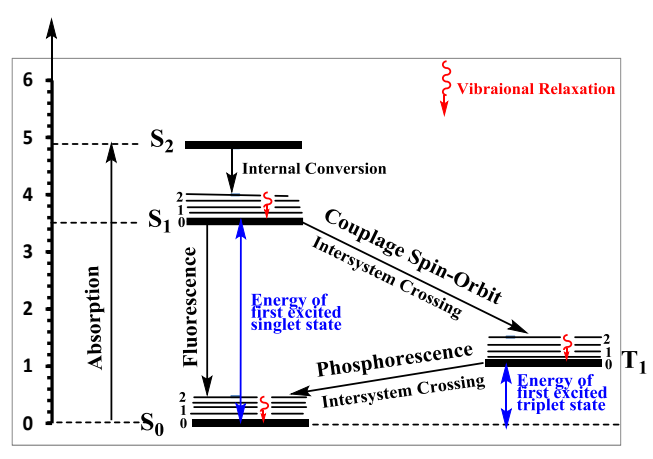
وتُعادل الصفر بالنسبة للسويات الاهتزازية في هذه الحالة.

#### - السويات الاهتزازية في الحالة المُثارة الأولى الثلاثية:

Frequencies	-487.6826	152,2332	211.8206
Frequencies	250.1663	505.8970	543.5833
Frequencies	631.3712	639.6549	810.6789
Frequencies	861.7500	986.9526	1063.0995
Frequencies	1215.0417	1319.4104	1405.3142
Frequencies	1453.8203	1664.3757	3181.6230
Frequencies	3230.2617	3302.2478	3770.4928

3770.4928 cm<sup>-1</sup> = 2652.17 nm = 0.4675 eV 1405.3142 cm<sup>-1</sup> = 1000.15 nm = 0.1742 eV

#### Energy [eV]



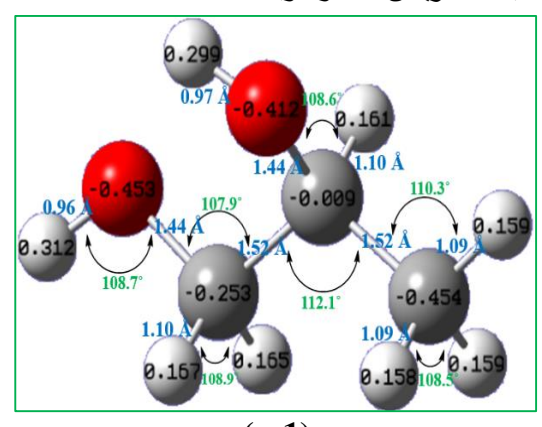
# :(Results and Discussion) النتائج والمناقشة

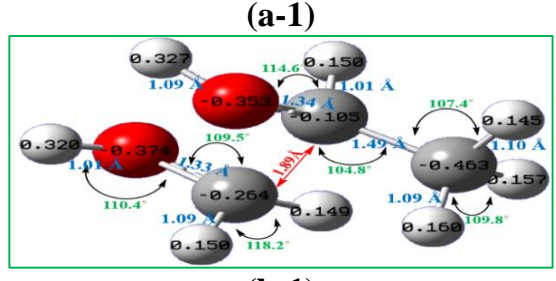
لتوضيح كيفية مناقشة نتائج تطبيق خطوات العمل السابقة تمّ اختيار بروبيلين غليكول (Propylene glycol) كأحد مكونات مواد التجميل.

بروبيلين غليكول هو مركب عضوي اصطناعي صيغته الجزيئية (المجملة) (C<sub>3</sub>H<sub>8</sub>O<sub>2</sub>) وكتلته المولية (Propane-1,2-diol)، يسمى أيضاً (76.09g/mol) وهو سائل لزج عديم اللون، وتعود أهمية بروبيلين غليكول كونه من المواد الحافظة المضادة للجراثيم (Antimicrobial preservative) فهو يستخدم بشكل واسع كمذيب ومادة حافظة في العديد من

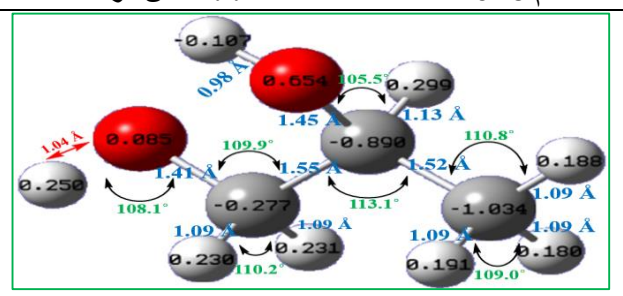
المستحضرات الصيدلانية، ويتمتع بتأثير مطهر فهو يشبه في ذلك الكحول، إلا أن فعاليته أقل بقليل، كما يستخدم في منتجات التجميل كونه مادة مرطبة (Humectant) ويستخدم كعامل مثبت (stabilizer) يُضاف إلى مادة أخرى من أجل حفظ خصائصها الطبيعية والكيميائية من التغيير. صبغته النائية:

تمت دراسة تأثير الضوء في الخصائص البنيوية والإلكترونية لبروبيلين غليكول في الحالة السائلة بوجود مذيب الإيتانول، حيث وُجدت البنى الهندسية الفضلى لمركب بروبيلين غليكول في الحالة الأساسية (أي قبل التعريض للضوء) والحالات المثارة الأحادية والثلاثية (أي يعد التعريض للضوء)، كما هو مبين في الشكل (1) مع توزع الشحنات الجزئية مقدرة بالإلكترون وأطوال الروابط بالأنغستروم والزوايا بالدرجات. ويتضمن الجدول (1) قيم بعض المقادير المميزة للخصائص الطاقية والإلكترونية لمركب بروبيلين غليكول قبل التعريض للضوء وبعده.





(b-1)



(c-1)

# الشكل (1): البنى الهندسية الفراغية لـ بروبيلين غليكول

(a-1): البنية الهندسية الفضلى لـ بروبيلين غليكول قبل التعريض للضوء في الحالة الأساسية.

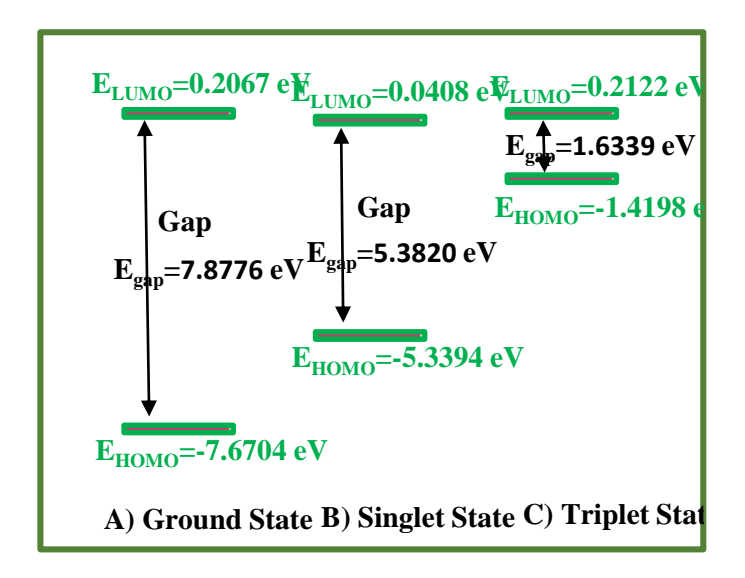
(b-1): البنية الهندسية الفضلى لـ بروبيلين غليكول بعد التعريض للضوء في الحالة المُثارة الأحادية.

(c-1): البنية الهندسية الفضلي لـ بروبيلين غليكول بعد التعريض للضوء في الحالة المُثارة الثلاثية.

الجدول (1): الخصائص الطاقية والإلكترونية له بروبيلين غليكول.

الخاصية	قبل التعريض	بعد التعريض للضوء		نسبة التغير (%E <sub>rel</sub> )	
الالكترونية الإلكترونية	للضوء للضوء	الحالة المثارة	الحالة المثارة	الحالة المثارة	الحالة المثارة
الإنتترونية	سعور	الأحادية	الثلاثية	الأحادية	الثلاثية
<b>D</b> <sub>e</sub> ( <b>M</b> ) (eV)	52.0415	46.2374	45.3753	-11.15	-12.80
E <sub>LUMO</sub> (eV)	0.2067	0.0408	0.2122	-80.26	-2.63
E <sub>HOMO</sub> (eV)	-7.6704	-5.3394	-1.4198	-30.39	-81.48
Egap (eV)	7.8776	5.3820	1.6339	-31.68	-79.25

تمثل طاقات HOMO و LUMO لمركب بروبيلين غليكول في الشكل (2) حيث يُلاحظ تغيّر واضح في عرض المجال المحظور ( $E_{\rm gap}$ ) بعد التعريض للضوء.



الشكل (2): عرض المجال المحظور لـ بروبيلين غليكول

(A) الحالة الأساسية ، (B) الحالة المثارة الأحادية ، (C) الحالة المثارة الثلاثية

باستقراء القيم في الجدول (1) والشكلين (1) و(2) نلاحظ أن تعريض بروبيلين غليكول للضوء أدى إلى:

- 1. تخرّب مركب بروبيلين غليكول، وتفكّك بعض الروابط في الحالتين المثارة الأحادية والثلاثية، ففي الحالة الأحادية تفككت الرابطة  $d_{C1-C3}$  لتصبح المسافة بين الذرتين (1.898 Å).
- 2. تناقص طاقة التفكك (وبالتالي طاقة الارتباط) بمقدار (11%-) أي أن الروابط تصبح أضعف والمركب أقل ارتباطاً بعد تعريض جزيئة بروبيلين غليكول للضوء.
- انخفاض طاقة المدار LUMO في الحالة المثارة الأحادية مما يدل على فعالية المركب وميوله لاكتساب إلكترونات (خاصية المواد المؤكسدة)[26].
- 4. ارتفاع طاقة المدار HOMO نتيجة تعريض المركب للضوء، مما يدل أن المركب يصبح أقل استقراراً عند تعريضه للضوء وأكثر نشاطاً كيميائياً.
- تناقص في عرض فجوة الطاقة أي أن الضوء أدى إلى تقليص عرض المجال المحظور بمقدار
   (31.7%-) وبالتالى إلى تناقص ثباته واستقراره وازدياد تفاعلية جزيئة بروبيلين غليكول.

# سلسلة العلوم الأساسية أ.د. عدنان كودلأ

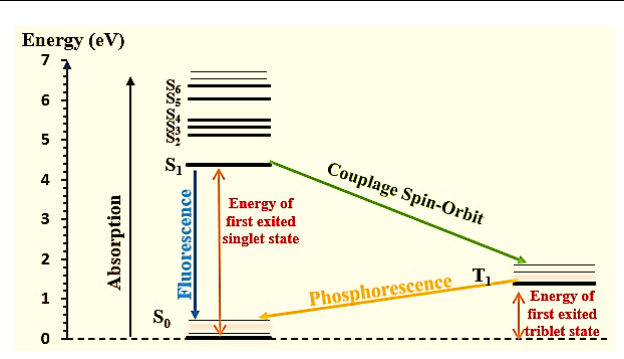
لتفسير أسباب التغيرات البنيوية والإلكترونية السابقة تمّ حساب قيم بعض المقادير المميزة للخصائص الضوئية لـ بروبيلين غليكول (مثل: طاقات الامتصاص ( $\epsilon_{Absorption}^{Ph}$ ) والإصدار بالفلورة ( $\epsilon_{emission}^{F}$ ) والإصدار بالفسفرة ( $\epsilon_{emission}^{Ph}$ ) وطاقة التشيط ( $\epsilon_{emission}^{Ph}$ ) وطاقة العبور بين الأنظمة إضافةً إلى المردود الكوانتي  $\epsilon_{emission}$  ومردود كل من الفلورة  $\epsilon_{emission}^{Ph}$ ) بوجود الإيتانول كمذيب، ثمّ أدرجت النتائج في الجدول (2).

الجدول (2): الخصائص الضوئية لـ بروبيلين غليكول

الخاصية الضوئية	ادير الفيزيائية وقيمها	الانتقال الإلكتروني الموافق	نوع الأشعة الضوئية	
الامتصاص	$\mathcal{E}_{Absorption}$ (eV)	6.5460	$S_0 \rightarrow S_6$	UVC
	$\lambda_{Absorption}$ (nm)	189.53	$\mathcal{O}_0$ / $\mathcal{O}_6$	OVC
الإصدار بالفلورة	$\varepsilon_{emission}^{F}$ (eV)	2.8367	$S_1 \rightarrow S_0$	Vis (Violet)
الإصدار بالعنورة	$\mathcal{\lambda}^F_{emission}$ (nm)	437.37	$S_1 \nearrow S_0$	Vis (Violet)
	$\mathcal{E}_{emission}^{Ph}$ (eV)	0.9333	<b>H</b> c	
الإصدار بالفسفرة	$\lambda_{emission}^{Ph}$ (nm)	1329.35	$T_1 \rightarrow S_0$	IR
العبور بين الأنظمة	ε <sub>Intersystem Crossing</sub> (eV)	2.5070	$S_1 \rightarrow T_1$	-
التنشيط	ε <sub>Activation</sub> (eV)	3.2407	-	-
المردود الكوانتي	Ф	0.49	-	-
مردود الفلورة	$\Phi^{\mathrm{F}}$	0.50	-	_

#### دراسة كيفية تحديد الخصائص الضوئية للمركبات الكيميائية كوانتياً: بعض مكونات مواد التجميل كأمثلة

مردود القسفرة	$\Phi^{ ext{Ph}}$	0.14	-	_
	1		1	



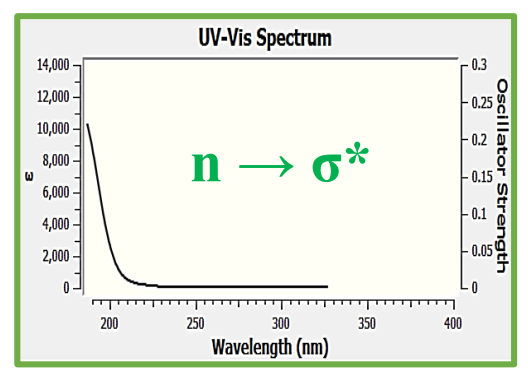
الشكل (3): مخطط جابلونسكى لـ بروبيلين غليكول

باستقراء قيم الجدول (2) والشكل (3) نخلص إلى النتائج الآتية:

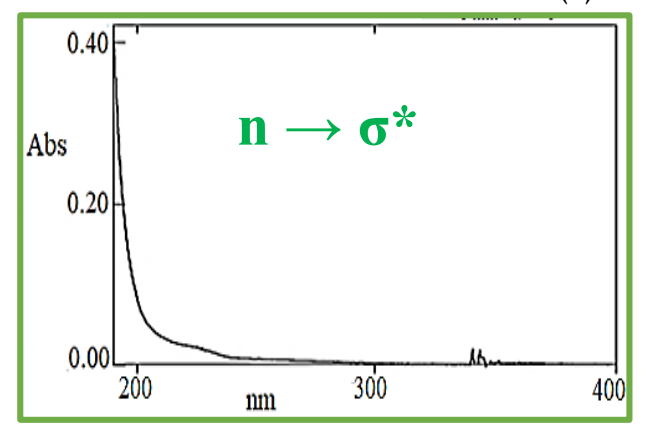
- 1. لا تتمتع جزيئة بروبيلين غليكول بخاصية الفسفرة (أي ليس لها طيف فسفرة) لعدم إمكانية حدوث اقتران مدار –سبين المرتبط بحدوث تداخل بين السويات الاهتزازية في الحالتين الثلاثية والأحادية وهذا غير ممكن لكون طاقة العبور بين الأنظمة كبيرة جداً 0.5070 (eV). بينما تتمتع بخاصية الفلورة. حيث تظهر قمة وحيدة في طيف الفلورة عند طول الموجة (437.37 nm) وهناك تألق باللون البنفسجي.
- 2. يمكن استخدام البروبيلين غليكول في التفاعلات الضوئية نظراً لكون المردود الكوانتي جيد (49%). حيث أن قسماً كبيراً من طاقة الضوء الممتص يتحول إلى طاقة تفاعل 3.2407) ولا ويستهلك في تتشيط الجزيئة وهذا ما لاحظناه من خلال التغيرات في أطوال الروابط في الشكل (1) وكذلك في طاقة التفكك وعرض المجال المحظور في الجدول (1). لذلك لا ينصح بتعريض مواد التجميل التي تحوي البروبيلين غليكول إلى الأشعة فوق البنفسجية في منطقة الـ UVC،

وكخطوة أخيرة تتم دراسة الخصائص الطيفية الضوئية من خلال إيجاد طيف الأشعة المرئية وفوق البنفسجية (UV-Vis Spectrum) وكذلك طيف الأشعة تحت الحمراء (IR Spectrum).

عند دراسة امتصاصية بروبيلين غليكول للأشعة المرئية وفوق البنفسجية (UV-Vis) كوانتياً وفق الشكل (4) ومقارنته بالطيف المرجعي التجريبي  $^{[27]}$  وفق الشكل (5) نجد قمة امتصاص واحدة ناتجة عن الانتقال ( $\sigma^*$ ).



الشكل (4): طيف UV-Vis المحسوب كوانتياً لـ بروبيلين غليكول.



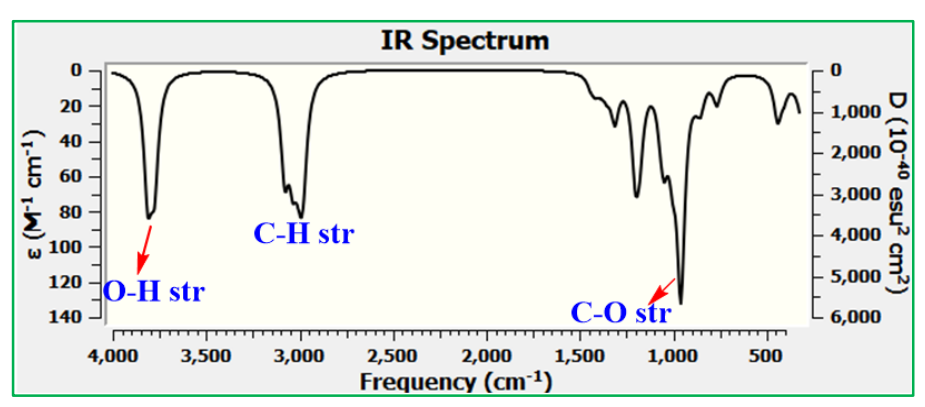
الشكل (5): طيف UV-Vis التجريبي المرجعي[27] لـ بروبيلين غليكول.

يُوضِّح الجدول (3) مقارنة الأطوال الموجية المحسوبة كوانتياً مع القيم التجريبية المرجعية حيث كانت القيم شبه متطابقة.

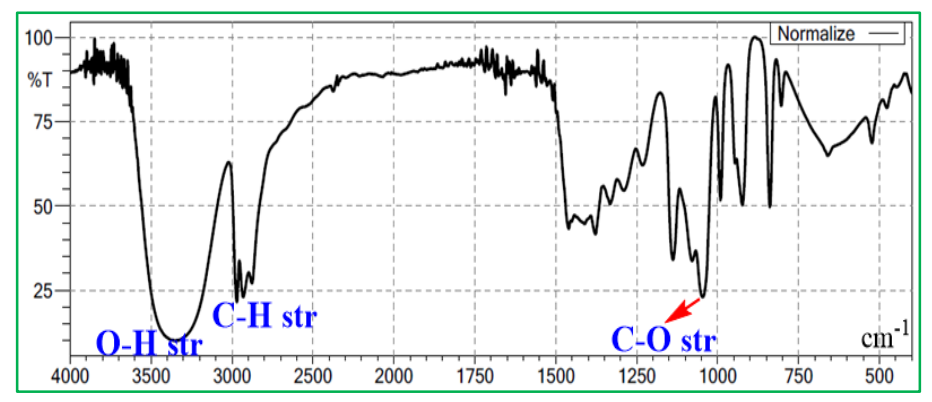
الجدول (3): الأطوال الموجية والانتقالات الإلكترونية الموافقة لـ بروبيلين غليكول.

No	To retail antiques	(nm) طول الموجة	
No.	الانتقالات الإلكترونية	المحسوب كوانتياً	المرجعي التجريبي [27]
$\lambda_1$	$n \to \sigma^*$	189.9	190.0

أما عند دراسة امتصاصية بروبيلين غليكول للأشعة تحت الحمراء نحصل على طيف الـ IR كما في الشكل (6)، وحُددت عصابات الامتصاص عليه ومقارنته مع الطيف التجريبي المرجعي [27] كما في الشكل (7).



الشكل (6): طيف الأشعة تحت الحمراء IR المحسوب كوانتياً لـ بروبيلين غليكول.



الشكل (7): طيف الأشعة تحت الحمراء IR التجريبي المرجعي[27] لـ بروبيلين غليكول.

#### سلسلة العلوم الأساسية أ.د. عدنان كودلأ

بعد حساب طيف IR الكوانتي لمركب بروبيلين غليكول يمكن تنظيم أهم قيم تواترات الاهتزاز في الجدول (4) ثم مقارنتها مع قيم مرجعية.

المجموعة الوظيفية	و <i>جي</i> cn)	نوع الحركة	
المجموعة الوطيقية	المحسوب كوانتياً	المرجعي التجريبي [27]	نوع الكرك
O-H stretch	3781 & 3816	3360 free	امتطاط
C-H stretch	3096-2998	2995-2890	امتطاط
C-OH stretch	1021	1045	امتطاط

الجدول (4): قيم بعض تواترت الاهتزاز لـ بروبيلين غليكول.

تدل نتائج الجدول (4) أن القيم متقاربة بين النتائج المحسوبة كوانتياً في هذا العمل والنتائج التجريبية المرجعية. ولكن عصابة الامتصاص العائدة لاهتزاز امتطاط الرابطة (O-H stretch) تظهر في الطيف التجريبي عريضة نظراً لتشكل روابط هيدروجينية بين الجزيئات أما شدة امتصاصها الكبير فهي مقياس لقوة الروابط الهيدروجينية [28]. حيث يتم إهمال هذه القوة وقوى فيزيائية أخرى في الدراسة الكوانتية الأمر الذي يفسر انزياح عصابة الامتصاص العائدة لامتطاط اهتزاز الروابط (O-H) نحو القيم الكبيرة.

#### -IV الخلاصة والاستنتاجات (Summary and Conclusions):

تّم اعتماد مجموعة من الخطوات لدراسة تأثير الضوء على أي مركب كيميائي وتحديد خصائصه البنيوية والإلكترونية والضوئية والطيفية كوانتياً من خلال:

- إيجاد البننى الهندسية الفراغية الفُضلى للمركب المدروس في الحالة الأساسية (أي قبل تعريض المركب للضوء).
  - حساب أطوال الروابط والزوايا ومراقبة التغيرات التي تطرأ عليها.
- حساب قيم بعض المقادير المميزة للخصائص الإلكترونية والطاقية ومراقبة التغيرات الحاصلة.

# دراسة كيفية تحديد الخصائص الضوئية للمركبات الكيميانية كوانتياً: بعض مكونات مواد التجميل كأمثلة

- حساب قيم بعض المقادير المميزة للخصائص الضوئية، مثل (طاقة وطول موجة الضوء الممتص، طاقة وطول موجة الضوء الصادر كتألق فلورة أو فسفرة، المردود الكوانتي، ...). إن تنفيذ تلك الخطوات لا يحتاج إلى مهارات خاصة أو إمكانيات كبيرة. إذ يكفي أن يتقن الباحث الكيميائي العمل على الحاسوب والبرامج الخاصة اللازمة لإجراء مثل تلك الحسابات باستخدام حواسيب ذات مواصفات جيدة. وعليه تُعد الكيمياء الكوانتية أداة هامة من أدوات البحث العلمي الحديثة المرادفة للأدوات البحثية التجريبية وهي غير مكلفة ومتاحة للباحث الكيميائي.

\*\*\*\*\*\*\*\*\*\*\*\*\*\*

#### References المراجع

- [1] Aydogan B., Photoinitiated Polymerizations by Electron Transfer Reactions, Istanbul Technical University, (2010).
- [2] Coyle J. D., **Introduction to Organic Photochemistry**, British Library Cataloguing in Publication Data (1989).
- [3] Simonovich S., Physical Organic Photochemistry and Basic Photochemical Transformations, Journal of Organic Chemistry, (2011).
- [4] Ghanoum K., **Photosynthesis and Quantum-chemical Study of Some Aromatic Compounds**, Doctorate -Thesis, Albaath-University-Syria, chapter 1 (2020).
- [5] Wiley J., **Advances in Photochemistry**, Center for Photochemical Sciences, Bowling Green State University, Bowling Green, Ohio, Vol. 27 (2002).
- [6] Belzoni V., Ceroni P., Alberto Juris A., **Photochemistry and Photophysics**, Wiley-VCH Verlag GmbH, Boschstr Weinheim, Germany (2014).
- [7] Klessinger M., Michl J., University of Colorado, Excited state and Photochemistry of Organic Molecules (1995).

- [8] Nunn A., Experimental and Theoretical Investigations of The Photochemistry of Styrene and The Creation and Characterization of Shaped Femtosecond Ultraviolet Laser Pulses, Doctoral thesis, University College London, chapter1 (2010).
- [9] Simonovich S., Physical Organic Photochemistry and Basic Photochemical Transformations, Journal of organic *chemistry*, (2011).
- [10] Becke A.D., **Density-functional exchange-energy pproximation** with correct asymptotic behavior, Phys. Rev. A38 (1988) p.3098.
- [11] Le C. , Yang W. , Parr R.G., **Development of the Colle-Salvetti correlation- Energy formula into a functional of the electron density**, Phys. Rev. B37 (1988) p.785.
- [12] Runge E., Gross E.K.U., **Density-Functional Theory for Time- Dependent Systems**, Phys. Rev. Lett. 52 (1984) p. 997.
- [13] Ghanoum K., Kodlaa A., Merza J., **DFT and Experimental Study of Synthesis a Quinoxaline Derivative Using Photocatalysis,** Chemistry and Materials Research, Vol.9, No.9 (2017)p.96-102.
- [14] Ghanoum K., Kodlaa A., Merza J., **Quantum-Chemical Study of Photo-chemical Properties of some Unsaturated Compounds**. Journal of Al-Baath university, Vol. 41, No.16 (2019)p.55-80. & Vol. 41, No.17 (2019)p.147-172.
- [15] Ghanoum K., Kodlaa A., Merza J., Quantum-Chemical and Experimental Study of Spectroscopic and Photochemical Properties of 2-methyl quinoxaline 1,4-dioxide, Journal of Al-Baath university, Vol. 41, No.17 (2019)p.127-146.
- A., Alali A.. Kodlaa [16] Edrees L., STUDY THE SPECTROSCOPIC AND PHOTOCHEMICAL PROPERTIES OF SEVERAL NAIL **POLISHES** USING THE **OUANTUM-CHEMICAL** AND EXPERIMENTAL METHODS, Alleyscience.ru, №5(44) (2020)p.21-29.
- [17] Idris L., Kodlaa A., Alali A., Quantum-Chemical Study of Photochemical Effect of some Nail polish components, Journal of Al-Baath university, Vol. 41, No.21 (2019)p.37-66.

# دراسة كيفية تحديد الخصائص الضوئية للمركبات الكيميائية كوانتياً: بعض مكونات مواد التجميل كأمثلة

- [18] رنيم خانكان، عدنان كودلأ، دراسة تأثير الضوء في الخصائص البنيوية والإلكترونية لحمضي السيتريك والأسكوربيك المستخدمان في منتجات العناية بالشعر، مجلة جامعة البعث، المجلد 44، العدد 18، (2022) ص (117-147).
- [19] طلال غسان وردة، سليمان ديبو، عدنان كودلأ، دراسة كوانتية لتأثير الضوء على الخصائص البنيوية والترموديناميكة لبعض الأكاسيدالمعدنية، مجلة جامعة البعث سلسلة العلوم الأساسية، المجلد 44، العدد 3، (2022) ص (79-127).
  - [20] عالية الرفاعي، عدنان كودلأ، فاطمة الرحال ؛ دراسة تأثير الضوع على الفينول ويعض مشتقاته، مجلة جامعة البعث المجلد 44، العدد 15، (2022) ص (11-38).
- [21] Frisch M.J., et. al: **GAUSSIAN 03, Revision B.05**, Gaussian, Inc., Pittsburgh, PA, (2003).
- [22] Frisch M. J., et.al: **GAUSSIAN 09, Revision A.02** Gaussian, Inc., Wallingford CT, (2009).
- [23] Frisch M. J., et.al: **GAUSSIAN 09, Revision D.01** Gaussian, Inc., Wallingford CT, (2013).
- [24] Roy D. Dennington II, Todd A. Keith and John M. Millam, GaussView 5.0.8, Semichem, Inc. 2000-2008
- [25] Roy D. Dennington II, Todd A. Keith and John M. Millam, **GaussView 6.0.16**, Semichem, Inc. 2000-2016.
- [26] Ali, J. H., & Kazar, K. O. Theoretical Study on Bromofulvene isomers (3-Bromofulvene, 4-Bromofulvene and 6-Bromofulvene) and their positive and negative radical ions. Part A. journal of kerbala university, (2013),11(3).
- [27] Khankan R., A Quantum and Experimental Study of the Effect of Light on Some Components of Hair Dyes, Master -Thesis, 2023, Albaath-University-Syria.
- [28] Silva, E.R., Queiroz, A.N., Almeida, E.D. and Borges, R.S., **A DFT study of aminophenol stability. Journal of Computational and Theoretical Nanoscience**, 6(7), (2009), P.1694.

# تحسين النمذجة الخطية للبيانات الترتيبية والاسمية باستخدام خوارزمية مبتكرة

\*د. فاطمة شلاف

#### الملخص

يهدف هذا البحث إلى بناء خوارزمية فعالة لاختيار النموذج الخطي الأنسب لتحليل البيانات الترتيبية المقاسة بمقياس ليكرت، وذلك من خلال تحويلها إلى بيانات كمية قابلة للتحليل الإحصائي باستخدام تقنية المركبات الأساسية الفئوية .(CATPCA) تتيح هذه التقنية معالجة البيانات الاسمية والترتيبية وتحويلها إلى صيغ كمية، مع الحفاظ على العلاقات الخطية بين المتغيرات، ما يسمح بتقييم النماذج الخطية المختلفة ضمن إطار بيانات بانل.

طُبقت الخوارزمية على بيانات المشاريع الصغيرة في مدينة حمص وريفها، مع التركيز على البعدين الاجتماعي والمالي، حيث تم تحويل البيانات الترتيبية إلى كمية باستخدام CATPCA ، ثم اختبار ثلاثة نماذج بانل (التجميعي، التأثيرات الثابتة، التأثيرات العشوائية) لتحديد النموذج الأكثر كفاءة. أظهرت النتائج أن النموذج التجميعي هو الأنسب، وكشفت عن علاقة إيجابية قوية بين البعد الاجتماعي والمركبة المالية الأولى، المرتبطة بالربح والاستدامة والتوجه الاستثماري. كما ظهر تأثير إيجابي لمركبة التوسع والنجاح الاستراتيجي، في حين كان للتقييم النقدي الصرف أثر سلبي على الأثر الاجتماعي. تعكس هذه النتائج أهمية الأداء المالي المستدام والتوسع والنوسع الصغيرة.

الكلمات المفتاحية: البيانات الفئوية، البيانات الترتيبية، البيانات الاسمية، تحليل المركبات الأساسية الفئوي (CATPCA)، نماذج بيانات البانل، نموذج التأثيرات الثابتة، مقياس ليكرت، اختيار النموذج الخطي، المشاريع الصغيرة، الأبعاد الاجتماعية والمالية.

\*مدرس- قسم الإحصاء الرياضي- كلية العلوم -جامعة حمص.

# Optimizing Linear Modeling for Ordinal and Nominal Data Using a Novel Algorithm

Fatima Shallaf\*

#### **Abstract**

This study aims to develop an effective algorithm for selecting the most appropriate linear model for analyzing ordinal data measured using the Likert scale. The approach involves transforming the ordinal data into quantitative data suitable for statistical analysis using the Categorical Principal Components Analysis (CATPCA) technique. This method allows for the conversion of nominal and ordinal variables into quantitative forms while preserving linear relationships among variables, enabling the evaluation of different linear models within a panel data framework.

The proposed algorithm was applied to data from small-scale projects in Homs city and its countryside, with a focus on the social and financial dimensions. The ordinal data were transformed using CATPCA, followed by testing three panel data models—pooled, fixed effects, and random effects—to determine the most efficient one.

The results indicated that the pooled model was the most suitable. A strong positive relationship was found between the social dimension and the first financial component, associated with profit, sustainability, and investment orientation. A positive effect was also observed for the component related to expansion and strategic success, while a negative effect was noted for the purely evaluative financial component. These findings highlight the importance of sustainable financial performance and strategic growth in maximizing the social impact of small enterprises.

Keywords: Categorical Data, Ordinal Data, Nominal Data, Categorical Principal Components Analysis (CATPCA), Panel Data Models, Fixed Effects Model, Likert Scale, Linear Model Selection, Small Enterprises, Social and Financial Dimensions

\*Teacher, Dept. of Mathematical Statistics, Faculty of Science, Homs University.

# مقدمة (Introduction):

تُعدّ البيانات متعددة الأبعاد والمصنفة زمنياً من أهم أشكال البيانات التي تواجه الباحثين في مجالات الاقتصاد والاجتماع والنتمية، وخاصة ما يُعرف ببيانات البانل، والتي تجمع بين البُعدين الزماني والمكاني، مما يوفر معلومات أعمق ويساعد على تتبّع التغيرات في الظواهر المدروسة. وفي كثير من الحالات، تكون هذه البيانات غير كمية (اسمية أو ترتيبية)، مما يحدّ من إمكانية استخدامها ضمن النماذج الاقتصادية القياسية التقليدية، وهنا تبرز الحاجة إلى تقنيات تحليلية قادرة على التعامل مع هذا النوع من البيانات.

من بين هذه التقنيات، يأتي تحليل المركبات الأساسية الفئوية (CATPCA) كأداة إحصائية فعالة تتيح تحويل البيانات الاسمية والترتيبية إلى مركبات كمية يمكن إدراجها ضمن النماذج الإحصائية المتقدمة، مع الاحتفاظ بالمعلومات البنيوية الكامنة فيها.

يركز هذا البحث على توظيف تقنية CATPCA في معالجة وتحليل بيانات ترتبط بـــ المشاريع الصخيرة، بهدف دراسة العوامل المؤثرة عليها، وتحديد النموذج الأنسب من بين نماذج بيانات البانل (المجمّع، التأثيرات الثابتة، التأثيرات العشوائية). ويُشكل هذا التطبيق العملي خطوة نحو دعم صناع القرار بمؤشرات دقيقة يمكن الاعتماد عليها في رسم السياسات التنموية المستندة إلى معطبات واقعبة.

#### مشكلة البحث:

يواجه الاستثمار الاجتماعي في سوريا والعالم العربي تحديات كبيرة نتيجة نقص الوسم الإحصائي الدقيق لهذه الاســـتثمارات، مما يعيق فهم وتقييم العوامل المؤثرة على نجاحها. يعتمد كثير من الدراسات على بيانات ترتيبية مأخوذة من استبيانات تقديرية ذات دقة محدودة، وصعوبة في تحليلها بالطرق الإحصائية التقليدية. بالإضافة إلى ذلك، يفتقر المجال إلى خبراء متخصصين وأبحاث متعمقة، مما يحد من تطوير أدوات تحليلية فعالة. يسعى هذا البحث لسد هذه الفجوة عبر تطوير خوارزمية مبتكرة لتحليل البيانات الترتيبية باستخدام نماذج بانل، بهدف توفير أساس علمي موثوق يدعم اتخاذ قرارات استثمارية أكثر دقة وفعالية.

#### أهمية البحث:

- 1. تطوير أدوات تحليل البيانات :ابتكار خوارزميات تدعم تحليل البيانات الاسمية والترتيبية وتحسين تحليل مقياس ليكرت لزيادة دقة النتائج الإحصائية.
- 2. تعزيز الابتكار في التحليل الإحصائي: تمكين الباحثين من اتخاذ قرارات دقيقة ومستندة إلى نمذجة خطية متقدمة للبيانات.
- توفير إطار عملي : يساهم البحث في دعم مجالات الاستثمار الاجتماعي والمشاريع الصغيرة،
   مما يعزز النمو الاقتصادي.

ويحول البحث البيانات المقاسة بمقياس ليكرت إلى بيانات كمية باستخدام تقنية CATPCA ، ليتم بعدها مقارنة النماذج الخطية الثلاث لبيانات البانل ذات البعدين المكاني والزماني.

#### الهدف من البحث:

- تطویر مقیاس لیکارت الخماسی لفهم وتحلیل البیانات بشکل أکثر دقة، مما یعزز من دقة ووضوح النتائج ویسهم فی اتخاذ قرارات مستنیرة.
- 2-استخدام CATPCA لتحويل البيانات الفئوية (الاسمية والترتيبية) إلى قيم كمية، مما يعزز دقة النتائج في الأبحاث الاجتماعية.
- 3-تقديم توصيات قابلة للتنفيذ لتحسين السياسات الدراسات الاحصائية التي تدعم التنمية الاجتماعية والاقتصادية، استناداً إلى فهم عميق للعوامل المؤثرة المستخلصة منCATPCA.
- 4- تقديم دراسة حالة باستخدام التحليل الإحصائي للاستثمار الاجتماعي :تتضمن نماذج إحصائية لتحديد المتغيرات الأساسية المؤثرة وتقديم توصيات لتحسين أداء الاستثمارات الاجتماعية في سوريا. 
  Principal Components Analysis ) تحليل المركبات الأسساسية القنوية (Categorical):[1] [2] مقدمة:

في العلوم الاجتماعية والسلوكية غالباً ما يواجه الباحثون عدداً كبيراً من المتغيرات التي يرغبون في تقليلها إلى عدد أصغر من المركبات مع أقل قدر ممكن من فقدان المعلومات، يعتبر تحليل المركبات الأساسية (PCA) طريقة مناسبة لإجراء تقليل البيانات. تعاني PCA من اثنين من القيود الهامة أولاً: يفترض أن العلاقات بين المتغيرات خطية، وثانياً: يكون تفسيرها معقولاً فقط إذا تم افتراض أن جميع المتغيرات يتم قياسها كمياً، ولكن في العلوم الاجتماعية والسلوكية غالباً ما تكون هذه الافتراضات غير متوفرة وبالتالي قد لا تكون PCA التقليدية دائماً الأنسب للتحليل، لذا تم تطوير بديل يشار إليه باسم تحليل المركبات الأساسية الفئوية (CATPCA )، وهذه الطريقة

البديلة لها نفس أهداف تحليل المركبات الأساسية التقليدية، ولكنها مناسبة لمتغيرات مستويات القياس المختلطة (الاسمية، الترتيبية، الفئوية).

# تعريف تحليل المركبات الأساسية الفئوية CATPCA:[1][2][2]

هو تقنية إحصائية تهدف إلى تقليل عدد الأبعاد في مجموعة بيانات متعددة المتغيرات مع متغيرات وكوية، مع الحفاظ على أكبر قدر ممكن من التباين في البيانات، يختلف CATPCA عن PCA التقليدي في أنه يستطيع التعامل مع المتغيرات الفئوية باستخدام عملية تعرف بالقياس الكمي الأمثل(Optimal Scaling).

CATPCA و PCA يقدمان نفس الحلول تماماً عندما نتعامل مع البيانات الكمية. القياس الكمى الأمثل Gifi ودالة الخسارة:[4][3]

القياس الكمي الأمثل هو عملية تحويل المتغيرات الفئوية إلى قيم كمية بطريقة تحافظ على البنية الأساسية للبيانات وتسمح بتحقيق الأهداف التحليلية لــــPCA ، يستخدم القياس الكمي الأمثل لتحويل المتغيرات الفئوية إلى قيم عددية تعظم مقدار التباين المفسر VAF في البيانات.

تُعتبر دالة الخسارة (Loss Function) في CATPCA مقياساً لمدى اختلاف القيم المحولة (المقاســة كمياً) للفئات الفئوية عن القيم المثلى التي نهدف إليها، يتمثل الهدف في تقليل هذه الاختلافات إلى الحد الأدنى لتحقيق أفضل قياس كمى للفئات.

#### صياغة دالة الخسارة:[6][5][4]

لنأخذ مصفوفة درجات الفئات Hوالتي تحتوي على n من الأفراد (المشاهدات) و m من المتغيرات، يمثل كل عمود زفي H المتغير الفئوي .Xj

بعد تحويل المتغيرات الفئوية إلى قيم كمية Q، يمكننا التعبير عن دالة الخسارة على النحو التالي:

$${}_{F}^{2} \| \mathbf{S} \mathbf{A}^{T} - \mathbf{H} \| = L(\mathbf{H}, \mathbf{S}, \mathbf{A})$$

# تفسير دالة الخسارة:

- مصفوفة درجات الفئات H: تمثل البيانات الأصلية للمتغيرات الفئوية.
- مصفوفة القيم المحولة Q: تحتوي على القيم العددية المحولة من المتغيرات الفئوية بعد عملية القياس الكمى الأمثل.
- مصفوفة درجات الكائن S: تحتوي على درجات الأفراد على المركبات الأساسية المحسوبة للقيم المحولة.

- مصفوفة تحميلات المركبات A: تحدد العلاقة بين المتغيرات الأصلية والمركبات الأساسية.
- إ⋅ا ∓: هي الدالة المعيارية الفروبينوسية(Frobenius norm) ، التي تحسب مجموع مربعات الفروقات بين العناصر في المصفوفتين.

تهدف دالة الخسارة Lإلى تقليل الفرق بين المصفوفة الأصلية Hوالمصفوفة المحسوبة  $SA^T$ ، يُستخدم هذا التخفيض في الفرق لضمان أن التحويل الفئوي يعكس أعظم تباين بين البيانات.

# مراحل حساب دالة الخسارة[6][5][4]:

# 1. التحويل الأولي للمتغيرات الفئوية:

تبدأ العملية بتحويل مبدئي لفئات المتغيرات إلى قيم باستخدام أي طريقة مناسبة أو استخدام تقديرات مبدئية معروفة.

#### 2. حساب دالة الخسارة:

باستخدام التحويل المبدئي، يتم حساب دالة الخسارة التي تقيس الفرق بين القيم الفعلية والقيم المحولة.

#### 3. تحديث القيم المحولة:

تُحدث القيم المحولة Qفي اتجاه تقليل دالة الخسارة Lهذا يمكن أن يتضمن طرق التحسين مثل المربعات الصغرى.

# 4. إعادة تقييم دالة الخسارة:

بعد كل تحديث، تُعاد حساب دالة الخسارة لتحديد مدى فعالية التحسين، إذا كانت دالة الخسارة لا تزال فوق عتبة معينة أو لم تتغير كثيراً، فإن العملية تستمر.

#### 5. التكرار حتى التقارب:

تتكرر العملية السابقة حتى تصل دالة الخسارة إلى الحد الأدنى أو حتى يتم تحقيق التقارب، مما يعني أن القيم المحولة أصبحت مستقرة ولا تتحسن بشكل كبير مع التكرارات الإضافية بعد تطبيق هذه الخوارزمية نضمن قاعدة بيانات جديدة تتألف من متغيرات جديدة كمية وهنا بعد

بعد تصييق هذه الخوارزمية تصلم فاعدة البيانات تتحول البيانات الى بيانات بانل. إضافة البعد الزماني والمكاني لقاعدة البيانات تتحول البيانات الى بيانات بانل.

# مفهوم بيانات البانل(Panel Data) مفهوم

بيانات البانل هي نوع من قواعد البيانات التي تجمع بين خصائص البيانات المقطعية والبيانات الزمنية في آن واحد.

- البيانات المقطعية: (Cross-sectional data) تصف سلوك مجموعة من الوحدات أو الأفراد في لحظة زمنية واحدة، مثل الدول أو الشركات أو الأسر في سنة معينة.
- البيانات الزمنية :(Time series data) تركز على متابعة سلوك وحدة واحدة عبر فترات زمنية متتالية.

أما بيانات البانل، فهي تتكون من ملاحظات لمجموعة من الوحدات (مثل دول أو محافظات أو مؤسسات) تم رصدها عبر عدة فترات زمنية، مما يسمح بدراسة تأثير المتغيرات عبر الزمن والمكان معًا.

يمكن تلخيص مكونات بيانات البانل في ثلاثة أبعاد رئيسية:

- 1. البُعد الموضوعي :أي المتغيرات التي يتم دراستها (مثل المتغير التابع والمتغيرات المستقلة).
  - 2. البُعد الزمني :يمثل الفترات الزمنية التي تمت فيها الملاحظات.
  - 3. البُعد المقطعي (المكاني) :مثل الوحدات الجغرافية أو المؤسسات أو الأفراد.

تكمن أهمية بيانات البانل في قدرتها على دمج التحليل الزمني مع التحليل المقطعي، مما يوفر معلومات أغنى وأدق من تحليل كل نوع على حدة.

توجد تسميات متعددة لهذا النوع من البيانات، مثل البيانات المدمجة أو البيانات الطولية، والتسمية الأكثر شيوعًا واستخدامًا هي البيانات الطولية. (Panel Data)

# النماذج الأساسية لتحليل بيانات بانل: [7][11]

# Basic Models for Panel Data Analys:

اقترح العالم (w.green) عام 1993 الصيغة الأساسية لانحدار البيانات الطولية، ومن هنا تأتى نماذج البيانات الطولية في ثلاثة أشكال رئيسية هي:

- (1 (Pooled Regression Model) PRM نموذج الانحدار التجميعي (1
  - (2 نموذج التأثيرات الثابتة FEM) نموذج التأثيرات الثابتة (2
  - (Random Effect Model) REM نموذج التأثيرات العشوائية

# 1- نموذج الانحدار التجميعي Pooled Regression Model [12][11]

يعدُ هذا النموذج من أبسـط نماذج البيانات الطولية حيث تكون فيه جميع المعاملات  $\beta_{0(i)}, \beta_i$  ثابتة لجميع اللحظات الزمنية ( يهمل أي تأثير للزمان والمكان).

بإعادة كتابة النموذج في المعادلة (1.1) نحصــل نموذج الانحدار التجميعي بالصــيغة الآتية:

$$Y_{it} = \beta_0 + \sum_{j=1}^{n} \beta_j X_j(it) + \varepsilon_{it}$$
 (1)

حيث أن:

$$\varepsilon_{it} \sim N(0, \sigma^2)$$
  $\varepsilon_{it} = 1, 2, \dots, T$   $\varepsilon_{it} = 1, 2, \dots, N$ 

نستخدم طريقة المربعات الصغرى العادية في تقدير معلمات النموذج في المعادلة (1) بعد أن يتم ترتيب القيم الخاصة بمتغير التابع والمتغير المستقل بدءاً من أول مجموعة بيانات مكانية وهكذا بحجم مشاهدات مقداره N\*T.

# 2- نموذج التأثيرات الثابتة Fixed Effect Model -2

يكون الهدف منها معرفة سلوك كل مجموعة بيانات مكانية على حدة، من خلال جعل يكون الهدف منها معرفة سلوك كل مجموعة بيانات الميل  $\beta_j$  ثنابتة لكل المجموعات المقطعية (المكانية)، وعليه فإن نموذج التأثيرات الثابتة يكون بالصيغة الآتية:

$$Y_{it} = \beta_{0(i)} + \sum_{j=1}^{n} \beta_j X_j(it) + \varepsilon_{it}$$
 (2)

حيث أن:

$$\varepsilon_{it} \sim N(0, \sigma^2)$$
 و  $t = 1, 2, \dots, T$  و  $i = 1, 2, \dots, N$ 

ويقصد بمصطلح التأثيرات الثابتة بأن المعلمة  $\beta_0$  لكل مجموعة بيانات مكانية لا تتغير خلال الزمن وأن التغير فقط في مجموعات البيانات المكانية (المقاطع) و لتقدير معلمات النموذج في المعادلة (2) السماح للمعلمة بالتغيير بين المجاميع المقطعية.

# 3\_ نموذج التأثيرات العشوائية Random Effect Mode [13] [14]

في نموذج التأثيرات الثابتة يكون حد الخطأ  $\varepsilon_{it}$  ذا توزيع طبيعي متوسطه مقداره صفر وتباينه مساوٍ إلى  $\sigma^2$  ولكي تكون معلمات نموذج التأثيرات الثابتة صحيحة وغير متحيزه، وعادة ما يفرض بأن تباين الخطأ ثابت (متجانس) لجميع المشاهدات المكانية وليس هناك أي ارتباط ذاتي خلال الزمن بين كل مجموعة من مجاميع المشاهدات المكانية في لحظة زمنية محددة.

في نموذج التأثيرات العشوائية يتكون حد الخطأ من جزئين  $v_i$  يمثل حد الخطأ في البيانات المكانية و  $\varepsilon_{it}$  عد الخطأ الناتج من دمج البيانات المكانية مع السلاسل الزمنية بيعتبر نموذج التأثيرات العشوائية نموذجاً ملائماً في حالة وجود خلل في أحد الفروض المذكورة في نموذج التأثيرات الثابتة.

سوف نعامل 
$$eta_{0(i)}$$
 کمتغیر عشوائی له معدل مقداره  $eta_{0(i)}$ 

$$\beta_{0(i)} = \mu + \nu_i \tag{3}$$

معادلة نموذج التأثيرات العشوائية:

$$Y_{it} = \mu + \nu_i + \sum_{j=1}^{n} \beta_j X_j(it) + \varepsilon_{it}$$
 (4)

i ميث أن  $v_i$  يمثل حد الخطأ في مجموعة البيانات المكانية

يطلق على نموذج التأثيرات العشوائية أحياناً نموذج مركبات الخطأ بسبب أن النموذج في المعادلة (4) يحوي مركبين للخطأ هما  $v_i$  ويمتلك نموذج التأثيرات العشوائية خواصاً رياضية منها أن:

$$v_i \sim N(0, \sigma_v^2)$$
 g  $\varepsilon_{it} \sim N(0, \sigma_\varepsilon^2)$   
 $w_{it} = v_i + \varepsilon_{it}$   
 $w_{it} \sim N(0, \sigma_v^2 + \sigma_\varepsilon^2)$ 

# اختبارات تحديد النموذج الملائم [15][10]:

# **Test of Determine The Appropriate Model:**

يتم اختيار النموذج الأنسب لتحليل بيانات البانل من خلال مجموعة من الاختبارات التسلسلية، تبدأ باختبار فيشر، ثم اختبار هوسمان في حال لزم الأمر، كما يلي:

- 1. اختبار فیشر:(F-test)
- إذا كانت القيمة الاحتمالية (P-value) أكبر من 0.05، فإن النموذج التجميعي (Pooled Model) هو الأنسب، ولا حاجة لاستخدام نماذج التأثيرات.
- أما إذا كانت القيمة الاحتمالية أقل من 0.05، فهذا يعني وجود فروق معنوية بين الوحدات، ويجب الانتقال لاختبار هوسمان لتحديد نوع التأثيرات المناسب.

#### 2. اختبار هوسمان:(Hausman Test)

- إذا كانت القيمة الاحتمالية (P-value) أكبر من 0.05، فإن نموذج التأثيرات العشوائية (Random Effects Model)
  - أما إذا كانت القيمة الاحتمالية أقل من 0.05، فإن نموذج التأثيرات الثابتة Fixed) Effects Model)

يمكن تلخيصه في الجدول التالي:

الجدول (6) اختبارات تحديد النموذج

P. valu	P. value > 0.05	
Hausr	النموذج التجميعي هو المناسب	
P. value < 0.05	P. value > 0.05	
نموذج التأثيرات الثابتة هو المناسب	نموذج التأثيرات العشوائية هو المناسب	

# خوارزمية العمل:

# تقسم الخوارزمية الى مرحلتين أساسيتين:

المرحلة الأولى: تحليل المركبات الأساسية الفئوية (CatPCA)

- تُستخدم لتحويل المتغيرات النوعية (الاسمية والترتيبية) إلى متغيرات كمية مع الاحتفاظ بأكبر قدر من التباين.
- مخرجات هذه المرحلة هي المتغيرات الأساسية الكمية بدلاً من بيانات ليكارت الترتيبية
   وتمثيلها الوهمي.

#### الخطوات:

- 1. تجهيز البيانات (ترميز المتغيرات، تحديد النوع: اسمى أو ترتيبي).
  - 2. تطبيق CatPCA للحصول على المركبات الأساسية.
- 3. اختيار عدد المركبات بناءً على القيمة التراكمية للتباين (مثلاً 80%).
  - 4. استخدام هذه المركبات كمُدخلات في المرحلة الثانية.

# المرجلة الثانية :نماذج البانل Panel Models

الهدف: إيجاد النموذج الأفضل لتمثيل العلاقة بين المركبات الأساسية (كمتغيرات مستقلة) والمتغير التابع (ويمكن أن يكون دخل، مستوى رضا، إلخ).

اختيار النموذج الأفضل من خلال الاختبارات آنفة الذكر.

### التطبيق العملى:

#### عينة الدراسة:

بما ان الدراسة تهتم بمجتمع حمص وريفها (المستفيدين من المشاريع الصغيرة) قمنا باختيار العينة بطريقة العينة الطبقية وبكسر معاينة قدره  $\frac{1}{5}$  حيث قُسم مجتمع الدراسة الى طبقتين الأولى طبقة المدينة وكانت نسبة المستفيدين 90% من مجتمع الدراسة، والطبقة الثانية فهي طبقة الريف وكانت نسبة المستفيدين الريفين هي 10% من مجتمع الدراسة، وباستخدام برنامج kobo وكانت نسبة المستفيدين الريفين هي 10% من مجتمع الدراسة، وباستخدام برنامج Toolbox ومن ثم نسخ رابط الاستبيان وتوزيعه على 100 شخص من المستفيدين من المشاريع الصغيرة، وتم استرجاع 87 استبيان واستبعاد (13) استبيان لعدم اكتمال الإجابات على فقرات الاستبيان.

تبنى الاستبيان أربع محاور رئيسية وهي كالتالي:

- 1- المحور الأول: محور الأثر الاجتماعي الذي يعتمد على تقييم أثر المشروع على تحسين معيشة السكان ومستوى رفاهية المجتمع.
  - 2- المحور الثاني: محور الأثر المالي الذي يهتم بتقييم زيادة الدخل الشخصى أو الربح.

### مرجلة تطبيق المركبات الأساسية الفئوية:

- 1- جمع وإدخال البيانات: تم جمع البيانات من أصحاب المشاريع الصغيرة، وذلك بملء الاستبيان الالكتروني
  - 2- تحول البيانات من البيانات الفئوية (الاسمية والترتيبية) إلى البيانات الكمية:

تحويل البيانات من الفئوية (مقياس ليكارت الى البيانات الكمية وذلك من خلال تطبيق خوارزميات التحويل القياس الأمثل (Gifi)) فكانت البيانات قبل التحويل عبارة عن درجات ليكارت الخماسي

وبعد تطبيق الخوارزمية المذكورة أعلاه تتحول البيانات إلى بيانات كمية.

# تطبيق المركبات الأساسية الفئوية على المحور الاجتماعى:

1- متغيرات المحور الاجتماعى:

بدايةً تم تحديد المتغيرات الآتية ضـمن المحور الاجتماعي لقياس الأبعاد الاجتماعية لمساهمة المشروع، وقد تم ترميز كل متغير وفق الجدول التالي، بما يعكس مختلف جوانب الأثر الاجتماعي المحتمل للمشروع على المجتمع المحلى:

ترميز المتغيرات	المتغيرات
تقيم تأثير المشروع على مستوى رفاهية المجتمع	$X_1$
النجاح في توظيف عمال أو توفير فرص عمل للشباب	$X_2$
الرغبة في مشاركة تجاربك في المشاريع الصغيرة مع المجتمع	$X_3$
تقييم أثر المشروع على تحسين معيشة السكان	$X_4$
تقديم فرصاً للتدريب وتطوير المهارات للمجتمع	<i>X</i> <sub>5</sub>
دعم المبادرات المجتمعية المحلية	<i>X</i> <sub>6</sub>
التأثير على التوظيف وفرص العمل في المنطقة	X <sub>7</sub>
المساهمة في تعزيز التواصل والروابط الاجتماعية	<i>X</i> <sub>8</sub>
تعزيز المساواة والتنوع الاجتماعي من خلال المشروع	<i>X</i> <sub>9</sub>
تعزيز الوعي بالقصايا الاجتماعية	X <sub>10</sub>

جدول رقم (1) متغيرات المحور الاجتماعي

2- التباين المحسوب VAF والقيم الذاتية:

وبعد تطبيق تحليل المركبات الأساسية الفئوية (CATPCA) على متغيرات المحور الاجتماعي، تم الحصول على القيم الذاتية (Eigenvalues) ونسب التباين المفسر (VAF) كما هو موضح في الجدول التالي، حيث يتبين أن المركبة الأولى تفسر ما نسبته 63.09% من التباين الكلي": الجدول التالي، المحسوب والقيم الذاتية

Cumulative VAF (%)	VAF (%)	Eigenvalue	الرقم
63.08646	63.086464	6.3086464	1
70.97791	7.891447	0.7891447	2
78.02544	7.047526	0.7047526	3
83.77494	5.749505	0.5749505	4
88.25175	4.476810	0.4476810	5
92.02496	3.773202	0.3773202	6
94.76438	2.739422	0.2739422	7
97.00971	2.245329	0.2245329	8
98.73076	1.721058	0.1721058	9
100.00000	1.269237	0.1269237	10

نظراً لاعتمادنا في اختيار عدد المركبات الأساسية على نسبة التباين الكلي المفسر، وكون دراستنا تركز على الجوانب الاقتصادية والاجتماعية، فقد تم اعتماد المركبات الأساسية الأربعة الأولى،

#### مجلة جامعة حمص المجلد 47 العدد 12 عام 2025

حيث بلغت نسبة التباين التراكمية المفسرة حوالي 83.77%، وهي نسبة كافية لتفسير بنية البيانات الأصلية بشكل مناسب.

3- تطبيق المركبات الأساسية على البيانات الكمية: بعد الحصول على البيانات الكمية (بيانات التحويل الأمثل) غدى تطبيق المركبات الأساسية سهل المنال وبالتالى نحصل على النتائج التالية:

				الساسية	المركبات			المركبات الساسية				
D10	D9	D8	D7	D6	D5	D4	D3	D2	D1			
0.1837859	-0.0829200	0.1850414	0.2924105	-0.0991691	0.1282038	-0.3277565	-0.2586118	-0.3941424	0.6954707	x1		
-0.0197908	-0.0692660	0.0725734	0.0037914	-0.0565124	0.1056849	-0.4435821	-0.3040270	0.4302051	0.7077375	x2		
-0.0465622	-0.0520247	-0.0292365	-0.1381855	0.5447925	-0.4582906	-0.0741165	-0.1751281	-0.1612770	0.6373169	x3		
-0.2015083	-0.0850134	-0.1349944	0.0639729	-0.1721869	0.0854508	0.3322540	-0.3441560	-0.0472758	0.8135293	x4		
0.1116479	0.1243261	0.2802360	0.1000726	-0.0753687	-0.0807847	0.3401353	0.0102561	0.1790028	0.8505794	x5		
0.1642026	-0.1832226	-0.0716637	-0.2930888	0.0618895	0.1594135	0.2875544	0.1359626	0.0407085	0.8463786	х6		
-0.0888977	0.2069113	-0.0686300	-0.2417751	0.0325257	0.3487330	0.0189040	-0.0647811	-0.1380771	0.8601324	x7		
-0.1978252	-0.1430102	0.2087912	0.1779050	0.0667460	-0.0219806	0.0029515	0.4078098	-0.0065839	0.8329887	x8		
-0.0289344	0.0735095	-0.0690267	-0.1568758	-0.2612662	-0.2876505	-0.3009346	0.2042062	-0.0652566	0.8227158	x9		
0.1368903	0.1676896	-0.3514375	0.2244943	0.0579044	-0.0595081	-0.0719648	0.2096998	0.1371559	0.8392714	x10		

الجدول رقم (7) تحميلات المركبات الأساسية

1) إن المتغيرات ذات التحميل المرتفع على المركبة الأساسية الأولى تشمل المتغيرات العشر كما هو موضح في جدول التحملات السابق وبالتالي، تعكس هذه المركبة الجوانب الاجتماعية العامة للمشروع من رفاهية، وفرص عمل، وتدريب، ودعم المجتمع، ويمكن اعتبارها الممثل الرئيسي للبُعد الاجتماعي الكلي.

- 2) أما المركبة الأساسية الثانية، فقد كان أعلى تحميل عليها :X2النجاح في توظيف عمال أو توفير فرص عمل للشباب، حيث يمتلك أعلى قيمة تحميل (0.4302)، مما يجعله الممثل الأبرز لهذا البُعد، أما المتغيرات الأخرى فكانت تحميلاتها منخفضة نسبياً، وبالتالي لا تسهم بشكل جوهرى في تفسير هذه المركبة.
- (3) المركبة الأساسية الثالثة تظهر فيها تحميلات مرتفعة للمتغير المساهمة في تعزيز التواصل والروابط الاجتماعية  $X_8$  بقيمة  $X_8$  بقيمة  $X_8$  مما يدل على أن هذه المركبة مرتبطة بالتواصل المجتمعي وتعكس تركيزها على تعزيز الروابط الاجتماعية والتفاعل بين أفراد المجتمع.
- 4) المركبة الأساسية الرابعة تُظهر تحميلات مرتفعة لكل من المتغيرات التالية: تقييم أثر المشروع على تحسين معيشة السكان  $X_4$ بتحميل قدره  $X_4$ بتحميل قدره وتقديم فرص للتدريب وتطوير المهارات للمجتمع  $X_5$ بتحميل  $X_6$ بتحميل المهارات المجتمعية المحلية  $X_6$ بتحميل  $X_6$ بتحميل المركبة تعكس بُعدًا يرتبط بتحسين الظروف المعيشية، من خلال توفير فرص التدريب وبناء القدرات، إلى جانب دعم المبادرات المجتمعية.

يمكن الاستنتاج من التحليل أن الاعتماد على أربع مركبات أساسية فقط يكفي لتفسير البيانات بشكل شامل، مع المحافظة على نسبة التباين التراكمية المرتفعة التي تعكس بدقة البنية الكامنة للمجموعة الأصلية من المتغيرات، مما يحقق هدف تقليل الأبعاد دون فقدان المعلومات الجوهرية تطبيق المركبات الأساسية الفئوية على المحور المالى:

# 1- متغيرات المحور المالى:

بدايةً تم تحديد المتغيرات الآتية ضمن المحور المالي لقياس الأبعاد المالية لمساهمة المشروع، وقد تم ترميز كل متغير وفق الجدول التالي، بما يعكس مختلف جوانب الأثر المالي المحتمل للمشروع على المجتمع المحلى:

جدول رقم () متغيرات المحور المالي

ترميز المتغيرات	المتغيرات
تقييم زيادة الدخل الشخصي أو الربح	$y_1$
تقييم استدامة المشروع المالية	$y_2$
رغبتك بمشاركة تجاربك في إدارة المشاريع الصغيرة لتعزيز النمو	$y_3$
الاقتصادي	
توسيع المشروع أو إطلاق مشروعات جديدة بفضل نجاح مشروعك	$y_4$
الحالي	

#### مجلة جامعة حمص المجلد 47 العدد 12 عام 2025

استراتيجيات لتحسين أداء مشروعك من الناحية المالية	$y_5$
هل تلقيت دعماً مالياً من المصارف أو المؤسسات المالية لتوسيع مشروعك	$y_6$
التخطيط للاستثمار في تحسين البنية التحتية أو تحسينات تقنية لتعزيز أداء المشروع مالياً	<i>y</i> <sub>7</sub>

#### 2- التباين المحسوب VAF والقيم الذاتية:

وبعد تطبيق تحليل المركبات الأساسية الفئوية (CATPCA) على متغيرات المحور المالي، تم الحصول على القيم الذاتية (Eigenvalues) ونسب التباين المفسر (VAF) كما هو موضح في الجدول التالي، حيث يتبين أن المركبة الأولى تفسر ما نسبته 39.17% من التباين الكلى:

الجدول رقم () التباين المحسوب والقيم الذاتية للمحور المالى.

Cumulative VAF (%)	VAF (%)	Eigenvalue	الرقم
39.16756	39.167558	2.741729	1
55.80241	16.634854	1.164440	2
69.87219	14.069782	0.984885	3
79.45572	9.583537	0.670848	4
88.03298	8.577258	0.600408	5
95.19310	7.160126	0.501209	6
100.00000	4.806884	0.336482	7

بناءً على الجدول الذي يعرض القيم الذاتية ونسب التباين المفسر، نلاحظ أن أول خمس مركبات أساسية تفسر ما نسبته حوالي 88.03% من إجمالي التباين في البيانات، ونظرًا لأن هذه النسبة قريبة جدًا من 90%، فهي تمثل جزءًا كبيرًا من التباين الكلي، مما يشير إلى أن هذه المركبات الخمس تحتفظ بقدر كافٍ من المعلومات الكامنة في البيانات الأصلية، وبالتالي يمكن اعتمادها كأساس لتفسير الأبعاد الكامنة وتحليل الهيكل الداخلي للبيانات.

3- تطبيق المركبات الأساسية على البيانات الكمية:

بعد الحصول على البيانات الكمية (بيانات التحويل الأمثل) غدى تطبيق المركبات الأساسية سهل المنال وبالتالي نحصل على النتائج التالية:

المركبات الأساسية					المتغير		
$M_7$	$M_6$	$M_5$	$M_4$	$M_3$	$M_2$	$M_1$	
0.22985980	-0.39569997	0.26390212	-0.34215245	0.5032507	0.07108663	0.5878425	$y_1$
0.04472924	0.40609092	-0.04075985	-0.32646637	0.4660847	0.11643303	0.7028913	$y_2$
0.27601618	-0.11778150	-0.43547172	-0.03459989	0.1761686	0.63624704	-0.5322257	$y_3$

-0.37285611	0.08599253	0.15018116	0.24023252	0.6189094	0.17045619	-0.6010103	$y_4$
-0.17665704	0.03851103	0.12076651	-0.60445279	-0.1266881	0.26259265	-0.7087713	$y_5$
0.07978757	-0.07994516	-0.26855244	-0.19712100	0.2647324	-0.70488103	-0.5561700	$y_6$
-0.49186281	-0.18111369	-0.49528145	-0.06834103	-0.0058544	0.19544060	0.6611076	$v_7$

#### من خلال الجدول السابق نستطيع القول:

- $y_1$  تظهر المركبة الأساسية الأولى ( $M_1$ ) تحميلات مرتفعة على المتغيرات التالية: المتغير ( $y_2$ ) التقييم زيادة الدخل الشخصي أو الربح) بتحميل مقداره  $y_3$ 0.5878، والمتغير السندامة المشروع المالية) بتحميل  $y_4$ 0.7029، والمتغير المشروع المالية) بتحميل البنية التحتية أو تحسينات تقنية لتعزيز الأداء المالي للمشروع) بتحميل  $y_4$ 1. البنية التحميلات المرتفعة إلى أن المركبة  $y_4$ 1 تمثل بُعدًا اقتصاديًا واستثماريًا، يُعبر عن تركيز المشاركين على تحقيق الربح، وضمان الاستدامة المالية، والتخطيط لتوسعة مشاريعهم وتطويرها تقنيًا.
- 2) أما المركبة الأساسية الثانية ( M<sub>2</sub>) ، فقد أظهرت تحميلًا مرتفعًا بشكل خاص على المتغير الإرالرغبة في مشاركة التجارب في إدارة المشاريع الصغيرة لتعزيز النمو الاقتصادي) وتحميل مقداره 0.6362، وكذلك المتغير وك(استراتيجيات لتحسين الأداء المالي للمشروع) بتحميل مقداره 0.2626. وهذه القيم إلى أن المركبة M<sub>2</sub> تُجسّد بُعدًا معرفيًا ومجتمعيًا، يتمحور حول تبادل الخبرات والسعي لتحسين الأداء من خلال التعلم والمشاركة، مما يسمح بتسميتها بـ "مركبة المشاركة والتعلّم المجتمعي."
- (3) أما المركبة الأساسية الثالثة ( M<sub>3</sub>) ، فقد تميزت بتحميلات مرتفعة على كل من المتغير المتغير المتخصي أو الربح) بتحميل 0.5033 ، والمتغير المشروع المشروع المشروع المالية) بتحميل 0.4661 ، بالإضافة إلى المتغير المشروع أو إطلاق مشروعات جديدة بفضل نجاح المشروع الحالي) بتحميل 0.6189 . توجهًا نحو التوسع والنجاح الاستراتيجي، وتشير إلى وجود عقلية نمو لدى أصحاب المشاريع، تهدف إلى البناء على النجاحات الحالية من أجل تحقيق مستويات أعلى من الإنجاز.
- $y_5$  أما المركبة الأساسية الرابعة  $(M_4)$ ، فقد سجلت تحميلات سالبة مرتفعة على المتغير (استراتيجيات لتحسين الأداء المالي) بتحميل -0.6045، والمتغير زيادة الدخل

الشخصي أو الربح) بتحميل 0.3422-، والمتغير الله السندامة المشروع المالية) بتحميل . 0.3265. ويشير هذا النمط إلى بُعد نقدى أو تقويمي الأداء المشروع المالي، حيث تعكس هذه المركبة توجّهًا نحو مراجعة الأداء المالي بهدف التحسين، وربما تكشف عن درجة من عدم الرضا أو الحاجة إلى إعادة التقييم الاستراتيجي.

5) أما المركبة الأساسية الخامسة ( M<sub>5</sub>) ، فقد ظهر تأثيرها الأبرز على المتغير الإرتقييم زيادة الدخل الشخصي أو الربح) بتحميل موجب قدره 0.2639، وعلى التخطيط للاستثمار في تحسين البنية التحتية أو تحسينات تقنية لتعزيز الأداء المالي للمشروع) بتحميل سالب نسبيًا قدره 0.4953-، وكذلك على الرغبة في مشاركة التجارب) بتحميل -.0.4355 هذا التوزيع يشـــير إلى بعد مركب يتأرجح بين تقييم الربح الفردي والتردد في المشاركة أو التخطيط طويل الأمد، ما قد يعكس بُعداً تنافسياً فردياً أو تحفظاً في مشاركة المعرفة والتخطيط الجماعي، ويمثل توجهاً نحو التركيز على المكاسب الفردية أكثر من التشاركية أو التطوير الجماعي.

لكي نتفادى الازدواج الخطي في تطبيق نماذج بانل الثلاث (اذا طُبقت فقط على المركبات الأساسية الفئوية للمحور الاجتماعي فقط) لجأنا الى الاعتماد على المركبة الأساسية الأولى في المحور الاجتماعي كمتغير تابع في نماذج بانل الثلاث والمركبات الأساسية الخمس في المحور المالى كمتغيرات مستقلة

الوصف	المتغير
المركبة الأساسية الأولى للمحور الاجتماعي، وتمثل تأثير المشروع اجتماعيًا	<b>D1</b>
المركبة المالية الأولى، وتمثل الربح، الاستدامة، والاستثمار	$M_1$
المركبة المالية الثانية، وتشير إلى المشاركة المجتمعية ونقل الخبرات	$M_2$
المركبة المالية الثالثة، وتمثل التوسع والنجاح الاستراتيجي للمشروع	$M_3$
المركبة المالية الرابعة، وتعكس النقد والتحليل الاستراتيجي للأداء المالي	$M_4$
مركبة إضافية، تمثل الاستراتيجيات المتبعة لتحسين الأداء المالي	$M_5$

فكانت النتائج بالشكل التالي:

التجميعي:	النموذج
	<u></u>

الدلالة الإحصانية	القيمة الاحتمالية (p-value)	t (t- value)	الخطأ المعياري (Std. Error)	(Estimate) التقدير	المتغير المستقل
لا توجد	1.00000	0.000	0.05817	-1.145e-17	(الثابت)
مرتفعة جداً ***	< 2e-16	12.546	0.05817	0.7298	$M_1$
غير دالة	0.19346	1.311	0.05817	0.07628	$M_2$
مرتفعة جداً ***	6.92e-09	6.471	0.05817	0.3764	$M_3$
دالة **	0.00206	-3.185	0.05817	-0.1853	$M_4$
شبه دالة .	0.06894	1.843	0.05817	0.1072	$M_5$

# تفسير علمي للعلاقة بين البُعد الاجتماعي والبُعد المالي للمشاريع:

تشــير نتائج تحليل الانحدار إلى وجود علاقة قوية بين البُعد الاجتماعي الممثل في المركبة الأساسية الأولى D1 وبعض الأبعاد المالية الأساسية فقد تبين أن المركبة المالية الأولى  $M_1$  التي تمثل الجوانب المالية والاستثمارية للمشروع أي تقييم الربح واستدامة المشروع والتوجه الاستثماري، تُعد العامل الأهم والأكثر تأثيراً على البعد الاجتماعي، حيث كانت معاملتها في النموذج موجبة ودالة إحصائياً بشكل قوى

هدا يعكس أن المشاركين الذين يولون أهمية للربح ( $\beta = 0.7298$ , p < 0.001). والاستدامة والتطوير المالي لمشروعاتهم، غالباً ما يكون لمشروعاتهم أثر اجتماعي إيجابي، خاصة في تحسين رفاه المجتمع وزيادة التوظيف.

أما المركبة الثالثة  $M_3$  التي ترتبط بالتوسع والنجاح الاستراتيجي، فقد أظهرت أيضاً تأثيراً إيجابياً واضحاً ودالاً على البعد الاجتماعي ( $\beta = 0.3764$ , p < 0.001) ، مما يدل على أن نجاح المشاريع ونموها يرتبط ارتباطاً وثيقاً بتأثيرها الاجتماعي، ربما من خلال زيادة فرص العمل أو تقديم نماذج ملهمة للآخرين.

من ناحية أخرى، نجد أن المركبة الرابعة  $M_4$ ، التي تعكس بعداً نقدياً تقويمي تجاه الأداء المالي، لها تأثير سلبي ودال على البعد الاجتماعي

# سلسلة العلوم الأساسية د. فاطمة شلاف

يمكن تفسير هذا الأثر بأن التقييم النقدي المفرط قد يرتبط ( $\beta = -0.1853$ , p = 0.002). بعدم الرضا أو الإحباط المالي، مما قد يقلل من الحماس للمشاركة المجتمعية أو التأثير الاجتماعي الإيجابي.

أما المركبتان الثانية  $M_2$  الموالخامسة  $M_5$  واللتان تمثلان أبعاداً معرفية واستراتيجية، فلم يكن تأثيرهما دالاً إحصائياً بشكل واضح، رغم اقتراب  $y_5$  من الدلالة (p = 0.068) قد يشير ذلك إلى أن التأثير الاجتماعي للمشروع لا يتأثر مباشرة بالإستراتيجيات النظرية أو برغبة المشاركة فحسب، بل يعتمد أكثر على التطبيق العملي والاستدامة والنجاح الحقيقي للمشروع.

تُظهر النتائج أن المشاريع التي تركز على الربحية والاستدامة والتوسع ترتبط ارتباطاً إيجابياً وقوياً بتحقيق الأثر الاجتماعي، بينما التحليل النقدي للأداء المالي قد يحمل تأثيراً سلبياً على ذلك الأثر. وهذا يعزز من أهمية دعم رواد الأعمال لتحقيق استقرار مالي حقيقي واستراتيجي لمشروعاتهم بهدف تعظيم العائد الاجتماعي للمجتمع المحلي.

 $D_1 = 0.7298 \cdot M_1 + 0.0763 \cdot M_2 + 0.3764 \cdot M_3 - 0.1853 \cdot M_4 + 0.1072 \cdot M_5 + \varepsilon$ مقیاس جودة النموذج:

التقسير	القيمة	المؤشر
من التباين في المتغير التابع. هذا يعني أن %72.6يشير إلى أن النموذج يفسر حوالي	0.7259	R-squared
.المتغيرات المستقلة الخمسة تفسّر جزءًا كبيرًا من السلوك الكلي للمتغير التابع		
يمثل النسبة المعدلة التي تأخذ في الاعتبار عدد المتغيرات المستقلة، مما يجعلها مؤشرًا	0.7090	Adjusted R-
من التباين %70.9أكثر دقة للمقارنة بين نماذج مختلفة. تعني هذه القيمة أن حوالي		squared
مفسر بعد ضبط النموذج لتعقيده.		
هو الخطأ المعياري لبواقي النموذج (أي متوسط المسافة بين القيم الحقيقية والمتوقعة)،	0.5426	Residual Std.
.وكلما كانت هذه القيمة أصغر كان النموذج أكثر دقة		Error
تختبر ما إذا كان النموذج ككل معنويًا، أي أن هن F إحصائية	42.91	F-statistic (5,
		81 df)

#### 1- نموذج التأثيرات الثابتة:

الدلالة الإحصانية	القيمة الاحتمالية (p-value)	t (t- value)	الخطأ المعياري (Std. Error)	التقدير (Estimate)	المتغير المستقل
لا توجد	1.00000	0.000	0.05817	-1.145e-17	(الثابت)
مرتفعة *** جداً	< 2e-16	12.3577	0.05810	0.7179	у
غير دالة	0.16488	1.4018	0.05781	0.0810	y2

مرتفعة *** جداً	9.49e-09	6.4172	0.05858	0.3759	у3
دالة **	0.00152	-3.2862	0.05776	-0.1898	y4
شبه دالة .	0.07611	1.7973	0.05862	0.1054	y5

#### النتيجة:

تشـــير نتائج تحليل الانحدار إلى وجود علاقة قوية بين البُعد الاجتماعي) الممثل في المركبة الأساسية الأولى (D1 وبعض الأبعاد المالية المستخلصة من التحليل المكوني الأساسي.

فقد تبین أن المرکبة المالیة الأولی  $M_1$  ، التي تمثل الجوانب المالیة والاستثماریة للمشروع مثل تقییم الربح، استدامة المشروع، والتوجه الاستثماري، تُعد العامل الأهم والأكثر تأثیراً علی البُعد الاجتماعي، حیث کانت معاملتها في النموذج موجبة ودالة إحصائیاً بشکل قوي  $\beta$  (0.7179,  $\beta$  )

هذا يعكس أن المشاركين الذين يولون أهمية للربح والاستدامة والتطوير المالي لمشروعاتهم، غالباً ما يكون لمشروعاتهم أثر اجتماعي إيجابي، خاصة في تحسين رفاه المجتمع وزيادة التوظيف. أما المركبة الثالثة  $M_3$  التي ترتبط بـــ التوسع والنجاح الاستراتيجي، فقد أظهرت أيضاً تأثيراً إلى المركبة الثالثة واضحاً ودالاً على النبعد الاجتماعي، واضحاء والمشاريع ونموها يرتبط ارتباطاً وثيقاً بتأثيرها الاجتماعي، ربما من خلال زيادة فرص العمل أو تقديم نماذج ملهمة للآخرين.

من ناحية أخرى، نجد أن المركبة الرابعة  $M_4$  ، التي تعكس بعداً نقدياً تقويمياً تجاه الأداء السمالي، لها تأثير سمالي، لها تأثير سمالي، لها تأثير من المفرط قد يرتبط  $(\beta = -0.1898, p = 0.002)$ . بعدم الرضا أو الإحباط المالي، مما قد يقلل من الحماس للمشاركة المجتمعية أو التأثير الاجتماعي الإيجابي.

أما المركبتان الثانية  $M_2$  والخامسة  $M_5$  ، اللتان تمثلان أبعاداً معرفية واستراتيجية ، فلم يكن تأثير رهما دالاً إحصائياً بشكل واضح ، رغم اقتراب قيمة  $M_5$  من الدلالة . ( $M_5$  و  $M_5$  قد يشير ذلك إلى أن التأثير الاجتماعي للمشروع لا يتأثر مباشرة بالاستراتيجيات النظرية أو

# برغبة المشاركة فقط، بل يعتمد أكثر على التطبيق العملي، والاستدامة، والنجاح الحقيقي للمشروع.

 $D_{1} = 0.7179 \cdot M_{1} + 0.0810 \cdot M_{2} + 0.3759 \cdot M_{3} - 0.1898 \cdot M_{4} + 0.1054 \cdot M_{5} + \varepsilon$ 

التفسير	القيمة	المؤشر
النموذج يفسر حوالي 72.7% من التباين في المتغير التابع ( $D_1$ ).	0.727	R-Squared
النسبة المعدلة التي تأخذ في الاعتبار عدد المتغيرات المستقلة.	0.703	Adjusted R-Squared
تشير إلى أن النموذج ككل معنوي بدرجة عالية F إحصائية	42.13 (p < 0.001)	F-statistic
مجموع التباين الكلي في المتغير التابع (قبل التفسير)	83.849	<b>Total Sum of Squares</b>
الجزء غير المفسّر من التباين بواسطة النموذج	22.871	Residual Sum of Squares

#### المفاضلة بين نموذجي والتأثيرات الثابتة:

التقسير	القيمة الاحتمالية (p-value)	درجات الحرية	القيمة الإحصائية	الاختبار
لا توجد أدلة كافية لرفض الفرضية الصفرية، مما	0.1923	df1 = 2,	1.6834	اختبار فيشر للتأثيرات الفردية
بيعني أن التأثيرات الفردية ليست معنوية إحصائياً		df2 = 79		للنائيرات الفردية

القيمة الاحتمالية (p-value) أكبر من 0.05، مما يدل على عدم وجود تأثيرات فردية معنوية، وبالتالي لا داعي لتفضيل نموذج التأثيرات الثابتة على نموذج التجميع (Pooling) في هذه الحالة.

# النتائج والتوصيات:

تمكّن البحث من دراسة أعمق لبيانات مقاسة بمقياس ليكرت عبر تحويلها إلى بيانات كمية باستخدام تقنية المركبات الأساسية الفئوية(CATPCA) ، مما أتاح تحليلًا دقيقًا باستخدام نماذج بانل المختلفة. أظهرت النتائج أن النموذج التجميعي هو الأنسب لتمثيل الفروقات بين المشاريع والجوانب عبر الزمن. كما كشفت النتائج عن علاقة إيجابية قوية بين البعد الاجتماعي للمشاريع والجوانب المالية المرتبطة بالربح والاستدامة والتوسع الاستراتيجي، في حين كان للتقييم النقدي المالي أثر سلبي على الأثر الاجتماعي. بناءً على ذلك، يُوصى بدعم المشاريع الصغيرة لتحقيق استدامة مالية وتوسّع مدروس لتعظيم تأثيرها الاجتماعي.

#### المراجع:

1. Marie "lle Linting and Jacqueline J. Meulman, Patrick J. F. Groenen, Anita J. van der Kooij ,2007, Nonlinear Principal Components Analysis.

- 2. Marica Manisera, Elise Dusseldorp,2010, **Identifying the component** structure of job satisfaction by categorical principal components analysis Università degli Studi di Brescia, Leiden University.
- 3. Gifi, A. (1990). Nonlinear Multivariate Analysis. John Wiley & Sons.Kemalbay
- 4. Peter G. M. van der Heijden, Stef van Buuren, 2016, **Looking Back at the Gifi System of Nonlinear Multivariate Analysis**, Utrecht University University of Southampton, Utrecht University TNO Leiden.
- 5. Linting, M., Meulman, J. J., Groenen, P. J. F., & Van der Kooij, A. J. (2007). Nonlinear principal components analysis: introduction and application. Psychological Methods
- 6. Mair, P., & De Leeuw, J. (2010). A general framework for multivariate analysis with optimal scaling: The R package aspect. Journal of Statistical Software
- 7. Eom T, Lee S, and Xu H. 2017\_Introduction to Panel **Data Analysis** Concepts and Practices, Hanyang
- 8. بدراوي شهيناز .2015 \_ تأثير أنظمة سعر الصرف على النمو الاقتصادي في البلدان النامية ، دراسة قياسية باستخدام البيانات الطولية (Panel Data) لعينة من 18 دولة نامية –2012 دراسة قياسية باستخدام البيانات الطولية (القتصادية وعلوم التسيير والعلوم التجارية ، جامعة أبي بكر بلقايد، تلمسان.
- 9. بوتياح وليد ، 2007 \_ دراسة مقارنة لدوال الاستثمار في البلدان المغاربية . رسالة ماجستير في العلوم الاقتصادية ،جامعة الجزائر.
- 10. الجمال زكريا يحيى، 2012 اختيار النموذج في نماذج البيانات الطولية الثابتة والعشوائية، المجلة العراقية للعلوم الاحصائية ، العدد 21.
- 11. Oscar Torres-Reyna . 2010\_ **Getting Started in Fixed/Random Effects Models using R**,Princeton University
  - 12. العبدلي عابد ، 2010 \_ محددات التجارة البيئية للدول الاسلامية باستخدام منهج تحليل بانل .
- مجلة دراسات اقتصادية اسلامية ، المعهد الاسلامي للعهود والتدريب ، البنك الاسلامي للتتمية جدة .
- 13. Hsio ,C, Analysis of Panel Data, University of southern California .2003
- 14. Hsio, C.,2003- **Analysis of Panel Data.** Combridge University Press Cambridge
- 15. Fitzmaurice, Garrett M.; Larid, Nan M.; Ware, James H.,2004 \_ **Applied longitudinal Analysis**. Hoboken:John Wiley & sons.

# الحل العددي لمعادلة Fokker-Planck باستخدام طريقة العناصر الحدية (BEM)

 $^{1}$ اً. د برلنت مطیط براءة حسان الخالد  $^{2}$ 

#### ملخص:

تم في هذه المقالة إيجاد الحلول العددية لمعادلة Fokker-Planck الخطية في بعدين باستخدام طريقة العناصر الحدية (Boundary Element Method – BEM).

تعتمد هذه الطريقة على تقسيم حدود المنطقة المدروسة دون الحاجة إلى تقطيع المساحة الداخلية بالكامل، مما يوفر حسابات وتعد هذه الطريقة أكثر كفاءة في بعض الحالات مقارنة بتقنيات عددية مثل طريقة العناصر المنتهية (Finite Element Method – FEM).

يتم دراسة فعالية الطريقة لإيجاد الحلول التقريبية من خلال تطبيقها على معادلة Fokker-Planck وباستخدام برنامج Matlab النسخة R2019a.

#### الكلمات المفتاحية:

المعادلات التفاضلية الجزئية الخطية، معادلة Fokker-Planck الخطية، طريقة العناصر الحدية، معادلة تكاملية، دوال الاختبار، شروط ديرخليه الحدية، شروط نيومن الحدية، دالة غرين.

<sup>1</sup> عضو هيئة تدريسية في قسم الرياضيات، كلية العلوم، جامعة دمشق.

<sup>2</sup> طالبة ماجستير، تحليل عددي - قسم الرياضيات، كلية العلوم، جامعة دمشق.

# Numerical Solution for Fokker-Planck Equation by Using Boundary Element Method (BEM).

Dr. Berlant Sabri Mattit

Baraa Hassan Alkhaled

#### Abstract

In this article, a study is presented on the numerical solutions of the linear Fokker-Planck equation in two dimensions using the Boundary Element Method (BEM).

This method relies on analyzing the boundaries of the studied region without the need to discretize the entire internal area, which can offer more efficient computations in some cases compared to techniques like the Finite Element Method (FEM).

The effectiveness of the method in finding approximate solutions is demonstrated by applying it to the Fokker-Planck equation and apply it in the MATLAB program R2019a.

Key words: Partial differential equations, linear Fokker-Planck Equation, boundary element method, integral equation, shape function, Dirichlet boundary conditions, Neumann boundary conditions, Green's function.

#### 1. مقدمة:

تظهر المعادلات التفاضلية الجزئية في كثير من التطبيقات في العلوم والهندسة، ان الحلول التحليلية عادة ما يكون من الصعب إيجادها، وبالتالي يتم استخدام طرائق بديلة كالطرائق العددية التي تستخدم على نطاق واسع لحل المعادلات التفاضلية الجزئية داخل منطقة معطاة وضمن شروط حدية.

تُعد معادلة Fokker-Planck من المعادلات التفاضلية الجزئية الهامة، والتي تظهر في العديد من التطبيقات الفيزيائية، مثل الديناميكا الحرارية، ميكانيكا السوائل، ونمذجة الأسواق المالية. تتطلب هذه المعادلة حلولاً عددية نظراً لتعقيدها وصعوبة إيجاد الحلول التحليلية. لذا تعتبر الطريقة العددية باستخدام العناصر الحدية إحدى الطرائق الفعالة للحصول على الحلول التقريبية لهذه المعادلة.

طريقة العناصر الحدية: هي طريقة أساسية لإيجاد الحل التقريبي للمعادلات التفاضلية الجزئية المعرفة على منطقة وتتضمن الخطوات التالية:

- 1- تحويل المعادلة التفاضلية إلى معادلة تكاملية: تحويل معادلة Fokker-Planck (أو أي معادلة تفاضلية أخرى) إلى صيغة تكاملية باستخدام مبرهنة غرين أو طرائق تكاملية أخرى.
- 2- تجزئة الحدود: تقسيم الحدود الخارجية للمنطقة المدروسة إلى عناصر صغيرة segments في حالة البعدين أو panels في حالة ثلاثة أبعاد.
  - 3- إيجاد دوال الاختبار: والتي تمثل الحل التقريبي على كل عنصر حدى.
  - 4- تطبيق الشروط الحدية (مثل شروط ديرخليه، أو نيومن) ضمن الصيغة التكاملية.
- 5- إنشاء الجملة الخطية: تجميع المعادلات التكاملية على كل عنصر حدي في جملة جبرية خطية تمثل العلاقة بين القيم على الحدود.
- 6- حل الجملة الجبرية باستخدام الطرائق العددية المناسبة والحصول على القيم المطلوبة على الحدود.

7- حساب القيم الداخلية (إن لزم الأمر): إذا كان مطلوباً، يتم حساب القيم داخل المنطقة باستخدام الحلول الحدية التي تم إيجادها.

#### 2. هدف البحث:

يهدف البحث إلى تطبيق طريقة العناصر الحدية على معادلة Fokker-Planck الخطية في بعدين مع معالجة الشروط الحدية المختلفة وتقديم النتائج في سياق التحليل العددي.

#### 3. مواد وطرائق البحث:

اعتمد البحث على الدراسة العددية لمعادلة Fokker-Planck الخطية في بعدين، وتم استخدام برنامج Matlab النسخة R2019a لإيجاد الحلول العددية برمجياً.

#### 4. المناقشة:

- 1. صياغة المسألة: في البداية تكون لدينا معادلة تفاضلية جزئية تصف المسألة الفيزيائية التي نريد حلها. ونفترض أن الحدود  $\Gamma$  المحيطة بالمنطقة  $\Omega$  يمكن أن تكون معرفة بشرط ديرخليه (بإعطاء قيمة حدية لـ  $\frac{\partial u(x)}{\partial n}$ ).
  - 2. تحويل المعادلة التفاضلية إلى معادلة تكاملية باستخدام نظرية غرين ومعادلة غرين.
- 4. التعبير عن المتغيرات على الحدود باستخدام دوال الاختبار (shape) . functions
- صياغة الجملة الخطية: نحصل على مجموعة من المعادلات الخطية. كل معادلة تأتي من تطبيق المعادلة التكاملية في عقدة معينة على الحدود.

# سلسلة العلوم الأساسية براءة حسان الخالد أد برلنت مطيط

- 6. تطبيق الشروط الحدية: نطبق الشروط الحدية على العقد، الشروط الحدية تساعد في تحديد
   القيم المجهولة مما يسمح لنا بحل الجملة الخطية المتبقية.
- 7. حل الجملة الخطية: بعد تطبيق الشروط الحدية نحصل على جملة خطية يمكن حلها باستخدام تقنيات الجبر الخطى.
- 8. حساب القيم الداخلية المطلوبة: يمكننا الآن استخدام القيم التي حصلنا عليها لحساب كميات أخرى ذات أهمية داخل المنطقة Ω، مثل توزيع الإجهادات أو الحرارة أو غيرها من الكميات الفيزيائية. إذا كانت هناك حاجة لحساب القيم داخل المجال (وليس فقط على الحدود)، يمكننا استخدام الحلول الحدية الموجودة لحساب هذه القيم باستخدام معادلات تكاملية إضافية.

### 5. طريقة العناصر الحدية في معادلة Fokker-Planck الخطية في بعدين:

لحل معادلة Fokker-Planck الخطية في بعدين باستخدام طريقة العناصر الحدية سنتبع الخطوات التي ذكرناها سابقاً. الهدف هو تحويل معادلة Fokker-Planck الجزئية إلى معادلة تكاملية يمكن حلها باستخدام BEM.

### 1. صياغة معادلة Fokker-Planck:

معادلة Fokker-Planck في بعدين تكتب بالشكل:

$$\begin{split} \frac{\partial \mathbf{P}(\mathbf{x}, \mathbf{y}, \mathbf{t})}{\partial t} &= -\frac{\partial}{\partial x} \left[ A_x(x, y) P(x, y, t) \right] - \frac{\partial}{\partial y} \left[ A_y(x, y) P(x, y, t) \right] + \\ & D_x \frac{\partial^2 \mathbf{P}(\mathbf{x}, \mathbf{y}, \mathbf{t})}{\partial x^2} + D_y \frac{\partial^2 \mathbf{P}(\mathbf{x}, \mathbf{y}, \mathbf{t})}{\partial y^2} \end{split}$$

حيث: P(x,y,t) هي كثافة الاحتمال،  $A_x(x,y)$  و  $A_x(x,y)$  هي معاملات الانجراف حيث: x و y على التوالي.

و y و x و معاملات الانتشار (الضوضاء) في الاتجاهين x و على التوالي.

2. تحويل المعادلة التفاضلية إلى معادلة تكاملية باستخدام دالة غرين:

المعادلة التكاملية تكون على الشكل:

$$\begin{split} P(x,y,t) &= \int\limits_{\Omega} G(x,y,t|x',y',t') P(x',y',t') dx' dy' \\ &+ \int\limits_{\Gamma} \big[ P(\xi,\eta,t') \frac{\partial G(x,y,t|\xi,\eta,t')}{\partial n} \\ &- q(\xi,\eta,t') G(x,y,t|\xi,\eta,t') \big] d\Gamma \end{split}$$

حيث:  $\Omega$  هي المنطقة الداخلية التي ندرسها.

 $\Omega$  هي الحدود المحيطة بالمنطقة  $\Omega$ .

. هي دالة غرين G(x,y,t|x',y',t')

هو مشتق دالة غرين في الاتجاه الناظمي للحدود. هو مشتق دالة غرين في الاتجاه الناظمي  $\frac{\partial G(x,y,t|\xi,\eta,t')}{\partial n}$ 

(التدفق عبر الحدود). Fokker-Planck هو مشتق معادلة  $q(\xi,\eta,t')=rac{\partial p(\xi,\eta,t')}{\partial n}$ 

3. تجزئة الحدود إلى عناصر:

N نقسم الحدود  $\Gamma$  إلى عدد محدد من العناصر الحدية الصغيرة. نفترض أن الحدود  $\Gamma$  تتكون من عنصر، حيث نقوم بحساب القيم عند العقد.

4. التعبير عن المتغيرات باستخدام دوال الاختبار:

نعبر عن  $P(\xi,\eta,t)$  و  $q(\xi,\eta,t)$  باستخدام دوال اختبار في العقد:

$$P(\xi,\eta,t) \approx \sum_{j=1}^{N} P_j(t) N_j(\xi,\eta)$$

$$q(\xi,\eta,t) \approx \sum_{j=1}^{N} q_{j}(t) N_{j}(\xi,\eta)$$

 $q_{j}(t)$  هي دالة الاختبار للعقدة أ، و  $N_{i}(\xi,\eta)$  هي دالة الاختبار للعقدة أ.

#### 5. صياغة الجملة الخطية:

عند إدخال التقريب في المعادلة التكاملية، نحصل على جملة خطية من المعادلات لكل عقدة على الحدود. كل معادلة تمثل تأثير كل عقدة على باقى العقد.

Gq(t) = HP(t): نحصل على جملة من المعادلات الخطية

حيث H و G هما مصفوفتان تحتويان على القيم الناتجة من التكاملات المتعلقة بالعناصر الحديدة. q(t) و p(t) هما متجهان للقيم المجهولة عند العقد على الحدود.

# 6. تطبيق الشروط الحدية:

نطبق الشروط الحدية (قيم P(x,y,t) أو التدفق (q(x,y,t)) على الحدود. عند معرفة القيم على بعض الحدود، يمكن استخدام هذه الشروط اتحديد المجاهيل وحل الجملة الخطية.

#### 7. حل الجملة الخطية:

نقوم بحل الجملة الخطية الناتجة باستخدام تقنيات الجبر الخطي، مثل طريقة غاوس أو طرائق التكرار.

#### 8. حساب القيم الداخلية المطلوبة:

بعد حال الجملة الخطية والحصول على القيم الحدية  $P_j(t)$  و  $Q_j(t)$  يمكن حساب القيم داخل المنطقة  $\Omega$  باستخدام معادلة تكاملية إضافية:

$$P(x, y, t) = \int_{\Gamma} [P(\xi, \eta, t') \frac{\partial G(x, y, t | \xi, \eta, t')}{\partial n} - q(\xi, \eta, t') G(x, y, t | \xi, \eta, t')] d\Gamma$$

x=0 مثال (1): لنفترض أن لدينا مستطيلاً يمثل المجال  $\Omega$  مستطيل ( من y=1 إلى y=0 الخطية Fokker-Planck بحدود y=1 بحدود y=1 بحدين.

لتكن لدينا المعادلة التفاضلية التالية:

$$\frac{\partial P(x, y, t)}{\partial t} = D_x \frac{\partial^2 P(x, y, t)}{\partial x^2} + D_y \frac{\partial^2 P(x, y, t)}{\partial y^2}$$

حيث افترضنا أن معاملات الانجراف  $A_x(x,y)$  و  $A_y(x,y)$  تساوي الصفر، وأن معادلة Fokker-Planck تمثل انتشاراً نقياً.  $\Gamma$  هي حدود المستطيل حيث:

عند x=2 و x=2 فإن x=100 عند x=2 و x=100 عند x=2 فإن ثابتة).

وعند y=0 و y=1 و y=0 و الإرم المركبية وعند y=0 وعند y=0 وعند مع سطح بارد).

 $D_{y}=0.5$  و معاملات الانتشار  $D_{x}=0.5$  و

t. نريد إيجاد توزيع كثافة الاحتمال P(x,y,t) داخل هذا المستطيل عند الزمن

1. تحويل المعادلة التفاضلية إلى معادلة تكاملية:

نبدأ من معادلة Fokker-Planck:

$$\frac{\partial P(x, y, t)}{\partial t} = D_x \frac{\partial^2 P(x, y, t)}{\partial x^2} + D_y \frac{\partial^2 P(x, y, t)}{\partial y^2}$$

بما أن  $A_{y}(x,y)$  و  $A_{y}(x,y)$  تساوي الصفر ، وأن معادلة Fokker-Planck تمثل انتشاراً نقياً ، نستخدم دالة غرين G(x,y,t|x',y',t') لحل المعادلة:

$$G(x,y,t|x',y',t') = \frac{1}{4\pi D(t-t')} \exp(-\frac{(x-x')^2 + (y-y')^2}{4D(t-t')})$$

$$D = \sqrt{D_x^2 + D_y^2} = \sqrt{0.5^2 + 0.5^2} = \frac{\sqrt{2}}{2} = 0.707$$

# 2. تجزئة الحدود إلى عناصر:

نفترض أن الحدود تم تقسيمها إلى أربعة عناصر:

عنصر 1: من (0,0) إلى (0,1) (الحد اليساري).

عنصر 2: من (0,1) إلى (2,1) (الحد العلوي).

عنصر 3: من (2,1) إلى (2,0) (الحد اليميني).

عنصر 4: من (2,0) إلى (0,0) (الحد السفلي).

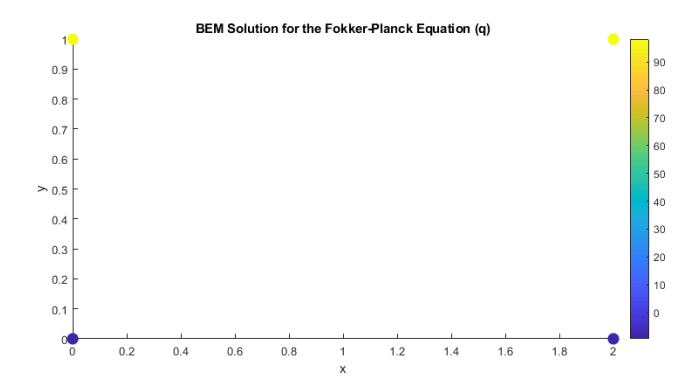
لنستخدم أربع عقد، واحدة عند كل زاوية من زوايا المستطيل:

(0,0) عند  $(P_1)$  1 عند

(0,1) عند  $(P_2)$  عند العقدة

(2,1) عند  $(P_3)$  3 العقدة

(2,0) عند  $(P_4)$  4 عند



شكل (1): حل معادلة فوكر بلانك باستخدام طريقة العناصر الحدية للمثال (1).

# 3. صياغة الجملة الخطية:

نستخدم المعادلة التكاملية عند كل عقدة لحساب P و p عند الحدود. على سبيل المثال، عند العقدة 1:

$$P(x, y, t) = \sum_{i=1}^{4} \left[ P(x_i, y_i, t) \frac{\partial G(x_1, y_1, t | x_i, y_i)}{\partial n} - q(x_i, y_i, t) G(x_1, y_1, t | x_i, y_i) \right] \Delta \Gamma_i$$

وبما أن  $P(x_1, y_1, t) = 0$  (شرط ديرخليه)، نحصل على:

$$\sum_{i=1}^{4} q(x_i, y_i, t)G(x_1, y_1, t | x_i, y_i) = 0$$

يتم تكرار نفس الحسابات عند العقد 2 و 3 و 4.

4. حساب دالة غرين لكل عنصر:

2 عند العقدة  $P_1$  بالنسبة إلى العنصر

$$G(0.0|2.1) = \frac{1}{4\pi * 0.707} \exp\left(-\frac{(0-2)^2 + (0-1)^2}{4 * 0.707}\right)$$

$$G(0,0|2,1) = \frac{1}{4\pi * 0.707} \exp\left(-\frac{5}{2.828}\right) = 0.019$$

1 عند العقدة  $P_2$  بالنسبة إلى العنصر

$$G(0,1|0,0) = \frac{1}{4\pi * 0.707} \exp\left(-\frac{(0-0)^2 + (1-0)^2}{4 * 0.707}\right)$$

$$G(0.0|2.1) = \frac{1}{4\pi * 0.707} \exp\left(-\frac{1}{2.828}\right) = 0.079$$

يتم حساب باقى القيم بنفس الطريقة.

#### 5. تجميع الجملة الخطية:

بعد حساب قيم دالة غرين لكل عقدة عند كل عنصر، نجمعها في جملة معادلات خطية:

$$a_{11}q_1 + a_{12}q_2 + a_{13}q_3 + a_{14}q_4 = P_1$$

$$a_{21}q_1 + a_{22}q_2 + a_{23}q_3 + a_{24}q_4 = P_2$$

$$a_{31}q_1 + a_{32}q_2 + a_{33}q_3 + a_{34}q_4 = P_3$$

$$a_{41}q_1 + a_{42}q_2 + a_{43}q_3 + a_{44}q_4 = P_4$$

حيث  $a_{ij}$  هي معاملات مرتبطة بالتكاملات المحسوبة سابقاً.

$$1q_1 + 0.079q_2 + 0.019q_3 + 0.027q_4 = 0$$

$$0.079q_1 + 1q_2 + 0.027q_3 + 0.019q_4 = 100$$

$$0.019q_1 + 0.027q_2 + 1q_3 + 0.079q_4 = 100$$

$$0.027q_1 + 0.019q_2 + 0.079q_3 + 1q_4 = 0$$

. تجنباً للشذوذ والمشكلات العددية المألوفة.  $a_{11}=a_{22}=a_{33}=a_{44}=1$ 

يمكن حل هذه الجملة باستخدام البرمجة أو الجبر الخطي للحصول على قيم  $q_1$  و  $q_2$  و  $q_3$  و  $q_4$ . وقد أوجدنا القيم باستخدام Matlab:

$$q_1=-9.394$$
 ,  $q_2=98.235$  ,  $q_3=98.235$  ,  $q_4=-9.394$  
$$e=\sqrt{\sum_{i=1}^4 R_i^2} :$$
سوف ندرس الخطأ من خلال قانون المربعات الصغرى

بعد تعويض  $q_1$  و  $q_2$  و  $q_3$  و  $q_4$  في المعادلات السابقة وتعويض القيم الناتجة في القانون السابق وجدنا أن:  $e_1=0.0532810995$  التي تعتبر مقبولة بالنسبة لعدد العناصر .

نقدم الآن برنامج Matlab للمثال الموضح أعلاه، حيث نقوم بإدخال جميع المعطيات والأرقام الموضحة في المثال السابق والشروط الحدية المعطاة:

<sup>%</sup> Constants

D = 0.707; % Assuming D x = D y = 0.5

t = 1; % Example time point

```
% Number of boundary elements (4 corners in this
simple case)
num elements = 4;
% Define boundary points (corners of the
rectangle)
x boundary = [0, 0, 2, 2];
y boundary = [0, 1, 1, 0];
% Initialize the coefficient matrix A and vector b
A = zeros(num elements);
b = [0; 100; 100; 0]; % Boundary conditions as
given
% Define Green's function for Fokker-Planck in 2D
G = @(x1, y1, x2, y2) (1/(4*pi*D*t)) * exp(-((x1-
x2)^2 + (y1-y2)^2)/(4*D*t);
% Populate matrix A using Green's function
for i = 1:num elements
    for j = 1:num elements
        if i == j
            A(i, j) = 1; % Diagonal elements
(handling singularity)
        else
            A(i, j) = G(x boundary(i),
y boundary(i), x boundary(j), y boundary(j));
        end
    end
end
% Solve the linear system A*q = b
q = A b;
% Display the result
disp('The solution vector q is:');
disp(q);
% Visualization
figure;
scatter(x boundary, y boundary, 100, q, 'filled');
colorbar;
title ('BEM Solution for the Fokker-Planck Equation
(q)');
```

```
xlabel('x');
ylabel('y');
```

#### 7. مثال (2):

سوف نعيد نفس المثال السابق لكن بمناقشة عدد عناصر أكبر:

سنقوم بتقسيم حدود المستطيل(0,0) إلى (1,2) إلى 16 نقطة متساوية المسافة (12 نقطة مختلفة)

الحافة السفلية: تمتد من النقطة (0,0) إلى النقطة (2,0):

(0.0), (0.0667.0), (0.133333.0), (2.0)

والشروط الحدية المفروضة هي أن القيم على هذه الحافة تساوي0.

الحافة اليمني: تمتد من النقطة (2,0) إلى النقطة (2,1):

(2.0), (2.0.3333), (2.0.6667), (2.1)

والشروط الحدية المفروضة هي أن القيم تزداد خطياً من 0 إلى 100 على طول هذه الحافة. لذا القيم هي [0, 33.33, 66.67, 100].

الحافة العلوية: تمتد من النقطة (2,1) إلى النقطة (0,1):

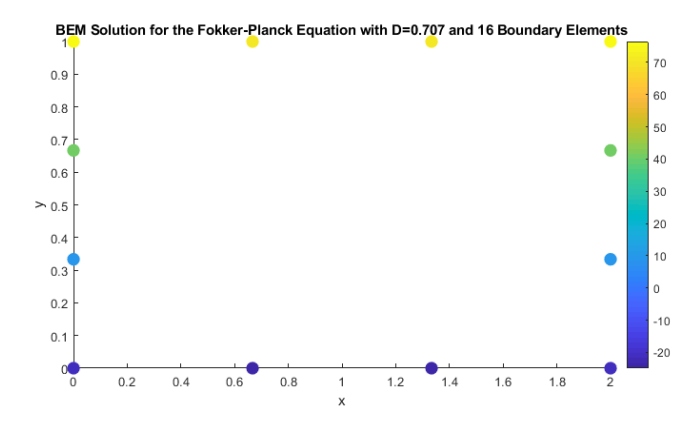
(2,1), (1.3333,1), (0.6667,1), (0,1)

والشروط الحدية المفروضة هي أن القيم على هذه الحافة تساوي100.

الحافة اليسرى: تمتد من النقطة (0,1) إلى النقطة (0,0):

(0.1), (0.0.6667), (0.0.3333), (0.0)

والشروط الحدية المفروضة هي أن القيم تتخفض خطياً من 0 إلى 100 على طول هذه الحافة. لذا القيم هي [0, 66.67, 33.33, 0].



شكل (2): حل معادلة فوكر بلانك باستخدام طريقة العناصر الحدية للمثال (2).

حساب دالة غرين لكل عنصر:

حيث دالة غرين G(x,y,t|x',y',t') لحل المعادلة:

$$A_{ij} = G(x_i, y_i, t | x_j, y_j, t') = \frac{1}{4\pi D(t - t')} \exp(-\frac{(x_i - x_j)^2 + (y_i - y_j)^2}{4D(t - t')})$$

$$D = \sqrt{D_x^2 + D_y^2} = \sqrt{0.5^2 + 0.5^2} = \frac{\sqrt{2}}{2} = 0.707$$

$$(x_1, y_1) = (0,0) \quad g(x_2, y_2) = (0.6667,0) \quad :$$

$$G(0,0 | 0.6667,0) = \frac{1}{4\pi * 0.707} \exp\left(-\frac{(0 - 0.6667)^2 + (0 - 0)^2}{4 * 0.707}\right)$$

$$= \frac{1}{8885} e^{-\frac{0.4444}{2.828}} = 0.0961$$

$$(x_2, y_2) = (0.66667,0)$$
 ولحساب العنصر:  $(x_4, y_4) = (2,0)$ 

$$G(0.6667,0|2,0) = \frac{1}{4\pi * 0.707} exp\left(-\frac{(0.6667 - 0)^2 + (2 - 0)^2}{4 * 0.707}\right)$$
$$= \frac{1}{8885} e^{-\frac{1.7778}{2.828}} = 0.0600$$

$$(x_3, y_3) = (1.33333,0)$$
 و  $(x_7, y_7) = (2,0.6667)$  : ولحساب العنصر

$$G(1.3333,0|2,0.6667)$$

$$= \frac{1}{4\pi * 0.707} exp\left(-\frac{(2-1.3333)^2 + (0.6667-0)^2}{4 * 0.707}\right)$$

$$= \frac{1}{8.885} e^{-\frac{0.8888}{2.828}} = 0.822$$

$$(x_4, y_4) = (2,0)$$
 و  $(x_6, y_6) = (2,0.3333)$  : ولحساب العنصر

$$G(2,0|2,0.3333) = \frac{1}{4\pi * 0.707} exp\left(-\frac{(2-2)^2 + (0.3333 - 0)^2}{4 * 0.707}\right)$$
$$= \frac{1}{8885} e^{-\frac{0.1111}{2.828}} = 0.1082$$

ونكمل باقى العناصر بنفس الطريقة.

بعد حساب دالة غرين لكل عنصر نحصل على جملة معادلات خطية:

المعادلة الأولى:

$$\begin{aligned} q_1 + 0.0962q_2 + 0.0600q_3 + 0.0274q_4 + 0.0274q_5 + 0.0263q_6 \\ + 0.0234q_7 + 0.0192q_8 + 0.0192q_9 + 0.0421q_{10} \\ + 0.0675q_{11} + 0.0790q_{12} + 0.0790q_{13} + 0.0962q_{14} \\ + 0.1082q_{15} + 0.1126q_{16} = 0 \end{aligned}$$

المعادلة الثانية:

$$\begin{array}{c} 0.0962q_1+q_2+0.0962q_3+0.0600q_4+0.0600q_5+0.0577q_6\\ +0.0513q_7+0.0421q_8+0.0421q_9+0.0675q_{10}\\ +0.0790q_{11}+0.0675q_{12}+0.0675q_{13}+0.0822q_{14}\\ +0.0925q_{15}+0.0962q_{16}=0 \end{array}$$

المعادلة الثالثة:

$$\begin{aligned} 0.0600q_1 + 0.0962q_2 + q_3 + 0.096q_4 + 0.0962q_5 + 0.0925q_6 \\ + 0.0822q_7 + 0.0675q_8 + 0.0675q_9 + 0.0790q_{10} \\ + 0.0675q_{11} + 0.0421q_{12} + 0.0421q_{13} + 0.0513q_{14} \\ + 0.0577q_{15} + 0.0600q_{16} = 0 \end{aligned}$$

المعادلة الرابعة:

$$\begin{aligned} 0.0274q_1 + 0.0600q_2 + 0.0962q_3 + q_4 + 0.1126q_5 + 0.1082q_6 \\ + 0.0962q_7 + 0.0790q_8 + 0.0790q_9 + 0.0675q_{10} \\ + 0.0421q_{11} + 0.0192q_{12} + 0.0192q_{13} + 0.0234q_{14} \\ + 0.0263q_{15} + 0.0274q_{16} = 0 \end{aligned}$$

المعادلة الخامسة:

$$\begin{aligned} 0.0274q_1 + 0.0600q_2 + 0.0962q_3 + 0.1126q_4 + q_5 + 0.1082q_6 \\ + 0.0962q_7 + 0.0790q_8 + 0.0790q_9 + 0.0675q_{10} \\ + 0.0421q_{11} + 0.0192q_{12} + 0.0192q_{13} + 0.0234q_{14} \\ + 0.0263q_{15} + 0.0274q_{16} = 0 \end{aligned}$$

المعادلة السادسة:

$$\begin{array}{c} 0.0263q_1 + 0.0577q_2 + 0.0925q_3 + 0.1082q_4 + 0.1082q_5 + q_6 \\ + 0.1082q_7 + 0.0962q_8 + 0.0962q_9 + 0.0822q_{10} \\ + 0.0513q_{11} + 0.0234q_{12} + 0.0234q_{13} + 0.0263q_{14} \\ + 0.0274q_{15} + 0.0263q_{16} = 33.33 \end{array}$$

المعادلة السابعة:

$$\begin{aligned} 0.0234q_1 + 0.0513q_2 + 0.0822q_3 + 0.0962q_4 + 0.0962q_5 + 0.1082q_6 \\ + q_7 + 0.1082q_8 + 0.1082q_9 + 0.0925q_{10} + 0.0577q_{11} \\ + 0.0263q_{12} + 0.0263q_{13} + 0.0274q_{14} + 0.0263q_{15} \\ + 0.0234q_{16} = 66.67 \end{aligned}$$

المعادلة الثامنة:

$$\begin{aligned} 0.0192q_1 + 0.0421q_2 + 0.0675q_3 + 0.0790q_4 + 0.0790q_5 + 0.0962q_6 \\ + 0.1082q_7 + q_8 + 0.1126q_9 + 0.0962q_{10} + 0.06000q_{11} \\ + 0.0274q_{12} + 0.0274q_{13} + 0.0263q_{14} + 0.0234q_{15} \\ + 0.0192q_{16} = 100 \end{aligned}$$

المعادلة التاسعة:

$$\begin{aligned} 0.0192q_1 + 0.0421q_2 + 0.0675q_3 + 0.0790q_4 + 0.0790q_5 + 0.0962q_6 \\ + 0.1082q_7 + 0.1126q_8 + q_9 + 0.0962q_{10} + 0.0600q_{11} \\ + 0.0274q_{12} + 0.0274q_{13} + 0.0263q_{14} + 0.0234q_{15} \\ + 0.0192q_{16} = 100 \end{aligned}$$

المعادلة العاشرة:

$$\begin{aligned} 0.0421q_1 + 0.0675q_2 + 0.0790q_3 + 0.0675q_4 + 0.0675q_5 + 0.0822q_6 \\ + 0.0925q_7 + 0.0962q_8 + 0.0962q_9 + q_{10} + 0.0962q_{11} \\ + 0.0600q_{12} + 0.0600q_{13} + 0.0577q_{14} + 0.0513q_{15} \\ + 0.0421q_{16} = 100 \end{aligned}$$

المعادلة الحادية عشرة:

$$\begin{aligned} 0.0675q_1 + 0.0790q_2 + 0.0675q_3 + 0.0421q_4 + 0.0421q_5 + 0.0513q_6 \\ + 0.0577q_7 + 0.0600q_8 + 0.0600q_9 + 0.0962q_{10} + q_{11} \\ + 0.0962q_{12} + 0.0962q_{13} + 0.0925q_{14} + 0.0822q_{15} \\ + 0.0675q_{16} = 100 \end{aligned}$$

المعادلة الثانية عشرة:

$$\begin{aligned} 0.0790q_1 + 0.0675q_2 + 0.0421q_3 + 0.0192q_4 + 0.0192q_5 + 0.0234q_6 \\ + 0.0263q_7 + 0.0274q_8 + 0.0274q_9 + 0.0600q_{10} \\ + 0.0962q_{11} + q_{12} + 0.1126q_{13} + 0.1082q_{14} + 0.0962q_{15} \\ + 0.0790q_{16} = 100 \end{aligned}$$

المعادلة الثالثة عشرة:

$$\begin{aligned} 0.0790q_1 + 0.0675q_2 + 0.0421q_3 + 0.0192q_4 + 0.0192q_5 + 0.0234q_6 \\ + 0.0263q_7 + 0.0274q_8 + 0.0274q_9 + 0.0600q_{10} \\ + 00962q_{11} + 0.1126q_{12} + q_{13} + 0.1082q_{14} + 0.0962q_{15} \\ + 0.0790q_{16} = 100 \end{aligned}$$

المعادلة الرابعة عشرة:

$$\begin{aligned} 0.0962q_1 + 0.0822q_2 + 0.0513q_3 + 0.0234q_4 + 0.0234q_5 + 0.0263q_6 \\ &+ 0.0274q_7 + 0.0263q_8 + 0.0263q_9 + 0.0577q_{10} \\ &+ 0.0925q_{11} + 0.1082q_{12} + 0.1082q_{13} + q_{14} + 0.1082q_{15} \\ &+ 0.0962q_{16} = 66.67 \end{aligned}$$

المعادلة الخامسة عشرة:

$$\begin{array}{c} 0.1082q_1 + 0.925q_2 + 0.0577q_3 + 0.0263q_4 + 0.026q_5 + 0.0274q_6 + \\ 0.0263q_7 + 0.0234q_8 + 0.0234q_9 + 0.0513q_{10} + 0.0822q_{11} + \\ 0.0962q_{12} + 0.0962q_{13} + 0.1082q_{14} + q_{15} + 0.1082q_{16} = 33.33 \\ 131 \end{array}$$

المعادلة السادسة عشرة:

$$\begin{aligned} 0.1126q_1 + 0.0962q_2 + 0.0600q_3 + 0.0274q_4 + 0.0274q_5 + 0.0263q_6 \\ &+ 0.0234q_7 + 0.0192q_8 + 0.0192q_9 + 0.0421q_{10} \\ &+ 0.0675q_{11} + 0.0790q_{12} + 0.0790q_{13} + 0.0962q_{14} \\ &+ 0.1082q_{15} + q_{16} = 0 \end{aligned}$$

يمكن حل هذه الجملة باستخدام البرمجة للحصول على قيم  $q_1$  و  $q_2$  و  $q_3$  و  $q_5$  و  $q_5$  و  $q_5$  و  $q_6$  و  $q_6$  و  $q_7$  و  $q_{10}$  و  $q_{10}$ 

$$\begin{array}{l} q_1=-21.4750\,, q_2=-24.9202\,, q_3=-24.9202\,,\\ q_4=-21.4750\,, q_5=-21.4750\,, q_6=9.3386\,\,,\\ q_7=41.6115\,, q_8=76.4767\,, q_9=76.4767\,,\\ q_{10}=70.2191\,, q_{11}=70.2191\,, q_{12}=76.4767\,,\\ q_{13}=76.4767\,, q_{14}=41.6115\,, q_{15}=9.3386\,,\\ q_{16}=-21.4750\\ \end{array}$$
 سوف ندرس الخطأ من خلال قانون المربعات الصغرى:  $e=\sqrt{\sum_{i=1}^4 R_i^2}$ 

بعد تعويض  $q_1$  و  $q_2$  و  $q_3$  و  $q_4$  و  $q_5$  و  $q_6$  و أن:  $q_6$  و و مالحظ أن الخطأ يتناقص كلما زاد عدد العناصر.

نقدم الآن برنامج Matlab للمثال الموضح أعلاه، حيث نقوم بإدخال جميع المعطيات والأرقام الموضحة في المثال السابق والشروط الحدية المعطاة:

```
% Constants
D = 0.707; % Diffusion coefficient
t = 1; % Time point
% Number of boundary elements
```

```
num elements = 16;
% Define boundary points (4 points on each edge of
the rectangle)
% Here we use 4 points per edge to total 16 points
num points edge = 4; % Number of points per edge
 % Define x and y boundary coordinates
x boundary = [linspace(0, 2, num points edge), ...
              2*ones(1, num points edge), ...
              linspace(2, 0, num points edge), ...
              zeros(1, num points edge)];
 y boundary = [zeros(1, num points edge), ...
              linspace(0, 1, num points edge), ...
              ones(1, num points edge), ...
              linspace(1, 0, num points edge)];
 % Check if the lengths are correct
if length(x boundary) ~= num elements ||
length(y boundary) ~= num elements
    error('The length of x boundary or y boundary
does not match num elements.');
 % Initialize the coefficient matrix A and vector
b
A = zeros(num elements);
b = zeros(num elements, 1);
% Set boundary conditions:
% Bottom edge: P = 0
% Right edge: P varies linearly from 0 to 100
% Top edge: P = 100
% Left edge: P varies linearly from 100 to 0
b(1:num points edge) = 0; % Bottom edge
b(num points edge+1:2*num points edge) =
linspace(0, 100, num points edge); % Right edge
b(2*num points edge+1:3*num points edge) = 100; %
Top edge
b(3*num points edge+1:end) = linspace(100, 0,
num points edge); % Left edge
 % Define Green's function for Fokker-Planck in 2D
```

```
G = Q(x1, y1, x2, y2) (1/(4*pi*D*t)) * exp(-((x1-
x2)^2 + (y1-y2)^2)/(4*D*t));
% Populate matrix A using Green's function
for i = 1:num elements
    for j = 1:num elements
        if i == j
            A(i, j) = 1; % Handling diagonal
elements (self-interaction)
        else
            A(i, j) = G(x boundary(i),
y boundary(i), x boundary(j), y boundary(j));
        end
    end
end
 % Solve the linear system A*q = b
q = A b;
% Display the result
disp('The solution vector q is:');
disp(q);
% Visualization
figure;
scatter(x boundary, y boundary, 100, q, 'filled');
colorbar;
title('BEM Solution for the Fokker-Planck Equation
with D=0.707 and 16 Boundary Elements');
xlabel('x');
ylabel('y');
```

لقد قمنا في هذه المقالة ببناء خوارزمية لحل معادلة Fokker-Planck الخطية في بعدين باستخدام طريقة العناصر الحدية BEM، وهذه الطريقة تعتبر طريقة فعالة وذلك لأنها قادرة على حل المعادلات التفاضلية الجزئية الخطية، وخاصة إن لم يتوفر الحل التحليلي لها، وكما لاحظنا أنه كلما زاد عدد العناصر أصبحت الطريقة أدق، ومن هنا نرى أهمية الطرائق التقريبية التحليلية وقدرتها على حل

8. النتائج ومناقشتها:

أصعب المسائل وفعاليتها ودقتها العالية كما لاحظنا في الدراسة العددية، علماً أن النتائج السابقة قد تمت جميعها باستخدام برنامج Matlab النسخة R2019a.

#### 9. الاستنتاجات والتوصيات:

بالرغم من فعالية النتائج العددية السابقة، إلا أن خطوات طريقة العناصر الحدية تأخذ كثيراً من الوقت فكلما زاد عدد العناصر كلما اقتربنا من الحل الدقيق أكثر، وتزداد صعوبة هذا النوع من المسائل إذا كان الشكل أكثر تعقيداً وكانت الشروط الحديّة معقدة أكثر ومطبقة على عدد أكبر من الأضلاع، أو زاد عدد الثوابت غير المعدومة في صيغة المعادلة التفاضلية الجزئية، وهذه الأمور كلها سنقوم بتغطيتها في مقالاتنا القادمة إن شاء الله.

#### 10. قائمة المراجع: References

- [1] ALIPOUR, P. 2024- <u>The Dual Reciprocity Boundary Elements</u> <u>Method for One-Demensional Nonlinear Parabolic Partial Differential Equations</u>. J Math Sci 280, 131-145.
- [2] GWINNER, J. and STEPHAN, E. P. 2018 <u>Advanced Boundary</u> <u>Element Methods</u>. Springer International Publishing. P661
- [3] JIANG, W. XU, J. KUNPENG, L. OUYANG, Y. and YAN, J. 2022–Coupling Heat Conduction and Radiation by an Isogeometric Boundary Element Method in 2-D Structures. Mathematical problems in engineering/vol. 2022, issue 1.

- [4] KIRKUP, S. 2019- <u>The Boundary Element Method in Acoustics: A</u> Survey. MDPI/Applied Sciences. Vol. 9, issue 8.
- [5] LYASHENKO, I. A. POPOV, V. L. and BORYSIUK, B. 2023– Experimental Verification of the Boundary Element Method for Adhesive Contacts of a Coated Elastic Half-space. Lubricants. Vol.11, issue 84.
- [6] MAIERHOFER, G. AND HUYBRECHS, D. 2021- Convergence Analysis of Oversampled Collocation Boundary Element Method in 2D. arXiv:2103.1721v1.
- [7] SATHYAN, S. AYDIN, U. and BELAHCEN, A. 2020- Acoustic Noise Computation of Electrical Motors Using the Boundary Element Method. MDPI/Energies vol. 13, issue 245.

# دراسة استقرار المنظومات الديناميكية غير الخطية المتزاوجة ذات الطبولوجيا الثابتة

\*نسرين الأسعد، \*\* محمد العلي، \*\*\* عبد الباسط الخطيب

#### ملخص البحث:

ندرس في هذا المقال خصائص استقرار المنظومات الديناميكية غير الخطية المتزاوجة ذات الطبولوجيا الثابتة. من المفترض أن تلبي حقول المتجهات للمنظومات الفردية فرضيات معينة، تحتوي مجموعة التوازن على جميع الحالات ذات أجزاء الحالة المتماثلة، إن هذه الفئة من المنظومات تُعد تعميم للمنظومات الخطية المتزاوجة، وهي متوفرة في علم الأحياء والفيزياء والهندسة والبيئة والعلوم الاجتماعية، على سبيل المثال شبكة التفاعل الكيميائي الحيوي، المذبذبات المتزاوجة، مصفوفات أنظمة الفوضى، سرب الكائنات الحية .

نقوم بتمثيل هذه المنظومات من خلال معادلات تفاضلية غير خطية متزاوجة في شكل الحالة.

كما في الحالة الخطية فأن مسألة استقرار هذه المنظومات، مرتكزة على البيان الموجه، الذي يصف بنية التفاعل في المنظومات ذات الاتصال الداخلي، أي من يتزاوج بمن. سوف ندرس في هذا المقال خصائص البيان الموجه التفاعلي الذي يؤدي إلى الاستقرار والجاذبية فيما يتعلق بمجموعة التوازن.

الكلمات المفتاحية: المنظومات الديناميكية المتزاوجة، اللاخطية، استقرار وجذب المنظومات الديناميكية غير الخطية المتزاوجة.

<sup>\*)</sup> طالبة دكتوراه مكانيك رياضي في قسم الرياضيات - كلية العلوم - جامعة حمص- حمص- سوريا.

<sup>\*\*)</sup> أستاذ دكتور مكانيك رياضي في قسم الرياضيات - كلية العلوم- جامعة حمص- حمص- سوريا.

<sup>\*\*\*)</sup> أستاذ دكتور جبر خطي في قسم الرياضيات - كلية العلوم- جامعة حمص- حمص- سوريا.

# AStudy on the Stability of Coupled Nonlinear Dynamical Systems With Fixed Topologie

\*Nsreen Alasaad,\*\* Mouhammad Alali,\*\*\* Abd Albaset Alkhateb

This chapter studies the stability properties of coupled nonlinear systems with fixed topologies. The vector fields of the individual systems are assumed to satisfy certain hypotheses. Again, the equilibrium set contains all states with identical state components. This class of systems generalizes that of coupled linear systems and is abundant in biology ,physics, engineering, ecology, and social science: e.g., a biochemical reaction network, coupled oscillators, arrays of chaotic systems, and swarm of organisms .we model such systems by coupled nonlinear differential equations in state form. Similar to the linear case central to the stability issue of such systems is the graph describing the interaction structure in the interconnected systems that is, who is coupled to whom. And a central question is, what properties of the interaction graph lead to stability and attractivity with respect to the equilibrium set.

**Key words**: : Coupled Dynamical Systems, nonlinear, Stability and attraction of coupled nonlinear dynamic systems .

- \*) master student, Department of mathematics-Faculty of science-Homs university Homs-Syria.
- \*\*) professor of mechanics, Department of mathematics-Faculty of science Homs university Homs-Syria.
- \*\*\*) professor of linear algebra, Department of mathematics –Faculty of science– Homs university Homs–Syria.

#### 1.مقدمة البحث

المنظومات الديناميكية المتزاوجة هي عبارة عن منظومة مؤلفة من منظومات جزئية (أعضاء)، موضع أحد الأعضاء يؤثر في التطور الزمني للأعضاء الأخرين.

إن مشاكل الاستقرار وامكانية إبقاء هذه المنظومات في حالة استقرار فيما يتعلق بوضعية التوازن من أبرز القضايا الرئيسية المتناولة . ولعل أهم هذه المشاكل هو شكل التفاعل فيما بينها أي من يرتبط بمن .إن الهدف الأساسي من هذا البحث هو تحديد كيف يؤثر شكل التفاعل على حالة الاستقرار وإمكانية الإبقاء على توازن الأنظمة في تركيبة زمنية معينة.

#### 2. هدف البحث

دراسة استقرار وجذب المنظومات الديناميكية غير الخطية المتزاوجة ذات الطبولوجيا الثابتة، بناءً على قواعد رياضية يتم تشكيلها بالاستفادة من نظرية البيان والطبولوجيا والتحليل الرياضي.

### 3. طرق وأدوات البحث

في هذا البحث تم الاعتماد على التحليل والطبولوجيا ونظرية البيان، لدراسة استقرار وجذب المنظومات الديناميكية غير الخطية المتزاوجة.

# 4. مشكلة البحث

قد نعلم السلوك الديناميكي لمنظومة ديناميكية معينة عندما تتطور مع الزمن بشكل منفرد من خلال دراسات سابقة، إلا أن معرفتنا بهذه السلوكية المنفردة لن يؤدي إلى معرفة السلوكية الكلية لمجموعة المنظومات السابقة في حال التزاوج فيما بينها والذي ينتج عنه تأثير متبادل فيما بينها. تعتبر مسألة الربط ما بين الديناميكية المنفردة والديناميكية المتزاوجة من المسائل الهامة المفتوحة حالياً والتي لا يزال البحث فيها قائماً. ونعتبر هذا البحث مدخلاً مهماً للتعريف بهذه المسألة ومحاولة حلها والحصول على نتائج جديدة.

#### 5. المناقشة والنتائج

من أجل متطلبات هذا البحث تلزمنا التعاريف التالية:

المجموعة الصامدة (invariant Set) : من أجل أي منظومة مرتبطة ظاهرياً بالزمن t من الشكل

$$\dot{x} = f(t, x)$$

حيث أن  $R \times R^n \to R^n$  هي دالة مستمرة بشكل متقطع بالنسبة للمتحول الزمني t ومستمرة بالنسبة لمتحول الحالة  $R \times R^n$  على  $R \times R^n$ 

نقول أن المجموعة  $\Omega \subset R^n$  صامدة أمامياً للمنظومة إذا كان من أجل كل  $t_0 \in R$  و كل  $t_0 \in R^n$  يتحقق أن  $t_0 \in \Omega$  ،  $t \geq t_0$  و ذلك أياً كانت  $t_0 \in \Omega$  يتحقق أن  $t_0 \in \Omega$  و ذلك أياً كانت  $t_0 \in \Omega$ 

و بنفس الأسلوب نعرف المجموعة الصامدة خلفياً و الصامدة بشكل عام.

مفهوم المجموعات المستقرة : نقول إن المجموعة الصامدة  $\Omega$  أو المنظومة (بالنسبة للمجموعة الصامدة  $\Omega$ )

- مُستقرة: إذا كان من أجل كل  $t_0$  وكل  $\varepsilon>0$  ، يوجد  $\delta=\delta\left(\varepsilon,t_0\right)>0$  بحيث إن  $\|x^0\|_{\Omega}\leq\delta\left(\varepsilon,t_0\right)$   $\Rightarrow$   $\|x(t)\|_{\Omega}\leq\varepsilon$  :  $\forall t\geq t_0$ 
  - مُستقرة بانتظام: إذا كان من أجل كل  $\varepsilon>0$  ، يوجد  $\delta=\delta(\varepsilon)>0$  بحيث إن  $\|x^0\|_0 \leq \delta(\varepsilon) \implies \|x(t)\|_0 \leq \varepsilon : \forall t \geq t_0$

حيث يمثل النظيم  $\|\cdot\|$  المعرف على فضاء الحالة للمنظومة بُعد النقطة  $x^0$  عن المجموعة  $\Omega$ .

### مفهوم المجموعات الجاذبة: نقول إن المجموعة الصامدة $\Omega$

• جاذبة في المنطقة D من فضاء الحالة: إذا تحقق الشرط

$$\forall x^0 \in D \implies \lim_{t \to \infty} ||x(t)||_{\Omega} = 0$$

حاذبة بانتظام في المنطقة D: إذا كان من أجل كل c>0 يتحقق •

$$\left(\left\|x^{0}\right\| \le c\right) \land \left(x^{0} \in D\right) \Longrightarrow \lim_{t \to \infty} \left\|x\left(t\right)\right\|_{\Omega} = 0$$

 $x^{0},t_{0}$  وذلك بشكل منتظم من أجل كل

- $R^n$  جاذبة في كل مكان، إذا كانت جاذبة على كامل الفضاء
- $\cdot$   $R^n$  جاذبة بانتظام في كل مكان، إذا كانت جذابة بانتظام على كامل الفضاء •

# المجموعات المحدبة (convex set):

نقول عن مجموعة ما أنها محدبة إذا كانت القطعة المستقيمة الواصلة بين كل نقطتين من المجموعة تقع بكاملها ضمن حدود المجموعة ، أي إذا تحقق الشرط التالي:

$$tx + (1-t)y \in S; \quad \forall x, y \in S, \quad t \in [0,1]$$

### الهيكل المحدب للمجموعة S (convex hull):

S عندئذٍ ندعو تقاطع جميع المجموعات المحدبة التي تحتوي المجموعة S.co(S) بالهيكل المحدب للمجموعة S ، ويرمز لهُ بالرمز

### متعدد الأبعاد (polytope):

وهو الهيكل المحدب لمجموعة محدودة من النقاط  $x_1,...,x_n \in R^m$  ونرمز له بالرمز  $co\left\{x_1,...,x_n\right\}$  .

#### ملاحظة:

 $\partial(S)$ . بالرمز (S) وحدودیة S بالرمز (S) نرمز لداخلیة S

# الفضاء الجزئى الناقل للمجموعة المحدبة:

S مجموعة محدبة تحوي نقطة الأصل، عندئذٍ نسمي أصغر فضاء جزئي يحوي المجموعة S بالفضاء الجزئي الناقل للمجموعة S، ونرمز لهُ بالرمز S بالفضاء الجزئي الناقل للمجموعة S

ومن الواضح أن الفضاء الجزئي الناقل للمجموعة المحدبة S، يحتوي على جميع النقاط التي يمكن الوصول إليها من نقاط المجموعة المحدبة S عن طريق الجمع الخطي لنقاط هذه المجموعة المحدبة.

#### الداخلية النسبية للمجموعة المحدبة:

نرمز لها بالرمز (s)، (s)، وهي داخلية (s) عندما تكون مجموعة جزئية من (s)، وهي تمثل مجموعة النقاط التي يمكن الوصول إليها من داخل المجموعة المحدبة (s)، بحيثُ تكون محاطة بالكامل بنقاط أخرى من هذه المجموعة.

rb(s) . وكذلك بالنسبة للحدودية النسبية يُرمز لها بالرمز

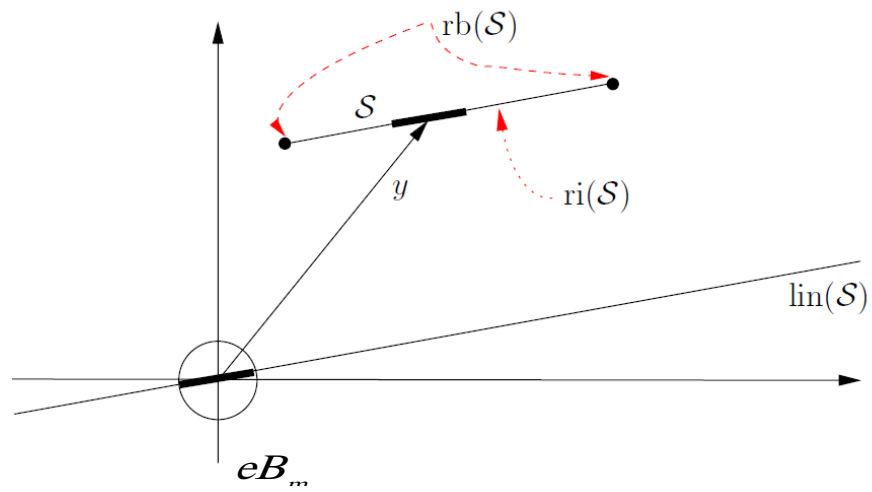
#### ملاحظة:

u بفرض أن المجموعة S لا تحتوي نقطة الأصل فيجب تحويلها بواسطة متجه اختياري . بفرض ri(S) و S-v وبفرض lin(S) تشير إلى أصغر فضاء جزئي يحوي S-v و iقطة من المجموعة v + lin(S). عندما نعتبرها مجموعة جزئية من الفضاء الجزئي الأفيني S

وأيضياً

$$ri(S) = \{ y \in S; \exists \varepsilon > 0, y + (\varepsilon B_m \cap lin(S)) \subset S \}$$

 $R^m$  . حيثُ  $B_m$  كرة الوحدة في



S, lin(S), ri(S), rb(S) الشكل (1) المجموعة

#### ملاحظة:

عندما تكون S مجرد نقطة، فإن الداخلية النسبية n(S) هي نفسها، وذلك لأن الداخلية النسبية تتطلب وجود محيط حول النقطة، ولكن في حال وجود نقطة واحدة فقط، لا يمكن تكوين محيط يحتوي على نقاط أخرى، وبالتالي فأن الداخلية النسبية تتكون فقط من تلك النقطة نفسها.

#### ملاحظة:

من أجل أي مجموعة جزئية S غير خالية من  $R^m$  وكل  $y \in X$ نرمز للمسافة بين  $y \in X$  بالرمز

$$\|y\|_{S} = \inf_{z \in S} \|z - y\|$$

## تعريف المخروط (cone):

 $\lambda > 0$ . و  $y \in k$  بحیث  $\lambda y \in k$  نسمی المجموعة غیر الخالیة  $k \subset R^m$  مخروط، إذا کان

# المخروط المماسي (tangent cone):

بفرض  $S \subset R^m$  عندئذٍ المخروط المماسي للمجموعة بفرض  $S \subset R^m$  عند النقطة  $S \subset R^m$  بحيث تبقى  $S \subset R^m$  عند النقطة  $S \subset R^m$  بحيث تبقى النقاط الناتجة داخل المجموعة المحدبة . ويكتب رياضياً :

$$T(y,S) = \left\{ z \in \mathbb{R}^m : \lim_{\lambda \to \infty} \inf \frac{\|y + \lambda_z\|_{S}}{\lambda} = 0 \right\}$$

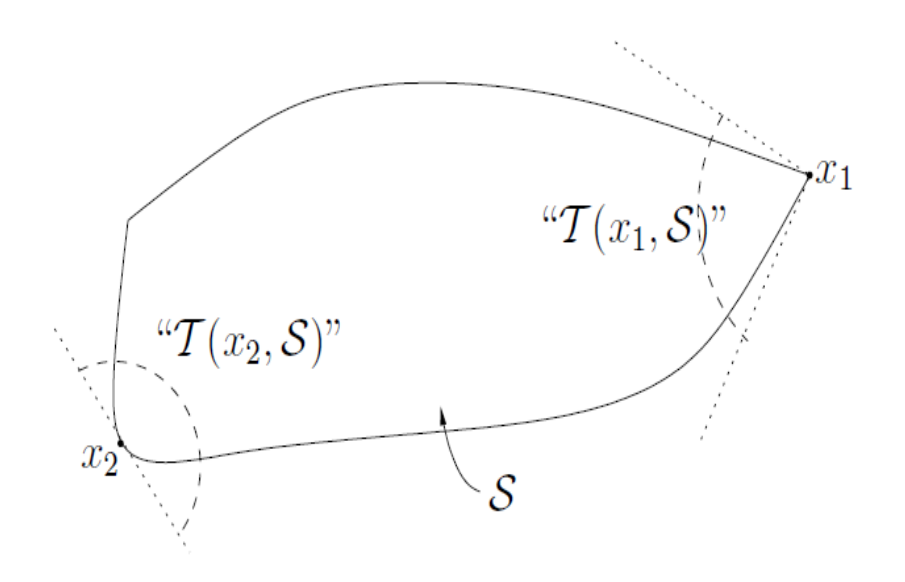
#### المخروط العادى (normal cone):

المخروط العادي للمجموعة S عند النقطة y هو مجموعة جميع المتجهات التي تمثل الاتجاهات التي يمكن أن نتحرك بها من النقطة y نحو خارج المجموعة المحدبة وبحيث تكون هذه المتجهات عمودية على أي اتجاه داخلي في المخروط المماسي عند تلك النقطة ويعبر عنه رياضياً بالعلاقة:

$$N(y,S) = \left\{z^* : \left\langle z, z^* \right\rangle \le 0 \forall z \in T(y,S) \right\}$$

#### ملاحظة:

 $T(y,S) = R^m$  فإن  $y \in \text{int}(S)$ 



الشكل (2) مخاريط المماس

يبين الشكل (2) المخاريط المماسية  $T(x_1,S)$  و  $T(x_1,S)$  يتم الحصول عليها من خلال تحويل و کانت S تتکون من نقطة خاصة إذا کانت  $T(x_2,S)$  و  $T(x_1,S)$  $y \in \partial S$  واحدة فقط y عندئذِ يكون  $T(y,S) = \{0\}$  من الناحية الهندسية المخروط المماسى ل هو مخروط لهُ مركز في الأصل يحتوي على جميع المتجهات التي تشير اتجاهاتها من y (داخل) المجموعة y إذا كانت هذه الحدود ملساء عند النقطة y فإن y هو نصف الفضاء المماسى المنقول إلى الأصل .

على سبيل المثال في الشكل (2) تكون حدودية  $x_2$  ملساء في حين أن حدودية  $x_1$  ليست ملساء لذلك فأن  $T(x_1,S)$  هو نصف فضاء مماسي منقول إلى الأصل في حين أن  $T(x_1,S)$  ليس كذلك.

قبل الانتهاء من هذه الفقرة، نلخص في التمهيدية التالية بعض خصائص المخاريط المماسية للمجموعات المحدية.

#### تمهيدية 1:

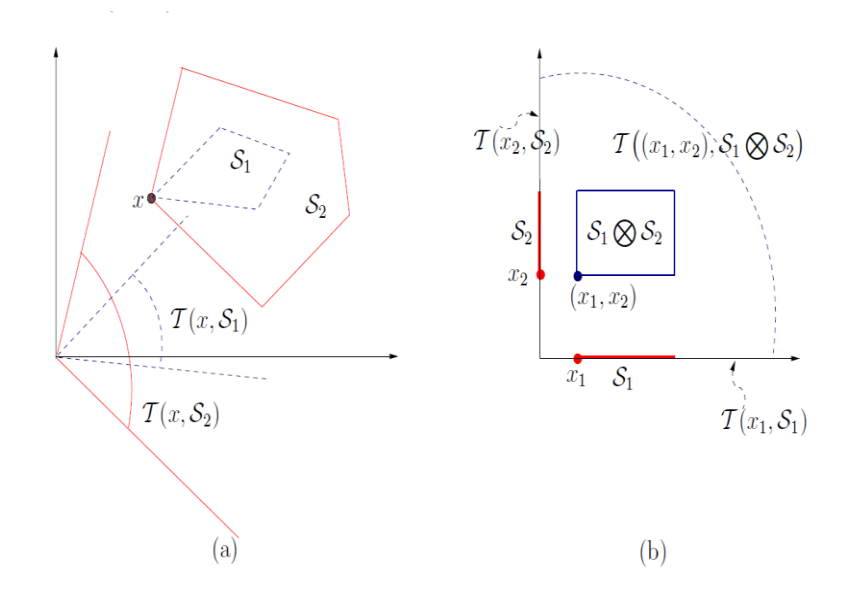
إذا كانت المجموعة المحدبة  $S_2$  تحتوي على مجموعة محدبة  $S_1$ ، فعندئذ مخروط المماس عند أي نقطة  $S_1$  للمجموعة  $S_2$  يحتوى مخروط المماس عند  $S_1$  للمجموعة  $S_2$  يحتوى مخروط المماس عند  $S_1$ 

#### ملاحظة:

إذا كانت المجموعة المحدبة جداء ديكارتي لمجموعات محدبة  $S_1,...,S_n$  عندئذٍ مخروط المماس عند أي نقطة  $x=(x_1,...,x_n)$  للمجموعة، هو الجداء الديكارتي لهذه المخاريط المماسية  $x=(x_1,...,x_n)$  بحيث  $x=(x_1,...,x_n)$  بحيث  $x=(x_1,...,x_n)$  بحيث  $x=(x_1,...,x_n)$ 

على سبيل المثال في الشكل (3) ، (4) مجموعة محدبة (مربعة) في المستوى هي الجداء الديكارتي للمجموعتين  $S_1$  و  $S_2$  ، نلاحظ أن مخروط المماس عند  $S_1$  للفترة الزمنية  $S_1$  هو محور عمودي موجب، جداءهم الديكارتي هو مربع ومخروط المماس عند  $S_2$  للفترة الزمنية  $S_2$  هو محور عمودي موجب، جداءهم الديكارتي هو الربع الأول وهو بالضبط مخروط المماس عند النقطة  $S_1$  للمجموعة المربعة.





الشكل (3) خواص المخاريط المماسية للمجموعات المحدبة

#### التمهيدية 2: [1]

بغرض  $R^m$  الخواص التالية محققة: i=1,...,n الخواص التالية محققة:

$$T\left(y,S_{1}\right)\subset T\left(y,S_{2}\right) \quad \text{ i.i.} \quad y\in S_{1}\subset S_{2} \quad \text{ i.i.} \quad 1$$
  $N\left(y,S_{2}\right)\subset N\left(y,S_{1}\right)$   $N\left(y,S_{2}\right)\subset N\left(y,S_{1}\right)$   $\vdots$   $x_{i}\in S_{i}\left(i=1,...,n\right)$   $\text{ i.i.} \quad x_{i}\in S_{i}\left(i=1,...,n\right)$   $\text{ i.i.} \quad T\left((x_{1},...,x_{n}),\bigotimes_{i=1}^{n}S_{i}\right)=\bigotimes_{i=1}^{n}T\left(x_{i},S_{i}\right),$   $N\left((x_{1},...,x_{n}),\bigotimes_{i=1}^{n}S_{i}\right)=\bigotimes_{i=1}^{n}N\left(x_{i},S_{i}\right).$ 

#### مشتق دینی:

بفرض a,b عددين حقيقيين وبفرض الدالة  $h:(a,b)\to R$  عددين حقيقيين وبفرض الدالة  $h:(a,b)\to R$  عند  $t^*$  بالشكل:

$$D^{+}h(t^{*}) = \limsup_{\tau \to 0^{+}} \frac{h(t^{*} + \tau) - h(t^{*})}{\tau}$$

## التمهيدية 3: [2]

بفرض أن الدالة h مستمرة على المجال (a,b) ، عندئذٍ فإن الدالة h غير متزايدة على المجال  $t\in (a,b)$  . وذلك من أجل كل  $t\in (a,b)$  إذا وفقط إذا تحقق (a,b)

في تحليل الاستقرار نحن نهتم بمشتق ديني لدالة على طول حل المعادلة التفاضلية .

بفرض لدينا المنظومة غير المستقلة:

$$\dot{x} = f(t,x)$$

وليكن x(t) حلاً لهذه المنظومة، وبفرض أن  $x(t): R \times R^n \to R$  دالة مستمرة تحقق شرط ليبشتز المحلي عند x بشكل منتظم فيما يتعلق بالزمن x، بالتالي فأن مشتقة ديني العليا للدالة V(t,x) فيما يتعلق بالزمن x تكون مُعطاة بالشكل:

$$D^{+}V(t,x(t)) = \lim_{\tau \to 0^{+}} \sup \frac{V(t+\tau,x(t+\tau)) - V(t,x(t))}{\tau}$$

من جهة أخرى نعرف:

$$D_{f}^{+}V(t,x) = \lim_{\tau \to 0^{+}} \sup \frac{V(t+\tau,x+\tau f(t,x)-V(t,x))}{\tau}$$

الدالة  $D_f^{\dagger V}$  تدعى مشتقة ديني العليا للدالة V على طول الحل للمنظومة (1).

أظهر يوشيزاوا في عام 1966 [6] أن

$$D^{+}V(t^{*},x(t^{*})) = D_{f}^{+}V(t^{*},x^{*}))$$

نسرين الأسعد

 $x(t^*) = x^*$  وذلك عندما نضع

التمهيدية 4 :[3,4]

بفرض  $i\in I_0=\left\{1,...,n\right\}$  من أجل كل  $C^1$  من أجل  $V_i\left(t,x\right):R\times R^n\to R$  بفرض  $V_i\left(t,x\right):R\times R^n\to R$  بان  $V_i\left(t,x\right)=\max_{i\in I_0}V_i\left(t,x\right)$ 

وبفرض أن  $I(t) = \{i \in I_0 : V_i(t,x(t)) = V(t,x(t))\}$  مجموعة من الأدلة.

يتم الحصول على الحد الأقصى عند ا

$$D^{+}V(t,x(t)) = \max_{i \in I(t)} \dot{V}_{i}(t,x(t))$$

مبدأ الثبات (الاستقرار):[2,5]

بفرض لدينا المنظومة المستقلة عن الزمن

$$\dot{x} = f(x)$$

 $R^n$  . دالة مستمرة، حيثُ D مجموعة جزئية مفتوحة من  $f:D 
ightarrow R^n$  وبفرض أن

إن تفرد الحلول غير مضمون . وبفرض  $x^0$  نقطة من D. سيتم اختيار الزمن الأولي دوماً يساوي الصفر .

الحل الغير مستمر  $x(0) = x^0$  يكتب بالشكل:

$$x:(\alpha,\omega)\to R^n$$

 $\alpha < 0 < \omega$  حيث

x(t) يتم تعيين الحد الموجب لمجموعة الحلول برا بواسطة الموجب المجموعة الحلول يتم تعيين الحد الموجب لمجموعة الحلول الموجب

#### التمهيدية 5: [2]

إذا كان الحل x(t) محدوداً، فإن  $(x^0)$  غير خالية ومركبة ومستمرة، وأيضاً يكون

$$x(t) \rightarrow \wedge^+(x^0)$$
  $t \rightarrow \omega$  ,  $\omega = \infty$ 

الأن سوف نقدم مبرهنة لاسال

#### مبرهنة 1: [2] لاسال

بفرض x(t) تمثل حلاً للمنظومة (2) وبفرض x(t) تمثل دالة ليبشتر بحيث أن x(t) بغرض x(t) تمثل حلاً للمنظومة (2) وبفرض x(t) على المجال على المجال x(t) على المجال x(t) على المجال التعريف المجال التي تبقى في x(t) على المجال المجا

## صياغة المسألة:

في هذا القسم نقدم نموذجاً عاماً غير خطياً للمنظومات ذات الاتصال الداخلي، يمكن أن يصف معظم المنظومات الديناميكية المتزاوجة. بفرض لدينا أسرة من المنظومات الممثلة بالمعادلات التفاضلية العادية من الشكل:

$$\dot{x}_{1} = f_{p}^{1}(x_{1},...,x_{n}) 
\vdots 
\dot{x}_{n} = f_{p}^{n}(x_{1},...,x_{n})$$
(1)

p والعنصر وقم i=1,...,n حيثُ  $x_i \in R^m$  حيثُ عند المنظومة الجزئية أو العضو رقم موجود ضمن المجموعة  $\,P\,$  ، حيثُ إن مجموعة الوسطاء  $\,P\,$  تمثل اسرة من نماذج المزاوجة المختلفة.

 $R^{m}$  وكما نلاحظ أن المنظومة الجزئية تشترك بفضاء حالة مشترك

نقدم الحالة العامة من أجل n عضو n عضو  $x=(x_1,...,x_n)\in R^{mn}$  النموذج بالشكل المختصر يكتب بالشكل:

$$\dot{x} = f_p(x), \qquad p \in P \tag{2}$$

حيثُ  $p \in P$  و  $m \to R^{mn} \to R^{mn}$  اسرة لحقول متجهية منتظمة تحقق شرط ليبشتر يتم P تحديدها بواسطة مجموعة العناصر

سنقدم تعريف البيان الموجه والبيان الموجه التفاعلي الديناميكي للمنظومات غير الخطية المتزاوجة.

من أجل كل  $p \in P$  نربط كل حقل متجهي  $f_p$  ببيان موجه تفاعلي g ، والذي يمثل بنية التفاعل من أجل n منظومة جزئية (أعضاء).

# تعریف:

: نموجه التفاعلي ( $G_n(V,E_n)$  يتكون من

- مجموعة محدودة V من العقد، العقدة i تمثل العضو V
  - مجموعة الأوتار  $E_p$  تمثل روابط بين الاعضاء.

يشير الوتر من العقدة j إلى العقدة i إن العضو j مجاور للعضو i ، بمعنى أن j تعتمد على j على أن يوجد j بحيث أن:

$$f_p^i(x_1,...,x_j^1,...,x_n) \neq f_p^i(x_1,...,x_j^2,...,x_n)$$

 $N_i(P)$  مجموعة جوارات العضو i نرمز لها بالرمز

بفرض  $\Omega = \{x \in R^{mn}; x_1 = x_2 = ... = x_n\}$  مجموعة ثابتة للمنظومة ذات الاتصال الداخلي. كما في المنظومات الخطية المتزاوجة نحن نهتم بمعرفة مدى تأثير الاستقرار و الجذب فيما يتعلق بالمجموعة  $\Omega$  للمنظومة  $\Omega$  ببنية التفاعل.

#### المسألة:

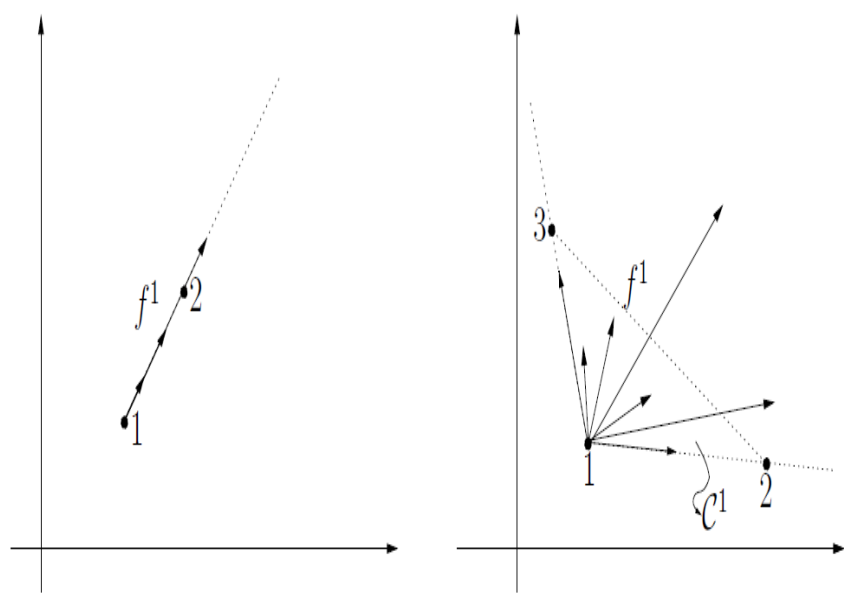
بفرض إن الحقل المتجهي f يحقق بعض الفرضيات، ما هي الشروط الواجب توفرها في البيان الموجه التفاعلي G، التي تكون بموجبها المنظومة ذات الاتصال الداخلي مستقرة أو جاذبة فيما يتعلق بمجموعة التوازن  $\Omega$ ?

i بغرض  $C^i=Co\{x_i,x_j:j\in N_i\}$  بغرض بغرض  $C^i=Co\{x_i,x_j:j\in N_i\}$  بغرض أن:  $i\in I_0\{1,...,n\}$  كل  $i\in I_0\{1,...,n\}$  نغرض أن:

 $R^{mn}$  مستمرة على  $f^{i}:(1)$ 

وأيضاً  $f^i(x) \neq 0$  وأيضاً  $f^i(x) \in T(x_i, c^i)$  وأيضاً  $x \in R^{mn}$  إذا كان  $x \in R^{mn}$  ليس مفرداً و  $x \in R^{mn}$  هو رأسهُ.

الفرض 1) هو لضمان وجود الحلول. وندعو  $T(x_i,c^i) \in T(x_i,c^i)$  بالمخروط المماسي للمجموعة



الشكل (4) مثالان لحقول متجهية تحقق الفرض 2

.[7] عند النقطة  $x^i$  ويشار إليه أحياناً على أنهُ شرط المماسية  $c^i$ 

يوضح الشكل (4) مثالان لحقول متجهية تحققان الفرض 2)، في المثال الأيسر العضو رقم 1 يملك جوار واحد فقط هو العضو رقم 2.

متعدد الابعاد  $c^1$  هو الخط المتقطع الذي ينضم إلى  $x_1,x_2$  ومخروط المماس  $T(x_1,c^1)$  هو  $\{\lambda(x_2-x_1);\lambda\geq 0\}$  المتجه المغلق

.  $x_2 - x_1$  الفرض 2) يعنى أن الحقل المتجهى  $f^1$  غير صفري ونقاطهُ في اتجاه

في المثال الأيمن العضو رقم 1 يملك جوارين هما الأعضاء 2,3، متعدد الأبعاد  $c^1$  هو المثلث ذو الرؤوس  $x_1,x_2,x_3$  ومخروط المماس ( $x_1,x_2,x_3$  هو

$$\{\lambda_1(x_2-x_1)+\lambda_2(x_3-x_1);\lambda_1,\lambda_2 \ge 0\}$$

. الفرض  $f^{-1}$  يعني أن  $f^{-1}$  غير صفري ونقاطهُ تقع داخل هذا المخروط المغلق

بشكل عام الفرض  $f^{i}(x)$  بتطلب أن  $f^{i}(x)$  تملك الشكل:

$$\sum_{j \in N_i} \alpha_j(x)(x_j - x_i)$$

حيثُ  $\alpha_j(x)$  دوال سلمية غير سالبة، و  $f^i(x)$  تكون غير صفرية إذا كانت مفردة عير سالبة، و  $\alpha_j(x)$  تكون غير صفرية إذا كانت مفردة و  $\alpha_j(x)$  هو رأسهًا.

من أجل المنظومة غير الخطية المتزاوجة (2) مع تطبيق الفرضين 1) و2) نعرف المجموعة التي سنقوم بدراستها من أجل الاستقرار والجذب بالشكل:

$$\Omega = \{x \in R^{mn}; x_1 = ... = x_n\}$$

نتكن  $\overline{x}$  تمثل أي نقطة من المجموعة  $\Omega$  ، من الواضح إنهُ من أجل أي يكون:

$$c^{i} = Co\{\overline{x}_{i}, \overline{x}_{j}; j \in N_{i}\} = \{\overline{x}_{i}\}$$

بالتالي فإن  $f^i(\overline{x})=0$  أن (2 بالتالي يتحقق من الفرض (2) بالتالي يتحقق من الفرض  $(2,c^i)=0$  بالتالي فإن  $(2,c^i)=0$  بالتالي يتحقق من الفرض  $(2,c^i)=0$  بالتالي يتحقق من الفرض  $(2,c^i)=0$  بالتالي يتحقق من الفرض  $(2,c^i)=0$ 

مما يعني أن المجموعة  $\Omega$  تمثل مجموعة التوازن، وهي بالطبع أيضاً تمثل مجموعة ثابتة.

التمهيدية 6: بفرض المنظومة ذات الاتصال الداخلي المتزاوجة

$$\dot{x}_1 = f^{-1}(x_1, ..., x_n)$$
  
 $\vdots$   
 $\dot{x}_n = f^{-n}(x_1, ..., x_n)$ 

تملك حل X(t) على المجال X(t)، وبفرض

$$V_i^{\alpha}(x) = \frac{1}{2} ||x_i - \alpha||^2$$
 &  $V^{\alpha}(x) = \max_{i \in I_0} V_i(x)$ 

 $D^{\dagger}V^{\alpha}(x(t)) \leq 0$  نقطة اختيارية بالتالي على طول أي مسار X(t) مسار  $\alpha \in R^m$  خيث  $\alpha \in R^m$ الإثبات:

 $[0,\omega)\subseteq[0,\infty)$  المجال (مرض X(t) على المنظومة المفروضة معرفاً على المجال X(t) $x(0) = x^{0}$  بحبث

بالنظر إلى الحد الأقصى للدالة  $V^{\alpha}(x)$  فهى ليست تفاضلية فى كل مكان لذلك نستخدم مشتقة ديني.

نعرف  $I(x) = \{i \in I_0; V_i^{\alpha}(x) = V^{\alpha}(x)\}$  مجموعة الأدلة حيثُ يتم الوصول إلى الحد الأقصى من خلالها. من خلال التمهيدية 3 بتحقق أن:

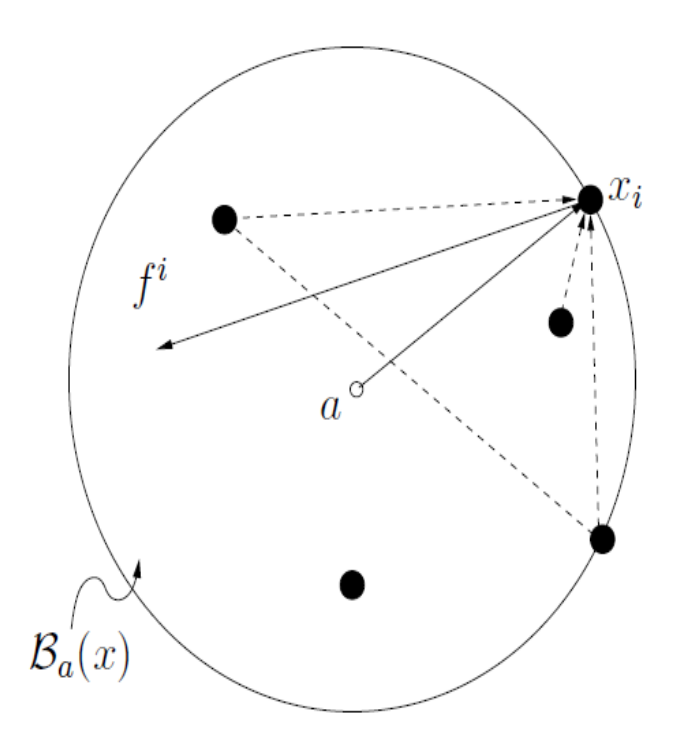
$$D^{+}V^{\alpha}(x(t)) = \max_{i \in I(x(t))} V_{i}^{\alpha}(x(t))$$
 (\*)

نعرف كرة في الفضاء  $R^m$  بالشكل:

$$B_{\alpha}(x) = \{ y \in R^m; ||y - \alpha||^2 \le 2V^{\alpha}(x) \}$$

هذا يعني أن الكرة  $B_{\alpha}(x)$  تضم جميع النقاط  $x_1,...,x_n$  وذلك من خلال متعدد الأبعاد  $C^i = co\{x_i, x_i; j \in N_i\} \subset B_\alpha(x)$ 

من خلال التمهيدية (1) والفرض 2) لدينا أيضاً



 $B_{\alpha}(x), f^{i}(x)$  الشكل (5) رسم يوضح

$$f^{i}(x) \in T(x_{i},C^{i}) \subset T(x_{i},B_{\alpha}(x))$$

 $B_{\alpha}(x)$  الكرة الكرة على حدودية الكرة  $i \in I(x)$  هذا يعني أن العضو  $x_i$  يقع على حدودية الكرة  $i \in I(x)$  يمثل نصف قطر الكرة، بالتالى:

$$(x_i - \alpha) \in N(x_i, B_\alpha(x))$$

 $x_i$  في  $B_{\alpha}(x)$  المخروط العادي للكرة

 $i \in I(x)$  كل تعریف المخروط العادي يتحقق أنهُ من أجل كل تعریف المخروط العادي العادي المخروط العادي العادي

$$\dot{V_i}^{\alpha}(x) = (x_i - \alpha)^T f^i(x) \le 0$$

أ د محمد العلى أ د عبد الباسط الخطيب نسرين الأسعد

بالمقارنة مع المعادلة (\*) ينتج:

$$D^{\dagger}V^{\alpha}(x(t)) \leq 0$$

بالإضافة إلى ذلك من الأعلى ومن خلال التمهيدية (2) نرى إن  $V^{\alpha}(x(t)) \leq V^{\alpha}(x(0))$  من  $\omega = \infty$  أجل كل  $t \in [0, \omega)$  ولذلك فأن الحل x(t) يكون محدود وبالتالي فأن

## مبرهنة (2):

المنظومة ذات الاتصال الداخلي

$$\dot{x}_1 = f^{-1}(x_1, ..., x_n)$$
:
$$\dot{x}_n = f^{-n}(x_1, ..., x_n)$$

 $\overline{x} \in \Omega$  مستقرة بالنسبة لكل توازن

### الإثبات:

بفرض إن أي توازن  $\overline{x} \in \Omega$  سيكون من الشكل  $\overline{x} = \zeta \otimes I_n$  من أجل بعض  $\overline{x} \in \Omega$  وبفرض

$$V^{\zeta}(x) = \frac{1}{2} \max_{i \in I_0} ||x_i - \zeta||^2$$

يمكن التحقق بسهولة من أن  $V^{\varsigma}(x)=0$  عندما  $x=\bar{x}$  ، وأن  $V^{\varsigma}(x)\geq 0$  عندما  $x\neq \bar{x}$  . أي  $\overline{x}$  . أن الدالة  $V^{\zeta}(x)$  صامدة أمامياً بالنسبة لكل توازن

بالإضافة لذلك من خلال التمهيدية (5) نحصل على أن مشتقة ديني على طول أي مسار للمنظومة المفروضة

$$D^+V^{\zeta}(x(t)) \leq 0$$

 $\bar{x} \in \Omega$  ومن خلال المبرهنة (6) [2] يتحقق أن المنظومة مستقرة بالنسبة لكل موضع توازن

## مبرهنة (3):

المنظومة ذات الاتصال الداخلي

$$\dot{x}_1 = f^{-1}(x_1, ..., x_n)$$
  
 $\vdots$   
 $\dot{x}_n = f^{-n}(x_1, ..., x_n)$ 

جاذبة في كل مكان فيما يتعلق بالمجموعة  $\Omega$  إذا وفقط إذا كان البيان الموجه التفاعلي شبه قوي الاتصال.

#### الإثبات:

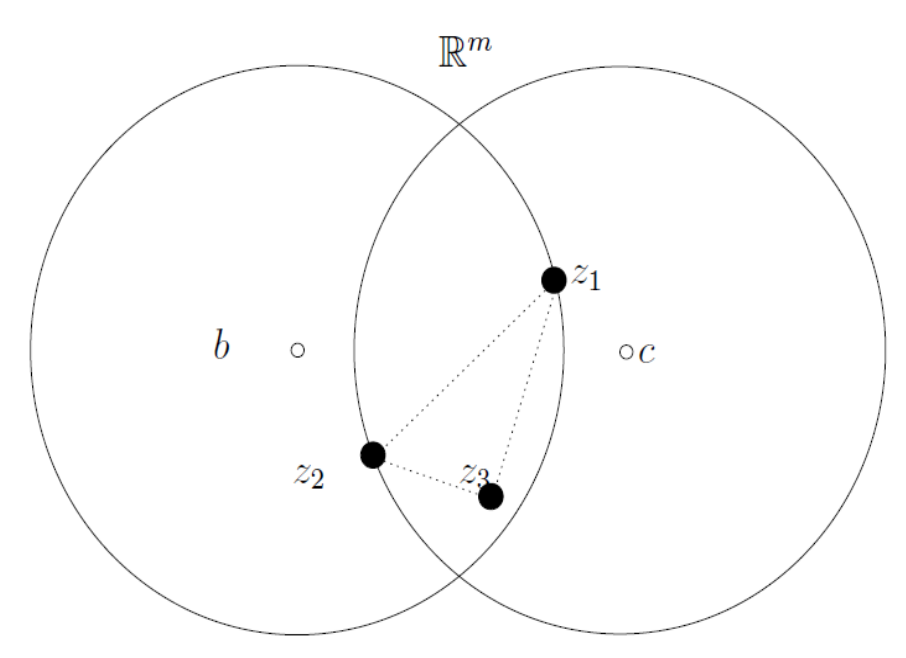
(ح) ليكن  $x^0 \in R^{mn}$  عنصر اختياري، من خلال التمهيدية (5) نعلم أن المنظومة المفروضة مثلك حل  $(x^0) \in R^{mn}$  على المجال  $(\infty, \infty)$  و  $(0, \infty)$  و بفرض  $(x^0) \in R^{mn}$  تملك حل  $(x^0) \in R^{mn}$  تملك حل المجال  $(x^0) \in R^{mn}$  نقطة اختيارية. من خلال التمهيدية (5) لدينا  $(x^0) \in R^{mn}$  نقطة اختيارية. من خلال التمهيدية (5) لدينا  $(x^0) \in R^{mn}$ 

بفرض  $(x^0)$  بفرض  $(x^0)$  بفرض بفرص بفرص الموجبة المحدود الموجبة للحلول التي تحقق  $(x^0)$  بفرض بفرص التمهيدية (5) نحن نعلم أن الحل  $(x^0)$  محدود، بالتالي من خلال التمهيدية (5) مجموعة الحدود الموجبة  $(x^0)$  غير خالية ومركبة ومستمرة وأيضاً  $(x^0)$ 

من جهة أخرى يتحقق من المبرهنة (1) أن  $M \subset M$  حيثُ M تمثل اتحاد جميع الحلول  $Z_{\alpha} = \{x \in R^{mn}; D^+V^{\alpha}(x) = 0\}$ 

نختار أي نقطتين  $b,c \in R^m$  وباعتماد نفس البرهان وبالاعتماد على المبرهنة (1) نجد أيضاً أن  $Z_b \cap Z_c$  ميث M' تمثل اتحاد جميع الحلول التي تبقى في M' حيث M'

 $q = (q_1, ..., q_n) \in M'$  ومن ثم نفرض أن  $M' \subset \Omega$  ، ولنثبت ذلك. لنفرض العكس أنهُ توجد نقطة  $Z_1,...,Z_k$  بواسطة  $co\{q_1,...q_n\;\;\;$  لكن  $0 \leq k < n; q 
ot\in \Omega$  بواسطة  $q 
ot\in \Omega$  لكن  $q 
ot\in \Omega$ 



 $\Omega$  النقطة q في M وليست في q

بحيث b,c يمكن اختيارها بحرية.

بدون المساس بعمومية المسألة يمكن أن نفرض أن هناك رأساً واحداً فقط لنقل  $Z_{1}$  في حدودية الكرة  $B_c(q)$  ويوجد رأس واحد فقط لنقل  $Z_2$  في حدودية الكرة  $B_b(q)$ 

$$I'(q) = \{i \in I_0; q_i = Z_1\}$$
 بفرض  $II'(q) = \{i \in I_0; q_i = Z_2\}$ 

G تمثل مجموعات الأعضاء الموجودة في  $Z_1,Z_2$  على التوالي إذا كان البيان الموجه التفاعلي تمثل مجموعات الأعضاء الموجودة في وي I'(q),II'(q) غير شبه قوي الاتصال بالتالي يتحقق أنه يوجد عقدة مركزية لنقل  $v_c$  وبما أن  $v_c$  غير مفككة، بالتالي العقدة المركزية  $v_c$  لا يمكن أن تكون في كلتا المجموعتين. بدون المساس بعمومية المسألة لنقل أنها لا تتمي للمجموعة I'(q)

x(t) نتكن x(t) وبفرض أن x(t) تمثل حل للمنظومة المفروضة يغادر من

: يكون  $t\in [0,\infty)$  كل أجل كل  $q\in M'\subset Z_b\cap Z_c$  بما أب

$$D^{\dagger}V^{b}(x(t)) = \max_{i \in I'(x(t))} (x_{i}(t) - b)^{T} f^{i}(x(t)) = 0$$

حيثُ

$$I'(x(t)) = \{i \in I_0; V^b(x(t)) = V_i^b(x(t))\}$$

نلاحظ أنه يمكن اختيار b خارج المجموعة المركبة التي تحتوي على جميع  $x_i(t)$  بحيث  $t \in I'(x(t))$  . لذلك من أجل كل  $t \in [0,\infty)$ 

$$x_i(t) - b \neq 0; \forall t \in [0, \infty)$$

أيضاً من خلال الفرض 2) وبالاستفادة من أن  $T(x_i,C^i)$  محتواة بشكل كامل في  $T(x_i,B_b(x))$  .

 $D^+V^b(x(t))=0$  إن  $D^+V^b(x(t))=0$  بيضمن أنه  $D^+V^b(x(t))=0$  بيضمن أنه  $\dot{x}(t)=0$  بحيث  $\dot{t}(x(t))=0$  أي أن  $\dot{t}(x(t))=0$  بحيث  $\dot{t}(x(t))=0$  بحيث  $\dot{t}(x(t))=0$ 

I'(x(0)) ومن ثم من خلال تعریف المجموعة

$$g(x(0)) = \min_{i \in I'(x(0))} V_i^b(x(0)) - \min_{j \in I_0 - I'(x(0))} V_j^b(x(0)) > 0$$

بما أن g(x(t)) دالة مستمرة يتحقق أنه يوجد عدد موجب صغير بشكل كاف  $w_1$  بحيث أنه فإن  $j\in I_0-I'(x\left(0\right))$  و  $i\in I'(x\left(0\right))$  فإن  $g\left(x\left(t\right)\right)>0$  فإن  $\forall t\in [0,w_1]$ 

$$V_{i}^{b}(x(t)) > V_{i}^{b}(x(t))$$

بالتالي

$$(I_0 - I'(x(0)) \cap I'(x(t))) = \phi \forall t \in [0, w_1]$$

أو بمعنى:

$$I'(x(t)) \subseteq I'(x(0)) \forall t \in [0,w_1]$$

الأن نجزأ المجموعة  $I'(x(t)) = J(x(t)) \cup \overline{J}(x(t))$  حيث:

$$J(x(t)) = \{i \in I'(x(t)); f^{i}(x(t)) = 0\}$$
$$\overline{J}(x(t)) = \{i \in I'(x(t)); f^{i}(x(t)) \neq 0\}$$

بالتدريج، من أجل كل  $i \in \overline{I}(x(0))$  و  $i \in I'(x(0))$  ، بالتالي  $i \in \overline{I}(x(0))$  بالتدريج، من أجل كل  $I_0 - I'(x(0))$  و الذي يقتضى بدورهُ أن العضو i يملك جوار في  $f^i(x(0)) \neq 0$  و الذي يقتضى بدورهُ أن بالواقع جميع جوارات  $C^i(x(0))$  تكون في I'(x(0)) ، بالتالي  $C^i(x(0))$  تكون غير مفردة،  $i \in \overline{J}(x(0))$  و الذي بناقض حقيقة أن  $f^{i}(x(0)) = 0$  و من خلال الفرض

بفرض  $i \in \overline{J}(x(0))$  بغرض عضو مجاور للعضو  $j \in I_0 - I'(x(0))$  بغرض بالتالي  $I_0 - I'(x(0)) \subseteq I_0 - I'(x(t))$  يتحقق أن  $I'(x(t)) \subseteq I'(x(0))$  يكون  $t \in [0, w_1]$ 

 $i \in I'(x(t))$  يكون  $t \in [0,w_1]$  يكون  $t \in [0,w_1]$  يكون  $i \in I'(x(t))$  يقتضي أن  $i \in I'(x(t))$  يكون على حدودية الكرة  $i \in I'(x(t))$  ولذلك فإن  $i \in I_0 - I'(x(t))$  يكون رأس  $i \in I_0$  تكون رأس  $i \in I_0$  يكون رأس أيضاً بما أن العضو  $i \in I_0 - I'(x(t))$  يبين لنا أن  $i \in I_0 - I'(x(t))$  بالتالي تبين لنا أن :

$$(\forall t \in [0, w_1])i \in I'(x(t)) \Longrightarrow (\forall t \in [0, w_1])f^i(x(t)) \neq 0$$

هذا يقتضي أنه خلال الفترة الزمنية  $[0,w_1]$  ولا عضو في  $\overline{J}(x(0))$  يمكن الوصول إليه من  $\overline{J}(x(t))$ 

$$\forall t \in [0,w_1] \quad J(x(t)) \subseteq J(x(0))$$

ومن ثم سوف نبین أن J(x(t)) موجودة بشكل تام في J(x(t)) . بفرض العكس أن  $t\in (0,w_1]$  لكل J(x(t))=J(x(0))

$$\forall (i \in J(x(0))(\forall t \in [0,w_1])f^i(x(t)) = 0$$

هذا يعني أنه خلال الفترة الزمنية  $[0,w_1]$  ,  $[0,w_1]$  بما أن  $i\in J(x(0))$  هذا يعني أنه خلال الفترة الزمنية  $f^i(x(t))=0$  و  $C^i(x(t))$  مؤردة، بالتالي من أجل كل رأس  $C^i(x(t))$  و الفرض  $f^i(x(t))=0$  و الفرض  $f^i(x(t))=0$  و  $f^i(x(t))=0$  و وبما أن يكون لبعض العقدة المركزية للبيان الموجه  $f^i(x(t))=0$  لا تتمي ل  $f^i(x(t))=0$  ومن جها و المحاور و المحاور و المحاور و المحاور و المحاور و الذي يقتضي أن  $f^i(x(t))=0$  ومن جها أخرى أن  $f^i(x(t))=0$  الذي يقتضي أن  $f^i(x(t))=0$  الذي يناقض حقيقة أن  $f^i(x(t))=0$  . بالتالي فقد وضحنا أنه يوجد  $f^i(x(t))=0$  . يؤدي تكرار هذا  $f^i(x(t))=0$  .

 $i \in I'(x(t_k))$  البرهان إلى وجود  $t_k$  بحيث أن  $J(x(t_k))$  تكون خالية. مما يناقض حقيقة وجود بحيث أن  $f^i(x(t)) = 0$  لذلك فأن الحل  $\Omega \to \infty$  عندما  $x(t) \to \Omega$  والجاذبية في كل مكان محققة.

:(⇐)

 $j^*$  و  $i^*$  يوجد عقدتين g ليس شبه قوي الاتصال بالتالي يوجد عقدتين  $i^*$ k من  $i^*$  و  $i^*$  من أجل أي عقدة k لا يمكن الوصول إلى

لتكن  $V_1$  تمثل مجموعة جزئية من العقد التي يمكن الوصول أليها من  $i^*$  ، ولتكن  $V_2$  تمثل مجموعة جزئية من العقد التي يمكن الوصول إليها من  $j^*$  من الواضح أن  $V_2$  و  $V_1$  مفككتان وأيضاً من أجل أي عقدة  $V_1$  وكذلك من المجموعة و $V_2$  ، مجموعة جوارات العقدة i تمثل  $V_1$  مجموعة جزئية من  $V_1$  (وكذلك من المجموعة م

نختار أي  $Z_1, Z_2 \in R^m$  بحيث يكون  $Z_1 \neq Z_2$  ونختار الشروط الأولية :

$$x_{i}(0) = \begin{cases} z_{1} & \forall i \in V_{1} \\ z_{2} & \forall i \in V_{2} \end{cases}$$

بالتالي خلال الفرض 2)

$$x_{i}(t) = \begin{cases} z_{1} & \forall i \in V_{1} \\ z_{2} & \forall i \in V_{2} \end{cases} \qquad t \geq 0$$

هذا يثبت أن المنظومة ليست جاذبة في كل مكان فيما يتعلق بالمجموعة  $\Omega$ .

#### تطبيق:

بفرض لدينا اسرة من المنظومات غير الخطية المتزاوجة

$$P = 1: \begin{cases} \dot{x}_1 = f_1^{1}(x_1, x_2, x_3) \\ \dot{x}_2 = f_1^{2}(x_2, x_3) \\ \dot{x}_3 = f_1^{3}(x_1, x_3) \end{cases}$$

$$P = 2: \begin{cases} \dot{x}_1 = f_2^{1}(x_1, x_2) \\ \dot{x}_2 = f_2^{2}(x_1, x_2) \\ \dot{x}_3 = f_2^{3}(x_3) \end{cases}$$

إن البيان الموجه التفاعلي لهاتين المنظومتين هو



من الواضح أن المنظومتين مستقرتين وذلك من أجل أي موضع توازن  $\overline{x} \in \Omega$  وذلك حسب المبرهنة 2

وكذلك من الواضح أن البيان الموجه التفاعلي  $G_1$  شبه قوي الاتصال، بالتالي فأن المنظومة الأولى جاذبة في كل مكان فيما يتعلق بوضعية التوازن، وذلك حسب المبرهنة 3.

بينما المنظومة الثانية ليست كذلك وذلك لأن البيان الموجه التفاعلي المرتبط بها ليس شبه قوي الاتصال.

#### المراجع:

- [1] AUBIN J. P, 1991- Viability Theory. Birkhauser
- [2] ROUCHE N, HABETS P, and LALOY M.,1975- <u>Stability Theory by Liapunov's Direct Method. Springer</u>-Verlag
- [3] CLARKE F,H, 1975- Generalized gradients and applications Transactions of the American Mathematical Society, vol. 205, no. 4, pp. 247–262.
- [4] DANSKIN J, M, 1966- The theory of max-min, with applications SIAM Journal on Applied Mathematics, vol. 14, no. 4, pp. 641–664.
- [5] LASALLE J, P, 1968- <u>Stability theory for ordinary differential equations</u> Journal of Differential Equations, vol. 4, pp. 57–65.
- [6] ROUCHE N, HABETS P, MURRAY M, 1975- <u>Stability Theory by Liapunov Direct Method Springer- Verlag.</u>
- [7] BLANCHINI F, 1999- Set invariance in control Automatica, vol. 35, no. 11, pp1747-1767

# التوصيف الظاهري والوظيفي لمجموعات الخلايا اللمفاوية الرئيسة في طحال الخفاش آكل الفاكمة aegyptiacus واستجابتما للقام داء الكلّب الخامل

اعداد الطالبة: يارا الرمضان إشراف: د. نهلة ابراهيم، د. تغريد قدار

#### ملخص البحث

تشير القدرة الفريدة للخفافيش على العمل كمستودع للحمّات شديدة الإمراضية للبشر إلى خصائص فريدة وخصائص وظيفية لجهازها المناعي، ومع ذلك فإن نقص الكواشف الخاصة بالخفافيش، وخاصة الأضداد، قد حدّ من معرفتنا بمناعة الخفاش، في هذا البحث قمنا بدراسة التوصيف الظاهري والوظيفي لمجموعات من الخلايا المناعية، في طحال خفاش الفاكهة Rousettus aegyptiacus الذي ينتمي لفصيلة كالخامل.

أظهرت الدراسة الكيميائية المناعية في الطحال تلويناً إيجابياً قويًا لواسمات CD3 في مناطق الخلايا التائية (الأغماد اللمفاوية حول الشريان)، وتواجد مجموعة الخلايا التائية +CD4 بشكل انتقائي في منطقة الخلايا التائية في الطحال وفي المنطقة الهامشية في الطحال كما وجدنا تعبيراً واضحاً لمجموعات الخلايا CD20 في الجريبات والمراكز المنتشة وفي المنطقة الهامشية، وخلال اليوم العاشر بعد الحقن بلقاح داء الكلّب الخامل تبين حدوث تضاعف للتلوين بـ CD3 وتراكم للخلايا التائية +CD4 بشكل أكبر في مناطق الخلايا التائية وفي الجريبات وزيادة في كثافة التعبير عن CD20 في الجريبات والمراكز المنتشة.

كلمات مفتاحية Rousettus aegyptiacus، داء الكلّب، CD3،CD4،CD20، الطحال.

# Phenotypic and functional characterization of major lymphocyte populations in the spleen of *Rousettus aegyptiacus* and their response to inactivated rabies Vaccine

#### **Abstract**

The unique ability of bats to serve as reservoirs for highly pathogenic viruses affecting humans suggests distinctive characteristics and functional features of their immune system. However, the lack of bat-specific reagents, particularly antibodies, has limited our understanding of bat immunity. In this study, we examined the phenotypic and functional characterization of immune cell populations in the spleen of the Egyptian fruit bat *Rousettus aegyptiacus* belonging to the Pteropodidae family. Additionally, we investigated changes in these populations as a result of the bat's immune response to inactivated rabies vaccine.

Immunohistochemical analysis of the spleen revealed strong positive staining for CD3 in T-cell regions. The CD4+ T-cell population was selectively present in the T-cell area of the spleen and in the marginal zone. We also observed clear expression of CD20+ cell populations in follicles, germinal centers, and the marginal zone. By the tenth day post-injection with the inactivated rabies vaccine, staining for CD3 had doubled, with a greater accumulation of CD4+ T cells in the T-cell regions and follicles, along with an increased density of CD20 expression in follicles and germinal centers.

Keywords: Rousettus aegyptiacus, Rabies, CD20.CD4.CD3., Spleen.

### 1. مقدمة:

بالرغم من الأهمية الكبيرة للخفافيش إلا أنها تتميز بسمعة سيئة كونها المستودع الرئيس للعديد من العوامل الممرضة خاصة الحمّات التي تنتقل إلى الإنسان بطرق مباشرة أو غير مباشرة وتسبب له أمراضاً عديدة[1,2].

حيث أن بعض خصائص الخفافيش (اختيارات الطعام، الحياة بشكل مستعمرة أو الانفرادية، وبنية المستعمرات، والقدرة على الطيران، والهجرة الموسمية وأنماط الحركة اليومية، والخمول والسبات، وعمرها، وسلوكيات النوم، وقابليتها للإصابة بالحمّات) تجعلها مضيفات مناسبة للحمّات وغيرها من العوامل المسببة للأمراض [2].

تعد الخفافيش الثدييات الوحيدة الطائرة في العالم [3]، وتوجد في كل القارات باستثناء الأجزاء الأكثر برودة والأكثر عزلة من الأرض، بما في ذلك القطب الشمالي والقطب الجنوبي وبعض الجزر المحيطية المعزولة. تشير التقديرات إلى أن هناك من 900 إلى أكثر من 1200 نوع من الخفافيش في العالم تتتمي لـ 18 فصيلة وحوالي 174 جنساً [4]، مما يشكل خمس إجمالي عدد الثدييات على الأرض أي في المرتبة الثانية بعد القوارض. ومع ذلك، فإن هذه الأرقام هي مقاييس نسبية أي أنه يمكن أن يكون هناك المزيد من أنواع الخفافيش في العالم. يوجد أكبر عدد من الخفافيش في المناطق الاستوائية، وتعد أمريكا الوسطى والجنوبية موطناً لما يقارب ثلث أنواع الخفافيش في العالم [4].

#### داء الكلب:

# التوصيف الظاهري والوظيفي لمجموعات الخلايا اللمفاوية الرئيسة في طحال الخفاش آكل الفاكهة Rousettus aegyptiacus

العامل المسبب لداء الكلّب RABV هو فيروس الكلّب Rabies virues الذي ينتمي إلى جنس العامل المسبب لداء الكلّب لداء الكلّب لداء الكلّب الدينانية: Lyssa (باليونانية: RNA سلبي السلسلة من جنس Lyssavirus (باليونانية: آلهة الغضب أو الجنون)[5].

ينتمي فيروس داء الكلب إلى عائلة Rhabdoviridae (باليونانية: rhabdos؛ عصية) والتي سميت بهذا الاسم نسبة إلى فيروس rhabdovirus المميز على شكل رصاصة [6]. تتألف فيروسات RNA سلبية السلسلة، من جزيء مستقر ومنظم من RNA الجينومي والبروتين النووي[7].

ينتشر فيروس الكلّب (RABV) في نطاق واسع من الأثوياء كأحد أهم الحمّات الخبيثة ولديه نسبة إماتة تقترب من 100%، وهي واحدة من أعلى المعدلات لأي مرض معد، على الرغم من أنه يمكن تجنبه عن طريق الوقاية المناسبة قبل وبعد التعرض. تمثّل الكلاب الناقل الرئيسي للمرض، بينما تعد الخفافيش الخزانات الرئيسة لـ 10 من أصل 11 فيروساً من الحمّات الكلّبية المعروفة بين الخفافيش [9,8].

تعد فترة حضانة داء الكلّب الفترة الأكثر تفاوتاً بين الأمراض الفيروسية التي تصيب الجهاز العصبي المركزي، وتبلغ غالباً من شهر إلى شهرين ولكن النطاق الفعلي بين 7 أيام إلى 6 سنوات [9]، وتم تسجيل أول حالة من الوفيات البشرية، بسبب داء الكلّب المنتقل عبر الخفافيش في عام 1951م [10].

#### المناعة:

تتكون المناعة لدى الثدييات من نوعين رئيسيين، هما المناعة الفطرية والمناعة المكتسبة، اللتان تشتركان مع بعضهما البعض لإحداث استجابة مناعية مثالية ضد مسببات الأمراض. ثوفر المناعة الفطرية دفاعات فورية غير نوعية، بينما تشمل المناعة المكتسبة الخلايا التائية والبائية الخاصة بالمستضد[11]. تُعرَض المستضدات المشتقة من مُمْرِضات الجسم بواسطة الخلايا المُقدِّمة للمستضد (Antigen presenting cell (APC) ، مثل البلاعم والخلايا التغصنية (Dendritic cells (DC) ، المستضد في النعصنية المفاوية الثانوية، مثل العقد اللمفاوية والطحال ومختلف الأنسجة اللمفاوية المرتبطة بالأغشية المخاطية [12].

ثُفَعًل الخلايا التائية أو البائية الخاصة بالمستضد، وتتكاثر، وتهاجر إلى موقع العدوى، حيث تهاجم المُمْرض الغازي من خلال إنتاج الأضداد و/أو القضاء المباشر للخلايا المصابة[13].

يمكن تقسيم مجموعة الخلايا التائية المستجيبة إلى مجموعتين فرعيتين، هما الخلايا التائية المساعدة (Cytotoxic T cells (CTL) والخلايا التائية السامة للخلايا (T Helper cells (Th) و CD8 و CD8 و CD8 و CD8 و CD8 على والتي يتم تحديدها من خلال قدرتها على التوالي[14]. عند التفعيل، تُنتج الخلايا التائية سطحها (Cluster of Differentiation)، على التوالي[14]. عند التفعيل، تُنتج الخلايا التائية CD4 السيتوكينات، وهي ضرورية للمساعدة في مشاركة أنواع أخرى من الخلايا المناعية وتتشيطها. على سبيل المثال، تعد خلايا T +CD4 ضرورية لتمايز الخلايا البائية إلى الخلايا المنتجة للاضداد (الخلايا البلازمية) وتبديل نمط الأضداد [15,14]. تُنتج الخلايا التائية CD8+ أيضًا السيتوكينات عند تتشيطها، ولكنها تُطلق أيضًا جزيئاتٍ مُحللة للخلايا والتي يُمكنها حلّ الخلايا المصابة مباشرة، مما يجعل هذه المجموعة الفرعية من الخلايا

# التوصيف الظاهري والوظيفي لمجموعات الخلايا اللمفاوية الرئيسة في طحال الخفاش آكل الفاكهة Rousettus aegyptiacus

التائية بالغة الأهمية لمكافحة العدوى داخل الخلايا، وخاصة العدوى الفيروسية. كما تُظهر الخلايا التائية CD3+ نشاطًا مضاداً للأورام[16,17]. مُستقبل الخلايا التائية CD3 هو المُركب الأساسي للمستقبلات على أغشية الخلايا التائية. يُوفر "الإشارة الأولى" التي تُفعّل الخلايا التائية وتُحدد خصوصية الاستجابة المناعية [17].

أما CD4 فهو يشير إلى بروتين موجود على سطح الخلايا التائية المساعدة التي تلعب دوراً أساسياً في تنظيم الاستجابة المناعية، حيث تساعد في مكافحة العدوى من خلال تنشيط الخلايا المناعية الأخرى لتدمير الحمّات والجراثيم [18].

تهاجر الخلايا التائية المساعدة +CD4 بأعداد هائلة عبر الأعضاء اللمفاوية وهذه المعلومات مهمة نظراً لوجود مؤشرات على أن الخلايا التائية +CD4 قد تؤثر على وظيفة البيئات الدقيقة تبعاً لمرحلة نموها. [18].

CD20 هو بروتين أولي موجود على سطح الخلايا البائية حيث تعبر عنه الخلايا البائية الناضجة وبعض الخلايا التائية، ويلعب دوراً في نمو وتمايز الخلايا البائية. في الطحال، يتم التعبير عن CD20 على الخلايا البائية، بما في ذلك خلايا المنطقة الهامشية من الخلايا البائية، وعلى مجموعة فرعية من الخلايا التائية، وتحديداً الموجودة في الغمد اللمفاوي حول الشريان. يلعب CD20 دوراً في نمو الخلايا البائية وتمايزها وتوطينها داخل الطحال. كما يشارك في تنشيط الخلايا البائية واستجابة الأجسام المضادة [18].

تستخدم الكيمياء المناعية كطريقة اختبار مساعدة شائعة الاستخدام في علم الأمراض الجراحي التشريحي لتصنيف الخلايا وتشخيصها، وتستخدم أجساماً مضادة تستهدف

مستضدات معينة في أنسجة وخلايا محددة لتسهيل تحديد نوع الخلية والعضو الأصلي. تُجرى هذه الطريقة عادةً على الأنسجة بعد معاملتها بالبارافين وتثبيتها بالفورمالين، والتي تتميز بسهولة تخزينها [18,19].

## الدراسات المناعية على الطحال عند الخفافيش:

يعد الطحال أحد الأعضاء اللمفاوية الثانوية الهامة لدى الخفافيش وله دور رئيس في المناعة الفطرية والمناعة المكتسبة تجاه العوامل الممرضة بما في ذلك الحمّات [20,21].

وجدت إحدى الدراسات [22] أن الخفافيش باعتبارها مستودعاً للحمّات لديها مجموعة فريدة من الخلايا اللمفاوية في الطحال والتي تختلف عن الثنييات الأخرى، ويهيمن عليها خلايا CD8+ T بدلاً من خلايا T +CD8+ T. قد تشير الأعداد الكبيرة من خلايا CD8+ T إلى أن طحال الخفاش في حالة مستقرة دائماً لمكافحة الحمّات والتي تم تأكيدها في هذه الدراسة باستخدام الأضداد المتفاعلة المتصالبة التي بينت التوصيف الظاهري والوظيفي لمجموعات الخلايا التائية والبائية والقاتلة الطبيعية في الخفاش آكل الفاكهة Pteropus alecto حيث أشارت إلى غلبة الخلايا التائية CD8 + في طحال الخفافيش البرية التي قد تعكس إما وجود الحمّات في هذا العضو أو غلبة هذه المجموعة الفرعية من الخلايا في حالة مستقرة. بدلاً من ذلك، كانت غالبية الخلايا التائية في الدورة الدموية والعقد اللمفاوية ونقي العظم مجموعات فرعية +CD4، وعلاوة على ذلك، فإن العدد المرتفع غير المتوقع للخلايا التائية في نقي العظام لدى الخفافيش قد يشير إلى دور مهم في تطور الخلايا التائية. وأخيراً، أدى التحفيز المولد للانقسام إلى تكاثر وانتاج جزيئات مؤثرة بواسطة الخلايا المناعية لدى الخفافيش.

دراسة أخرى بينت[23] أن وجود تلوين بـ CD8 بنمط شجيري في محيط اللب الأحمر أن محيط الطحال سليم وعلى العكس من ذلك، يمكن استخدام انعدام التلون بـ CD8 لإثبات وجود أورام أو آفات أخرى.

في المقابل، لم تُدرس المناعة النكيفية للخفافيش وأهميتها في السيطرة على العدوى الفيروسية بشكل كاف. وقد قدمت عدة دراسات حديثة [24-27] عن التسلسل الجيني لثلاثة أنواع مختلفة من الخفافيش دليلاً على أن الجينات المُشاركة في المناعة التكيفية لدى هذه الأنواع تشمل جزيئات (Major Histocompatibility Comlex (MHC) ومستقبلات الخلايا التائية والمستقبلات المُشاركة مثل CD3 و CD4 و CD3، بالإضافة إلى واسمات خاصة بالخلايا البائية مثل CD19 و CD20 و CD20 والغلوبولينات المناعية. ومع ذلك، لم يتم تسجيل توصيف جميع الخلايا المناعية للخفافيش، ويعود ذلك على الأرجح إلى نقص الكواشف المُحددة، وخاصة الأضداد. في حين أن إنتاج الأضداد وحيدة النسيلة خاصة بواسمات بروتين الخفاش يمثل النهج الأمثل، إلا أنه مع ذلك يستغرق وقتًا طويلاً ويكلف الكثير. في المقابل، قد توفر الأضداد المتصالبة التفاعلية المُنتجة ضد نفس الأهداف في ثدييات أخرى (وخاصة الفئران والبشر) بديلاً أرخص وأسرع.

تم في إحدى الدراسات [22] تلوين خلايا طحال الخفافيش بالأضداد لـ CD3، وتحديد مجموعات الخلايا اللمفاوية CD4+ وCD8+ بتقنية التدفق الخلوي نظراً لفشل تلوين الأضداد لـ CD8+ CD8+ CD8+ وCD8+ حلى النتائج إلى أن 34% و 25% من خلايا CD8+ كانت CD8+ حلى التوالي. تشير حقيقة أن هذه النسب المئوية بلغت 60% فقط من إجمالي خلايا CD3+ إلى انخفاض حساسية اختبار Flow-FISH مقارنةً بتلوين الأضداد.

كما أكدت بيانات هذه الدراسة [22] وجود نسب مختلفة من الخلايا التائية 4CD+ و 4CD+ و 6ctlb تبعًا للعضو/النسيج المدروس. ففي الطحال، كانت الخلايا التائية 4CD+ هي السائدة على المجموعات الفرعية من الخلايا التائية 4CD+. وفي العقد اللمفاوية، لوحظت نسبة مماثلة من الخلايا التائية 4CD+ والخلايا التائية التي تمثل نمطًا ظاهرياً لذاكرة 4CD، في المقابل، كانت الخلايا التائية المعبرة عن 4CD+ تفوق الخلايا التائية 4CD+ في الدم. وبالمثل، من المثير للدهشة أن أكثر من 30% من خلايا الدم البيضاء الموجودة في نقي عظم الخفافيش هي خلايا لمفاوية تائية، وهي نسبة أعلى بكثير من تلك الموصوفة في نقي عظم الإنسان والفئران والتي تتراوح بين 4% و 8%.

أما دراسة [28] فقد أفادت أن الحقن داخل الصفاق (البريتوان) عند الفئران بفيروس التهاب الدماغ الياباني أدى إلى تضاعف الفيروس في الطبقة الداخلية للبريتوان ثم في البالعات الكبيرة الموجودة في الجريبات اللمفاوية للطحال ولاحقاً في خلايا الغمد اللمفاوي المحيط بالشريان، كما لوحظت العدوى في كل من البالعات والخلايا التائية.

كما كشفت الدراسة التشريحية للطحال أثناء الإصابة بالتهاب الدماغ الياباني عن زيادة عدد البالعات الكبيرة بدءاً من اليوم الثالث، وتراكم العدلات ووصلت إلى الحد الأقصى في اليوم التاسع، كما تبين وجود زيادة في حجم المنطقة T بشكل كبير بحلول اليوم التاسع وبدء انخفاض حجمها تدريجياً خلال أسبوع، وفي فترات لاحقة ظهرت مراكز منتشة في المنطقة T المستقلة ثم اختفت الخلايا المحتوية على مستضد الفيروس مع ظهور المناطق المنتشة مما يشير إلى دور هذه الأخيرة أيضاً في إزالة الفيروس [29].

## 2- هدف البحث وأهمبته:

تتبع أهمية البحث من دراسة التركيب والتوصيف الظاهري والوظيفي لمجموعات الخلايا التائية لطحال الخفاش Rousettus aegyptiacus الذي ينتمي لفصيلة Pteropodidae ودراسة التغيرات في هذه المجموعات استجابةً للقاح داء الكلّب الخامل، مما سيشكل إضافة مهمة حول هذا الجواب المناعي، وتحديد قدرة الخفاش المناعية بما يحقق إمكانية الاستفادة من هذه المعلومات وتطبيقاتها على المستويات البيئية والطبية والوقائية.

#### مواد وطرائق البحث:

تم تقسيم حيوانات التجربة إلى مجموعتين وفق ما يلي:

1- المجموعة الأولى (الشاهد): تشريح العينات مباشرة وإجراء المقاطع المجهرية والتلوين بـ CD2، CD20 و CD4، CD3

 $\frac{2}{100}$  المجموعة الثانية: حقن العينات (في البريتوان) بـ 100 من لقاح الكلب الخامل في اليوم الأساسي (اليوم صفر) وبحقنتين داعمتين في الأيام 3 و 7 وتشريح العينات في اليوم العاشر وإجراء المقاطع المجهرية والتلوين بـ CD3، CD4 و CD20.

كما تم إحداث مجموعة شاهد سلبية بحفظ النسيج بالفورمول 30% لتعطيل مستقبلات الأجسام المضادة لهذه الواسمات.



الشكل (1): حقن الخفافيش بلقاح داء الكلب الخامل

#### حيوانات التجربة:

تم اصطياد الخفافيش باستخدام الشِباك، مغارة الدوار –قرية كفر صنيف – صافيتا – محافظة طرطوس، ووضعت في أقفاص بأبعاد 100x75 cm وتم تحديد المتطلبات الغذائية للنوع قبل البدء بالتجربة.

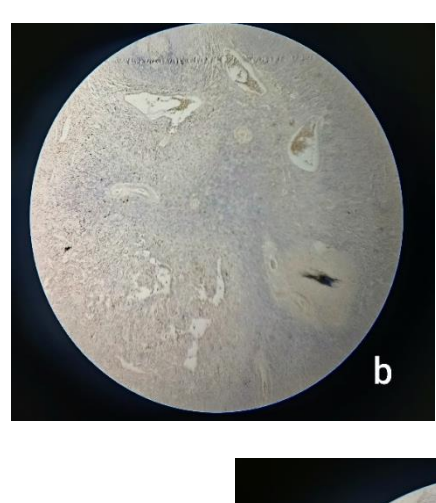
#### مواد البحث:

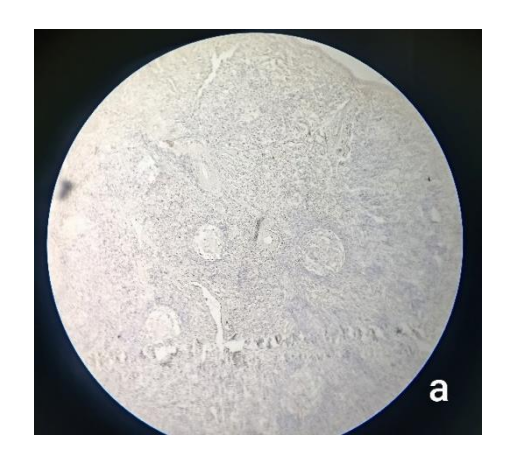
تم تخدير الحيوانات باستخدام الكلوروفورم Chloroform، والتشريح وعزل الطحال وحفظه في محلول الفورمول 5% Formalin لمدة 24 ساعة على الأقل قبل الدراسة

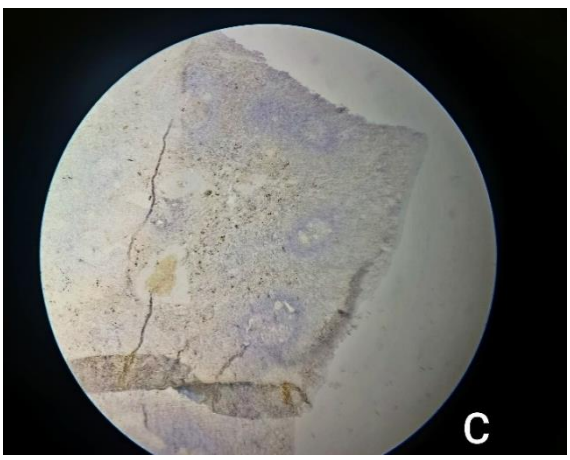
النسيجية. اعتُمدت طريقة أبو عاقلة [30] في معالجة العينات، ثم تحضير النسج ومعاملتها بالكواشف المناعية حسب تعليمات الشركة المصنعة ودراستها بواسطة المجهر الضوئي Nikon Eclipse Ni.

# 3. النتائج والمناقشة:

تتعرف الأضداد النوعية لـ CD3 على الخلايا التائية من خلال مستقبلاتها في أغشية الخلايا والتفاعلات السيتوبلازمية، بذلك أظهر التلوين المناعي الكيميائي لخلايا CD3+ في الطحال إيجابية قوية في مناطق الخلايا التائية (الأغماد اللمفاوية حول الشريان)، وبالمقارنة مع مجموعة السابي ومجموعة اليوم العاشر بعد الحقن بلقاح داء الكلّب الخامل تبين تضاعف الإيجابية للتلوين في مجموعة اليوم العاشر الشكل (2) يتوافق التوصيف الظاهري لمجموعات الخلايا التائية مع دراسة Youssef & Salah عام 2019 [29] ومع دراسة لمجموعات الخلايا التائية مع دراسة تأكدت زيادة في حجم المنطقة T بشكل كبير بحلول اليوم التاسع وهذا يؤكد تفعيل تنشيط الخلايا التائية CD3+ ودورها في تفعيل الاستجابة المناعية، وبالمقارنة مع نتائج حصل عام 2016 [22] فيمكن الاعتقاد أن غالبية هذه الخلايا هي CD8+ ولتأكيد ذلك نحتاج إلى إجراء التلوين المناعي بـ CD8 وجود أضداد خاصة بـ CD8 حال دون إمكانية المؤية لكليهما من ضمن المساحة الاجمالية ولكن عدم وجود أضداد خاصة بـ CD8 حال دون إمكانية الجزم.



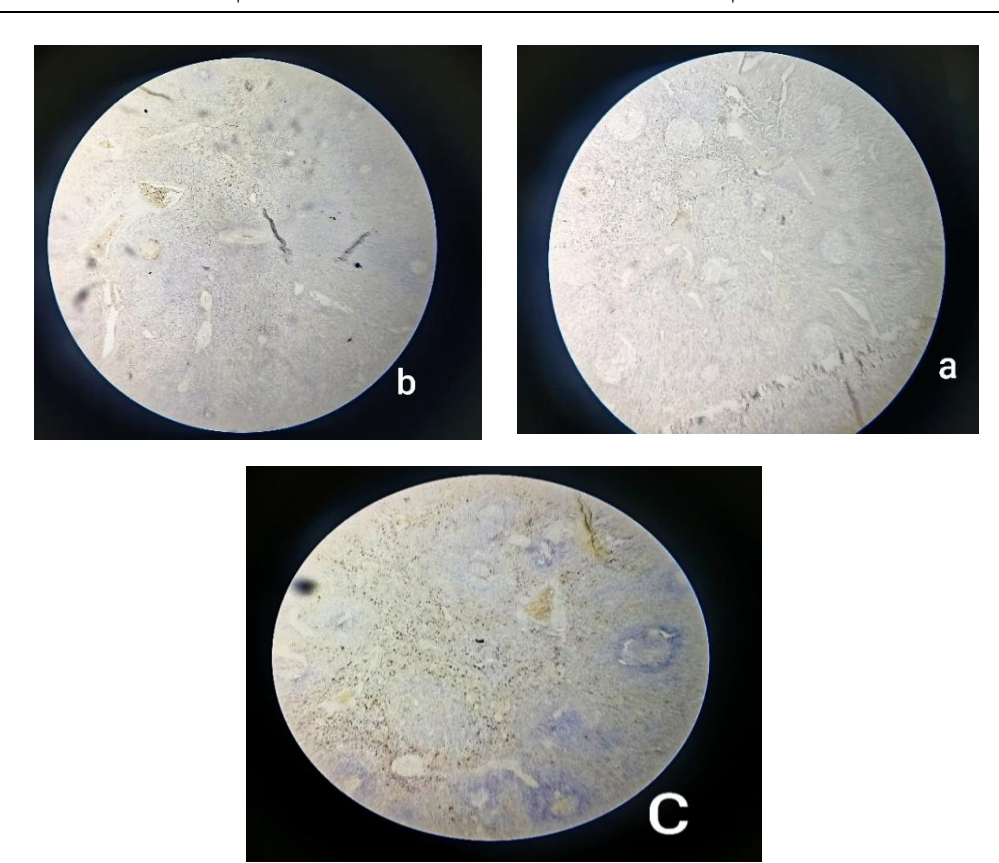




الشكل (2): مقطع عرضي في الطحال يوضح التلوين الكيميائي المناعي بـ CD3 (A: سلبي مستحدث، B: قبل الحقن، C: بعد الحقن) X100 (

# التوصيف الظاهري والوظيفي لمجموعات الخلايا اللمفاوية الرئيسة في طحال الخفاش آكل الفاكهة Rousettus aegyptiacus

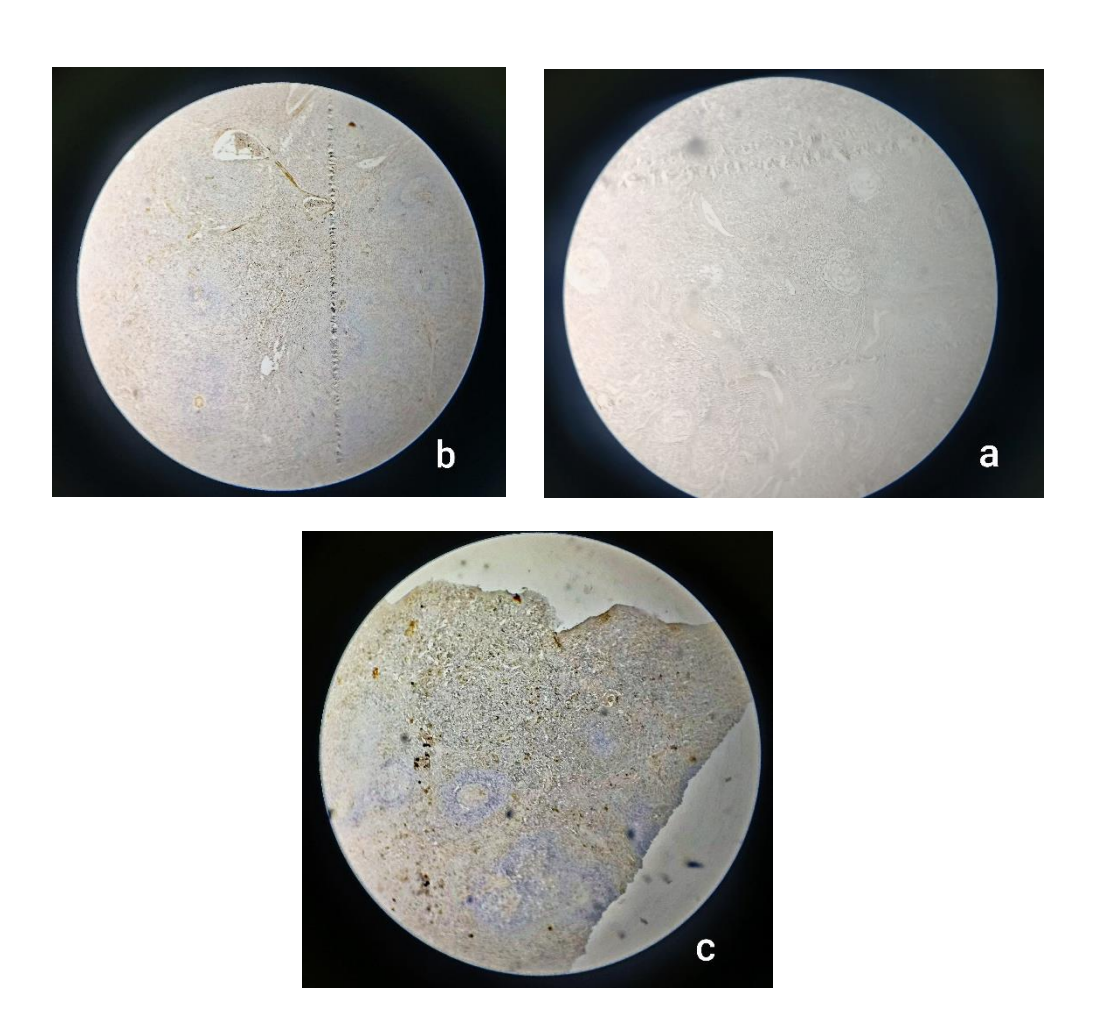
تُظهر نتائجنا تواجد مجموعة الخلايا التائية +CD4 بشكل انتقائي في منطقة الخلايا التائية في الطحال. وبعد الحقن بلقاح داء الكلب الخامل تراكمت الخلايا التائية ولي المراكز المنتشة (GCs) والأضداد الخلايا التائية وفي الجريبات مما يؤكد دورها في تحفيز تكوين المراكز المنتشة (GCs) والأضداد الذاتية والتي توافقت مع دراسة (Miyakeh (1964) التي بحثت في العدوى بفيروس التهاب الدماغ الياباني عند الفئران [31] كما أبدت دراسة Howard عام 1969 نتائج مماثلة عند الفئران الملقحة بفيروس التهاب الدماغ الخيلي الفينزويلي المضعف (VEE) ، كما لاحظنا وجود تلون ببغيروس التهاب الدماغ الخيلي الفينزويلي المضعف (CD4) و كما الاستجابة المناعية المكتسبة وهو ما تم تأكيده أيضاً في دراسات Chaturvedi وآخرين عام 1983على فيروس (Chaturvedi).



الشكل (3): مقطع عرضي في الطحال يوضح التلوين الكيميائي المناعي بـ A) CD4: سلبي مستحدث، B: قبل الحقن، C: بعد الحقن) X100

# التوصيف الظاهري والوظيفي لمجموعات الخلايا اللمفاوية الرئيسة في طحال الخفاش آكل الفاكهة Rousettus aegyptiacus

وجدنا باستخدام الأجسام المضادة لـ CD20 في الطحال تعبيراً واضحاً لمجموعات الخلايا CD20 في الجريبات والمراكز المنتشة وفي المنطقة الهامشية، وخلال اليوم العاشر بعد الحقن بلقاح داء الكلّب الخامل تبين حدوث زيادة في كثافة التعبير عن CD20 في هذه الأماكن مما يدل ويؤكد على نمو وتكاثر ونضج هذه الخلايا البائية ودورها الفعال في الجواب المناعي في الطحال.



الشكل (3): مقطع عرضي في الطحال يوضح التلوين الكيميائي المناعي بـ CD20 (A: سلبي مستحدث، B: قبل الحقن، C: بعد الحقن) X100

#### 4. الاستنتاجات والتوصيات:

#### نستنتج من معطيات البحث ما يلي:

أظهرت الدراسة الكيميائية المناعية في الطحال تلوينا إيجابيًا قوياً لـ CD3 في مناطق الخلايا التائية (الأغماد اللمفاوية حول الشريان)، وتواجد مجموعة الخلايا التائية للمفاوية حول الشريان)، وتواجد مجموعة الخلايا التائية في الطحال وفي المنطقة الهامشية في الطحال كما وجدنا تعبيراً واضحاً لمجموعات الخلايا CD20 في الجريبات والمراكز المنتشة وفي المنطقة الهامشية، وتبين خلال اليوم العاشر بعد الحقن بلقاح داء الكلّب الخامل حدوث تضاعف للتلوين بـ CD3 وتراكم للخلايا التائية للعاشر بعد الحقن بلقاح داء الكلّب الخامل حدوث تضاعف للتلوين وزيادة في كثافة التعبير عن CD20 في الجريبات والمراكز المنتشة.

#### التوصيات:

نوصى بتوسيع الدراسات الكيميائية المناعية لدى الخفافيش باستخدام أضداد موجهة خاصة لمجموعات الخلايا التائية الفرعية وذلك خلال جميع مراحل التجارب بعد الحقن بالحمّات لتأكيد دور كل من هذه المجموعات الفرعية في المراحل المختلفة.

#### المراجع:

- [1]. إبر اهيم، نهلة؛ شلفة، مها، 2008- التنوع الحيوي لخفاشيات الساحل السوري وحمايتها، مجلة الساتل العلمية المحكمة، جامعة السابع من أكتوبر، ليبيا، 2 (5): 23-34.
- [2]. CALISHER CH, CHILDS JE, FIELD HE, HOLMES KV, and SCHOUNTZ T. 2006-*Bats: important reservoir hosts of emerging viruses*. Clinical microbiology reviews. Jul; 19(3):531-45. /https://pmc.ncbi.nlm.nih.gov/articles/PMC1539106
- [3]. MIDDLETON, N & NICOLAOU, H. (2006). *An Introduction to the bats of Cyprus*. Echoes Ecology Ltd. Scotland. <a href="https://batability.co.uk/wp-content/uploads/2017/02/An-Introduction-To-The-Bats-of-Cyprus-Dec06.pdf">https://batability.co.uk/wp-content/uploads/2017/02/An-Introduction-To-The-Bats-of-Cyprus-Dec06.pdf</a>
- [4]. WILSON, D.E. (2020) Bat. *Encyclopedia Britannica*. Retrieved from: https://www.britannica.com/animal/bat-mammal.
- [5]. KUZMIN, I. V., & TORDO, N. (2012) Genus Lyssavirus. Rhabdoviruses: molecular taxonomy, evolution, genomics, ecology, host-vector interactions, cytopathology and control, 37-58.

  https://www.caister.com/rhabdoviruses
- [6]. WILDY P (1971) Classification and nomenclature of viruses. First report of the International Committee on Nomenclature of Viruses. Monographs in Virology 5: 51 7. https://ictv.global/ictv/proposals/ICTV%201st%20Report.pdf
- [7]. DIETZGEN RG. (2012) Morphology, Genome Organization, Transcription and Replication of Rhabdoviruses In Rhabdoviruses: Molecular Taxonomy, Evolution, Genomics, Ecology, HostVector Interactions, Cytopathology and Control, ed. pp. 5–12. Norfolk, UK: Caister Academic

- Presshttps://onesearch.nihlibrary.ors.nih.gov/discovery/fulldisplay?vid=01
  NIH\_INST:NIH&docid=alma991000589549704686&context=L
- [8]. TURMELLE, A. S., JACKSON, F. R., GREEN, D., MCCRACKEN, G. F., & RUPPRECHT, C. E. (2010)- Host immunity to repeated rabies virus infection in big brown bats. Journal of General Virology, 91(9), 2360-2366. https://pmc.ncbi.nlm.nih.gov/articles/PMC3052523/
- [9]. HEMACHUDHA, T; LAOTHAMATAS, J; RUPPRECHT, C. E. (2002) Human rabies: a disease of complex neuropathogenetic mechanisms and diagnostic challenges, Lancet Neurology, 1(2), 101–109. https://pubmed.ncbi.nlm.nih.gov/12849514/
- [10]. DUTTA, J. K., DUTTA, T. K., & DAS, A. K. (1992) *Human rabies: modes of transmission*. The Journal of the Association of Physicians of India, 40(5), 322-324. https://pubmed.ncbi.nlm.nih.gov/1483992/
- [11]. PARKIN, J., & COHEN, B. (2001)- AN OVERVIEW OF THE IMMUNE SYSTEM. The Lancet, 357(9270), 1777-1789. https://pubmed.ncbi.nlm.nih.gov/11403834/
- [12]. BOUSSO, P. (2008) *T-cell activation by dendritic cells in the lymph node: lessons from the movies*. Nature Reviews Immunology, 8(9), 675-684. <a href="https://www.nature.com/articles/nri2379">https://www.nature.com/articles/nri2379</a>
- [13]. BROERE, F., & VAN EDEN, W. (2019)- *T cell subsets and T cell-mediated immunity*. *In Nijkamp and Parnham's principles of immunopharmacology* (pp. 23-35). Cham: Springer International Publishing. <a href="https://www.nature.com/articles/s41392-023-01471-y">https://www.nature.com/articles/s41392-023-01471-y</a>
- [14]. ZHU, J., & PAUL, W. E. (2008)- *CD4 T cells: fates, functions, and faults.* Blood, *112*(5), 1557-1569. /https://pubmed.ncbi.nlm.nih.gov/18725574

- [15]. SWAIN, S. L., BRADLEY, L. M., CROFT, M., TONKONOGY, S., ATKINS, G., WEINBERG, A. D., ... & HUSTON, G. (1991)- Helper T-cell subsets: phenotype, function and the role of lymphokines in regulating their development. Immunological reviews, 123, 115-144. /https://pubmed.ncbi.nlm.nih.gov/1684776
- [16]. ZHANG, N., & BEVAN, M. J. (2011)- *CD8+ T cells: foot soldiers of the immune system*. Immunity, *35*(2), 161-168. /https://pubmed.ncbi.nlm.nih.gov/21867926
- [17]. VAN LIER, R. A., TEN BERGE, I. J., & GAMADIA, L. E. (2003)-Human CD8+ T-cell differentiation in response to viruses. Nature Reviews Immunology, 3(12), 931-939. /https://pmc.ncbi.nlm.nih.gov/articles/PMC415833
- [18]. TAYLOR, C. R. (2014) *Immunohistochemistry in surgical* . *pathology: principles and practice*. Histopathology: Methods and /Protocols, 81-109. <a href="https://pubmed.ncbi.nlm.nih.gov/25015143">https://pubmed.ncbi.nlm.nih.gov/25015143</a>
- [19]. COONS, A. H., CREECH, H. J., & JONES, R. N. (1941)Immunological properties of an antibody containing a fluorescent
  group. Proceedings of the society for experimental biology and
  medicine, 47(2), 200-202. <a href="https://scispace.com/papers/immunological-properties-of-an-antibody-containing-a-3zvug7w2iy">https://scispace.com/papers/immunological-properties-of-an-antibody-containing-a-3zvug7w2iy</a>
- [20]. ZHAO, L., LIU, L., GUO, B., & ZHU, B. (2015) Regulation of adaptive immune responses by guiding cell movements in the spleen. Frontiers in microbiology, 6, 645. <a href="https://www.frontiersin.org/journals/microbiology/articles/10.3389/fmicb.">https://www.frontiersin.org/journals/microbiology/articles/10.3389/fmicb.</a>
- [21]. DEN HAAN, J. M. M., & KRAAL, G. (2012)- *Innate immune functions of macrophage Subpopulations in the spleen*. Journal of Innate Immunity 4(5–6), 437–445. <a href="https://pubmed.ncbi.nlm.nih.gov/22327291/">https://pubmed.ncbi.nlm.nih.gov/22327291/</a>

- [22]. MARTÍNEZ GÓMEZ, J. M., PERIASAMY, P., DUTERTRE, C. A., IRVING, A. T., Ng, J. H. J., CRAMERI, G., ... & ALONSO, S. (2016)Phenotypic and functional characterization of the major lymphocyte
  populations in the fruit-eating bat Pteropus alecto. Scientific reports, 6(1),
  37796. https://pubmed.ncbi.nlm.nih.gov/27883085/
- [23]. BORCH, W. R., AGUILERA, N. S., BRISSETTE, M. D., O'MALLEY, D. P., & AUERBACH, A. (2019)- *Practical applications in immunohistochemistry: an immunophenotypic approach to the spleen*. Archives of pathology & laboratory medicine, 143(9), 1093-1105. https://pubmed.ncbi.nlm.nih.gov/30917045/
- [24]. PAPENFUSS, A. T., BAKER, M. L., FENG, Z. P., TACHEDJIAN, M., CRAMERI, G., COWLED, C., ... & WANG, L. F. (2012)- *The immune gene repertoire of an important viral reservoir, the Australian black flying fox.* BMC genomics, 13, 1-17. <a href="https://bmcgenomics.biomedcentral.com/articles/10.1186/1471-2164-13-261">https://bmcgenomics.biomedcentral.com/articles/10.1186/1471-2164-13-261</a>
- [25]. SHAW, T. I., SRIVASTAVA, A., CHOU, W. C., Liu, L., HAWKINSON, A., GLENN, T. C., ... & SCHOUNTZ, T. (2012)-*Transcriptome sequencing and annotation for the Jamaican fruit bat*(Artibeus jamaicensis). PloS one, 7(11), e48472.

  <a href="https://journals.plos.org/plosone/article?id=10.1371/journal.pone.0048472">https://journals.plos.org/plosone/article?id=10.1371/journal.pone.0048472</a>
- [26]. LEE, A. K., KULCSAR, K. A., ELLIOTT, O., KHIABANIAN, H., NAGLE, E. R., JONES, M. E., ... & RABADAN, R. (2015)- *De novo transcriptome reconstruction and annotation of the Egyptian rousette bat.* BMC genomics, 16, 1-11.

https://bmcgenomics.biomedcentral.com/articles/10.1186/s12864-015-2124-x

# التوصيف الظاهري والوظيفي لمجموعات الخلايا اللمفاوية الرئيسة في طحال الخفاش آكل الفاكهة Rousettus aegyptiacus

[27]. OMATSU, T., NISHIMURA, Y., BAK, E. J., ISHII, Y., TOHYA, Y., KYUWA, S., ... & YOSHIKAWA, Y. (2006)- *Molecular cloning and sequencing of the cDNA encoding the bat CD4*. Veterinary immunology and immunopathology, 111(3-4), 309-313. https://www.sciencedirect.com/science/article/abs/pii/S016524270600002X

[28]. MATHUR, A., BHARADWAJ, M., KULSHRESHTHA, R., RAWAT, S., JAIN, A., & CHATURVEDI, U. C. (1988)- *Immunopathological study of spleen during Japanese encephalitis virus infection in mice*. British journal of experimental pathology, 69(3), 423. <a href="https://pmc.ncbi.nlm.nih.gov/articles/PMC2013103/">https://pmc.ncbi.nlm.nih.gov/articles/PMC2013103/</a>

[29]. YOUSSEF, S., & SALAH, M. (2019)- Differential expression of CD3, TNF-a, and VEGF induced by olanzapine on the spleen of adult male albino rats and the possible protective role of vitamin C. Biomedicines, 7(2), 39. <a href="https://pubmed.ncbi.nlm.nih.gov/31126077/">https://pubmed.ncbi.nlm.nih.gov/31126077/</a>

[30]. أبو عاقلة، أحمد. عبد العزيز، 1999 <u>التحضير النسيجي المجهري: الاسس النظرية</u> <u>والعلمية في التحضير المجهري للعينات النسيجية والخلوية</u>، الطبعة(1)، دار المستقبل، عمان، الأردن.

- [31]. MIYAKE, M. (1964)- *The pathology of Japanese encephalitis: A review*. Bulletin of the World Health Organization, 30(2), 153. <a href="https://pmc.ncbi.nlm.nih.gov/articles/PMC2554796/">https://pmc.ncbi.nlm.nih.gov/articles/PMC2554796/</a>
- [32]. HOWARD, R. J., CRAIG, C. P., TREVINO, G. S., DOUGHERTY, S. F., & MERGENHAGEN, S. E. (1969)—Enhanced humoral immunity in mice infected with attenuated Venezuelan equine encephalitis virus. The Journal of Immunology, 103(4),699-707. <a href="https://pubmed.ncbi.nlm.nih.gov/4186914/">https://pubmed.ncbi.nlm.nih.gov/4186914/</a>
- [33]. CHATURVEDI, U. C., NAGAR, R., & MATHUR, A. (1983)- Effect of dengue virus infection on Fc-receptor functions of mouse

*macrophages*. Journal of general virology, 64(11), 2399-2407. <a href="https://pubmed.ncbi.nlm.nih.gov/6644274/">https://pubmed.ncbi.nlm.nih.gov/6644274/</a>.